

**DISEÑO DE UN ALGORITMO DE TRAZADO DE RUTAS PARA EL  
DESPLAZAMIENTO DE UN ROBOT EN EL PLANO**

**IGNACIO ARMANDO GUTIÉRREZ GÓMEZ**



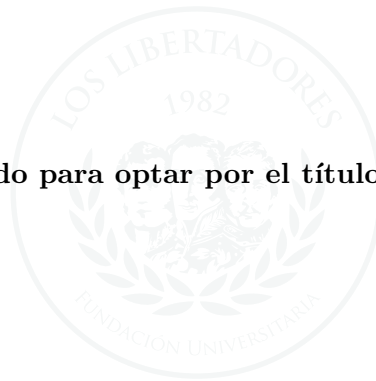
**LOS LIBERTADORES**  
FUNDACIÓN UNIVERSITARIA

**FUNDACIÓN UNIVERSITARIA LOS LIBERTADORES  
FACULTAD DE INGENIERÍA  
INGENIERÍA ELECTRÓNICA  
BOGOTÁ DC  
2017**

**DISEÑO DE UN ALGORITMO DE TRAZADO DE RUTAS PARA EL  
DESPLAZAMIENTO DE UN ROBOT EN EL PLANO**

**IGNACIO ARMANDO GUTIÉRREZ GÓMEZ**

**Trabajo de grado para optar por el título de Ingeniero Electrónico**



**LOS LIBERTADORES**

**Director**

**Brayan Jair Sáenz Cabezas**

**Ingeniero Electrónico**

**FUNDACIÓN UNIVERSITARIA LOS LIBERTADORES**

**FACULTAD DE INGENIERÍA**

**INGENIERÍA ELECTRÓNICA**

**BOGOTÁ DC**

**2017**

Nota de aceptación

---

---

---

---



---

Firma  
Nombre:  
Presidente del jurado

LOS LIBERTADORES  
FUNDACIÓN UNIVERSITARIA

---

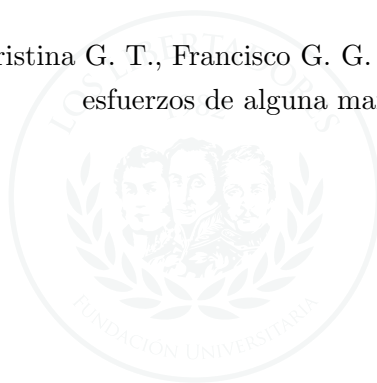
Firma  
Nombre:  
Jurado

---

Firma  
Nombre:  
Jurado

Bogotá DC, 8 de junio de 2017

A Esperanza G. T., Cristina G. T., Francisco G. G. y demás familiares que aportaron esfuerzos de alguna manera.



LOS LIBERTADORES  
FUNDACIÓN UNIVERSITARIA

## AGRADECIMIENTOS

Infinitas gracias a Óscar Penagos, Brayan Sáenz, Iván Darío Ladino y demás personas de la institución que soportaron y aportaron al desarrollo de este trabajo.



LOS LIBERTADORES  
FUNDACIÓN UNIVERSITARIA

# ÍNDICE

	Pág.
RESUMEN . . . . .	12
INTRODUCCIÓN . . . . .	13
OBJETIVOS . . . . .	15
1. MARCO REFERENCIAL . . . . .	16
1.1. Estado actual . . . . .	16
1.2. Teselaciones, polígonos y diagramas . . . . .	16
1.2.1. Construyendo el diagrama el Voronoi . . . . .	17
1.3. Algoritmo de Dijkstra . . . . .	20
1.4. Algoritmo $A^*$ . . . . .	22
1.4.0.1. La heurística $A^*$ . . . . .	24
2. MARCO METODOLÓGICO . . . . .	28
2.1. Descripción del procedimiento . . . . .	28
2.1.1. Requerimientos . . . . .	28
2.1.2. Descripción de la forma del entorno . . . . .	28
2.1.2.1. Heurística aplicada . . . . .	29
2.1.3. Diagrama de bloques de simulación de algoritmo de búsqueda . . . . .	31

2.1.4.	Diagrama de flujo de algoritmo de búsqueda . . . . .	32
2.1.5.	Diagrama de flujo de algoritmo de búsqueda . . . . .	33
3.	SIMULACIÓN DEL ALGORITMO . . . . .	34
3.0.1.	Simulación . . . . .	34
3.0.1.1.	Sección 1. Creación del entorno fondo negro con obstáculos en blanco: . . . . .	35
3.0.1.2.	Sección 2. Ubicación(coordenadas) de puntos de partida y llegada: . . . . .	36
3.0.1.3.	Sección 3. Puntos de partida y llegada se ubican en el entorno original: . . . . .	37
3.0.1.4.	Sección 4. y 5. ¿ Puntos de partida y llegada son diferentes? y Actualizar ubicación: . . . . .	38
3.0.1.5.	Sección 6. y 7. ¿ Puntos de partida y llegada están dentro de obstáculos? y Actualizar ubicación: . . . . .	40
3.0.1.6.	Sección 8. Generación de trayectoria de línea recta entre puntos de partida y llegada, se almacenan vectores: . . . . .	42
3.0.1.7.	Sección 9. Ubicación de centroides de teselación adyacentes(laterales) por columnas y filas a la recta con heurística de 200 pixeles (inicialmente) en distancia, se almacenan vectores: . . . . .	45
3.0.1.8.	Sección 10. Selección de centroides de ubicación distinta entre adyacentes(laterales) de filas y de columnas a la recta, se almacenan vectores: . . . . .	47
3.0.1.9.	Sección 11. Despliegue de todas trayectorias posibles entre centroides seleccionados sin atravesar por obstáculos que sean inferiores a distancia promedio inicialmente, se almacenan vectores: . . . . .	49
3.0.1.10.	Sección 12. Selección de rutas eficaces o validas, a partir de las distancias parciales mas cortas hasta alcanzar el punto de llegada, se almacenan vectores: . . . . .	52
3.0.1.11.	Sección 13. y 14. ¿ Es una ruta eficaz, eficiente y evasiva de obstáculos? o Actualizar ruta: . . . . .	55
3.0.1.12.	Sección 15. Visualización y almacenamiento de ruta eficaz, eficiente y evasiva de obstáculos: . . . . .	57

4.	ANÁLISIS DE RESULTADOS . . . . .	59
4.1.	Cantidad de obstáculos . . . . .	59
4.2.	Distancia de recorrido . . . . .	60
4.3.	Utilización de un solo obstáculo en todo el entorno en varios tamaños . . . . .	60
4.4.	Tiempos de ejecución . . . . .	60
4.5.	Tiempos de ejecución parcial . . . . .	61
4.6.	Comparación de aspectos con otro algoritmo de búsqueda de ruta . . . . .	61
4.7.	Cantidad de distancia en pixeles de puntos adyacentes a la recta (Heurística) . . . . .	61
4.8.	Incremento de promedio de distancia como filtro y reductor de tiempos de ejecución . . . . .	62
4.9.	Eficiencia en la elección de ruta por distancia . . . . .	62
4.10.	Tabla de distancia óptima de ejemplo de ruta . . . . .	63
5.	CONCLUSIONES Y TRABAJO FUTURO . . . . .	68
6.	REFERENCIAS y BIBLIOGRAFÍA . . . . .	70
7.	ANEXOS . . . . .	73
7.1.	Código de algoritmo de búsqueda propuesto compilado en Matlab 2013b . . . . .	73
7.1.1.	Director_búsqueda_IG_3 . . . . .	73
7.1.2.	Tesela_romb_IG_definitivo_3 . . . . .	79
7.1.3.	Busqueda_IG_definitiva_3 . . . . .	97

## ÍNDICE DE FIGURAS

	Pág.
1. Figura 1.1: Diagrama de Voronoi[3] . . . . .	17
2. Figura 1.2: ejemplo de un entorno teselado con los vertices de origen en color rojo y sus limites.fuente autor . . . . .	19
3. Figura 2.1: pseudocódigo del algoritmo de Dijkstra. $V(G) = Q = \text{conjuntodenodos}$ , $\epsilon(G) = \text{alosbordesdelosfrentesdeonda}$ y $C_G = \text{funcioncostoomenordistancia}$ tomado de [2] . . . . .	21
4. Figura 2.2: Ilustración del proceso del algoritmo de Dijkstra. Nodo de inicio en rojo.tomado de [2] . . . . .	22
5. Figura 3.1: Representación en pseudocódigo del algoritmo de $A^*$ . Tomado de[2] . . . . .	26
6. Figura 3.2: Ilustración del proceso del algoritmo $A^*$ . El conjunto abierto esta marcado por los círculos azules vacíos. Tomado de [2] . . . . .	27
7. Figura 4.1: Demostracion de Heuristica en el algoritmo, puntos rojos:distancia menores que heurítica. puntos morados:distancias mayores que heurítica. Fuente autor . . . . .	30
8. Figura 5.1: Entorno discreto aleatorio en tamaño, formas y ubicacion, creado por la Sección 1. . . . .	36
9. Figura 5.2: Entorno con puntos de partida y llegada. Sección 2 y 3. . . . .	38
10. Figura 5.3: Entorno con puntos de partida y llegada en la misma coordenada(cuadro de color cian y amarillo en el mismo punto). Sección 4. y 5. . . . .	40
11. Figura 5.4: Entorno con puntos de partida o llegada dentro de obstaculo. Sección 6. y 7. . . . .	42

12.	Figura 5.5: Entorno con puntos de partida y llegada y la trayectoria recta. Sección 8.	43
13.	Figura 5.6: Ubicación de centroides de teselación adyacentes(laterales) por columnas y filas a la recta con heurística de 200 pixeles máximo en distancia, se almacenan vectores. Sección 9. . . . .	47
14.	Figura 5.7: Selección de centroides de ubicación distinta entre adyacentes(laterales) de filas y de columnas a la recta, se almacenan vectores. Sección 10. . . . .	49
15.	Figura 5.8: Despliegue de todas trayectorias posibles entre centroides seleccionados sin atravesar por obstáculos que sean inferiores a distancia promedio inicialmente, se almacenan vectores. ej: heurística=300, 1*promedio. Sección 11. . . . .	52
16.	Figura 5.9: Selección de rutas eficaces o validas, a partir de las distancias parciales mas cortas hasta alcanzar el punto de llegada, se almacenan vectores. ej:heurística=300pixeles, 1*promedio. Sección 12. . . . .	55
17.	Figura 5.10: Visualización y almacenamiento de ruta eficaz, eficiente y evasiva de obstáculos. ej: heurística=300pixeles, 1*promedio. Sección 15. . . . .	58
18.	Figura 6.1: Gráfica que representa los puntos seleccionados para la ruta por distancia	66
19.	Figura 6.2: Gráfica que representa la elección de ruta por distancia . . . . .	67

## ÍNDICE DE TABLAS

	Pág.
1. Tabla de eficiencia de ejemplo de ruta . . . . .	64
2. Tabla de eficiencia de ejemplo de ruta . . . . .	65



LOS LIBERTADORES  
FUNDACIÓN UNIVERSITARIA

## RESUMEN

En el presente documento se describe un método de búsqueda de ruta eficiente y evasiva de obstáculos, para el desplazamiento de un robot. Mediante la transformación de un entorno a su forma discreta; con lo cual se identificarán los objetos catalogados como obstáculos, y a partir de ello, se determinan espacios de tránsito por medio de descomposición del espacio vía *expansión en teselaciones con rombos*, hasta obtener puntos coordinados, que servirán como guía al robot para desplazarse. Dependiendo de un trazo de ruta entre un punto de partida y uno de llegada, se desplegara la búsqueda de ruta mas conveniente en distancia.

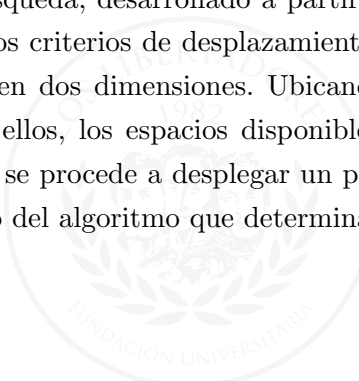
La respuesta inicial del algoritmo es presentar una ruta sub-optima (la distancias mas cortas entre punto de partida y de llegada) con el valor seleccionado de heurística inicialmente. En casos que el trayecto o recorrido sea muy intrincado, el algoritmo aumentara el valor de heurística y de promedio de distancia de trayectos, para lograr trazar la ruta sin cruzar por obstáculos.

El algoritmo se desempeña correctamente en entornos con un obstáculo de gran tamaño, así como de todos los trayectos dentro del espacio de configuración (áreas fuera de obstáculos).

## INTRODUCCIÓN

Los algoritmos enfocados al desplazamiento en un plano, son desarrollados con el objetivo de obtener la mejor ruta y la mas confiable. Esto lo vemos por ejemplo en el desplazamiento de vehículos, robots encargados en la búsqueda, o incluso y sin ir muy lejos, en las nuevas implementaciones de vehículos con autonomía de conducción.

Con este algoritmo de búsqueda, desarrollado a partir del procesamiento de un entorno discreto, se logra satisfacer los criterios de desplazamiento eficaz, eficiente y sin colisiones para un robot, en un entorno en dos dimensiones. Ubicando aquellos objetos catalogados como obstáculos, y a partir de ellos, los espacios disponibles y fiables para el tránsito. Una vez localizados estos espacios, se procede a desplegar un punto de partida y uno de llegada para verificar el funcionamiento del algoritmo que determina el plan de ruta conveniente.



LOS LIBERTADORES  
FUNDACIÓN UNIVERSITARIA

## JUSTIFICACIÓN

La idoneidad de los trayectos permitirán asegurar la llegada al punto objetivo, sin importar si se encuentran uno o varios obstáculos, claro esta, siempre que halla un espacio suficiente para el desplazamiento del robot. Las trayectorias de desplazamiento se desplegaran en linea recta en la mayoría del recorrido, evitando ondular la ruta en todo el recorrido. Estas características pueden ser de utilidad en sistemas de desplazamiento de vehículos autónomos, en el sector agro-industrial, por ejemplo en la recolección de productos del cultivo, en la repartición de abono y suplementos a las siembras de gran extensión Ya que son entornos temporalmente estáticos y en los cuales se puede delimitar los espacios para desplazamiento, determinando el color resaltante de la siembra como obstáculos. Otra ventaja de aplicarlo en este escenario es que no se corren riegos de colisión con otros vehículos en movimiento con personas en una ciudad.



LOS LIBERTADORES  
FUNDACIÓN UNIVERSITARIA

## **OBJETIVOS**

### **OBJETIVO GENERAL**

Desarrollar un algoritmo que determine un plan de ruta eficaz, de menor distancia y sin riesgo de colisión para el desplazamiento de un robot.

### **OBJETIVOS ESPECÍFICOS**

- ▷ Representar de manera adecuada el espacio de configuración(área fuera de obstáculos).
- ▷ Limitar el espacio de búsqueda con propósitos de eficiencia computacional.
- ▷ Trazar la ruta mas corta dentro del espacio de búsqueda.

## 1. MARCO REFERENCIAL

### 1.1. ESTADO ACTUAL

El estado del arte del algoritmo de búsqueda que se quiere proponer, tiene como origen el planteamiento del profesor Subhrajit Bhattacharya en su tesis de grado como Doctor en (PhD) en Ingeniería Mecánica, con el título de: “*TOPOLOGICAL AND GEOMETRIC TECHNIQUES IN GRAPH SEARCH-BASED ROBOT PLANNING*”[2], presentado en la facultad de ingeniería mecánica de La Universidad de Pennsylvania en el año 2012. La tesis doctoral esta escrita en idioma inglés y se tomaran algunos textos concernientes al desarrollo de este proyecto de grado.

En virtud de la importancia del documento para este proyecto, y por respeto a la integridad de los derechos intelectuales del autor, se hará el mayor esfuerzo por hacer la interpretación adecuada de las ideas y conceptos de la tesis al idioma castellano, al igual que con otros textos en idioma ingles referenciados al final.

### 1.2. TESELACIONES, POLÍGONOS Y DIAGRAMAS

El componente teórico de teselaciones adquiere importancia como método para delimitar las rutas, ya que se expanden en los sitios del entorno donde se puede tener una posibilidad de trazado de ruta. Según su expansión, se obtendrá un punto equidistante aproximado entre los objetos considerados obstáculos, y de los obstáculos con los límites del entorno, cuando se determine su centro de masa. La técnica de las teselaciones se relaciona con los diagrama de Voronoi y su funcionalidad para el desarrollo del algoritmo. A continuación la teoría expuesta por [3] que explica su construcción

### 1.2.1. Construyendo el diagrama el Voronoi

En cuanto a la idea de partición de una superficie, existen varios criterios de percepción. En primer lugar se encuentran los polígonos Thiessen, diagramas de Voronoi entre otros, pero en realidad, quien los utilizó en un tratado sobre formas cuadráticas fue Voronoi(1908). También se les llama Regiones de Dirichlet o células de Wigner-Seitz. Dan Hoey ha sugerido que la descripción más acertada e imparcial es el término "polígonos proximales"[3].

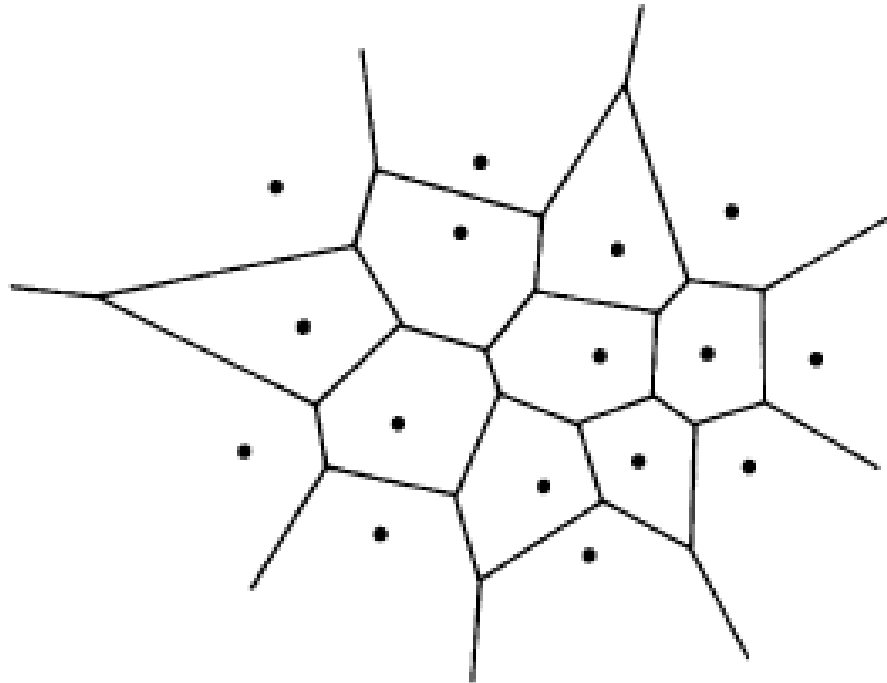


Figura 1.1: Diagrama de Voronoi[3]

La construcción de los diagramas de Voronoi es un fin en sí mismo en una serie de campos. En arqueología, los polígonos de Voronoi se utilizan para mapear la difusión del uso de herramienta, en ecología, cultura antigua (influencia de comercio ribal), estudios de recursos de consumo en una vecindad, entre otros.[3]

Para construir el diagrama de Voronoi  $Vor(S)$  de un conjunto de puntos  $S$  (de aquí en adelante referido formalmente como problema DIAGRAMA VORONOI), nos referiremos a producir una descripción del diagrama como un gráfico plano incrustado en el plano, consistente en los siguientes elementos:[3]

1. Las coordenadas de los vértices de Voronoi.
2. El conjunto de bordes (cada uno formado por un par de vértices de Voronoi), y los dos bordes que son sus sucesores en el sentido contrario a las agujas del reloj, en cada punto extremo (doblemente conectados-borde-lista). Esto implica que provee los ciclo de borde o expansión, en cada vértice, en el sentido anti horario, y el ciclo de borde o expansión, en sentido horario alrededor cada cara.[3]

Los párrafos anteriores describen la construcción convencional del *Diagrama de Voronoi*, de la misma forma que se hace, en el algoritmo Tesela\_ romb\_ IG\_ definitivo\_ 3 desarrollado en [1], el cual servirá para el algoritmo de búsqueda de ruta planteado. en la Figura 1.1 podemos ver varios elemento que constituyen el Diagrama de Voronoi:

- Los vértices de Voronoi: puntos negros.
- Los polígonos de Voronoi: formas geométricas convexas.
- Los bordes de los polígonos de Voronoi: las líneas negras.

En el algoritmo de búsqueda planteado, se consideran los vértices de Voronoi como los puntos distribuidos en el espacio de configuración, en el entorno discreto. Están distribuidos de manera equidistante entre obstáculos y entre obstáculos y límites del contorno.

Los polígonos de Voronoi se pueden comparar a las formas generadas por las expansiones de las teselaciones\*, cuyos orígenes se encuentran en los vértices planteados anteriormente. La finalidad de estas expansiones es retirar el vértice lo más posible de los límites de los obstáculos y de los límites del contorno, una vez sea calculado el centro de masa de estas teselaciones o polígonos de Voronoi. Estos centros de masa se conocerán como centroides o como puntos de referencia definitivos para el trazado de ruta en cada caso. con ello se evitan las colisiones con los obstáculos, ya que le da más tolerancia a los espacios cuando la ruta necesita rodear el obstáculo. La Figura 1.2 muestra un ejemplo de expansión de teselaciones.

Los bordes de los polígono de Voronoi son comparables a los límites creados por las teselaciones, con los cuales es posible calcular los centros de masa de las teselaciones expandidas.

---

\*teselaciones y teselado hacen referencia a una regularidad o patrón de figuras que recubren o pavimentan completamente una superficie plana que cumple con dos requisitos: Que no queden espacios. Que no se superpongan las figuras.

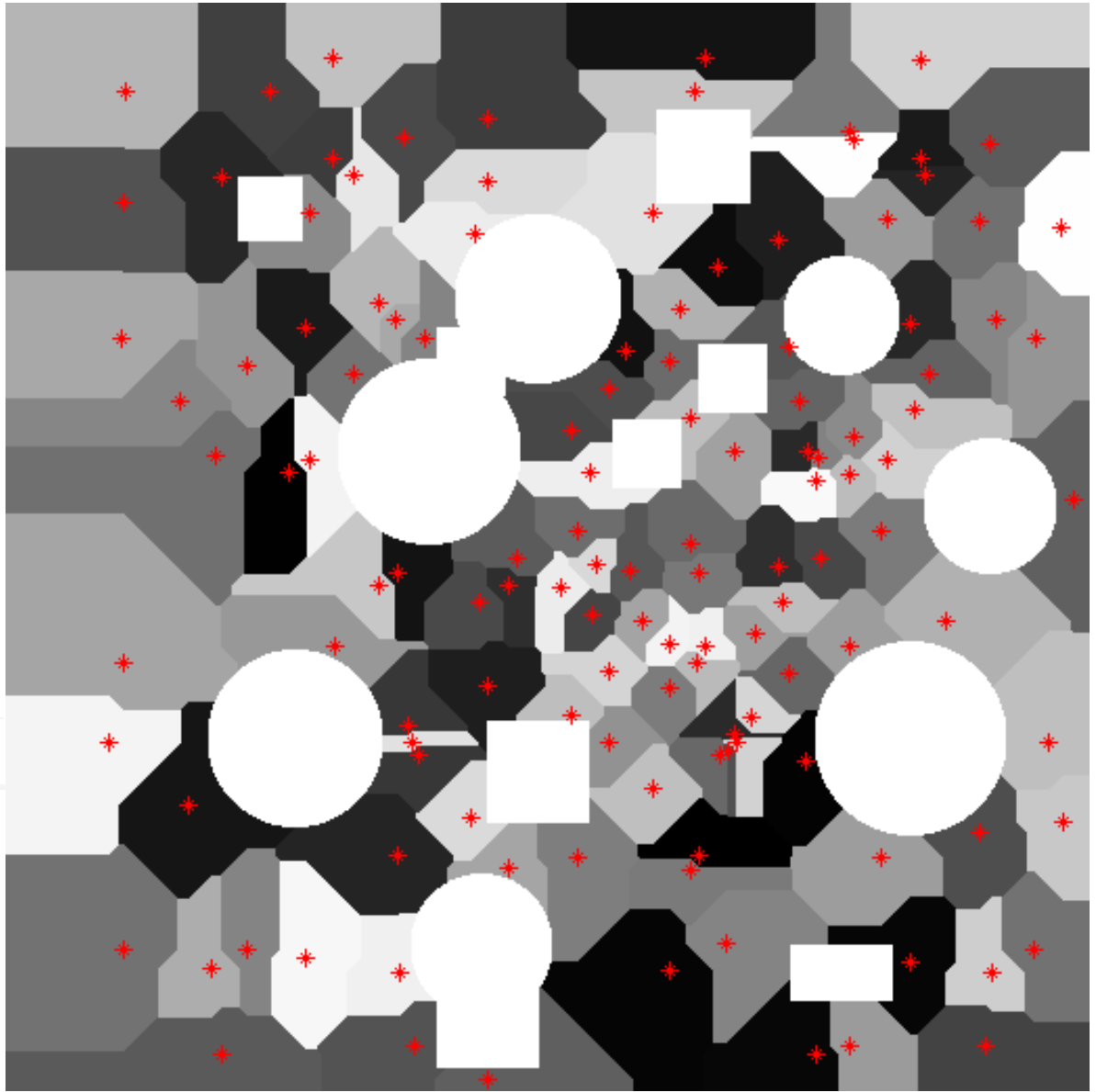


Figura 1.2: ejemplo de un entorno teselado con los vertices de origen en color rojo y sus limites.fuente autor

### 1.3. ALGORITMO DE DIJKSTRA

El algoritmo de Dijkstra [4] es uno de los algoritmos fundamentales que debe ser referenciado si se quiere desarrollar un algoritmo de búsqueda de una ruta optima o de menor distancia de recorrido. Aunque su principal aplicación se da en teoría de grafos o en teoría de construcción de arboles por distancia. Lo que podría dar a entender que funciona en entornos direccionales o limitados y enfocados en una dirección. El algoritmo funciona utilizando un conjunto de nodos (vértices) dispersos en el entorno, y a partir de un nodo de inicio  $p_i$  y un nodo de llegada o fin, busca una ruta por medio de los nodos que lo desplace hasta el objetivo. Esto lo hace determinando la distancia mas corta de desplazamiento entre los puntos vecino o cercanos al punto de inicio  $p_i$ . Una vez hallado el nodo vecino, se moviliza hasta ese nodo y elimina el nodo anterior; y nuevamente calcula las distancias con los nodos vecinos al nuevo punto de inicio, hasta lograr llegar al punto objetivo. A continuación una parte del texto de su escrito y el pseudocódigo tomado de [2]\*\* que podría representar la implementación en un algoritmo:

Consideramos puntos (nodos), algunos o todos los pares de los cuales están conectados por una rama; Se da la longitud de cada rama. Nos limitamos al caso en el que al menos un camino existe entre dos nodos cualesquiera. Ahora consideramos dos problemas. Problema 1. Construir el árbol de longitud total mínima entre los  $n$  nodos. (Un árbol es un gráfico con un solo camino entre cada dos nodos.) En el curso de la construcción que presentamos aquí, las ramas se subdividen en tres conjuntos:[4]

1. las ramas definitivamente asignadas al árbol en construcción (que Forman un sub-árbol).
2. las ramas de las que se añadirá la siguiente rama al conjunto 1, serán seleccionadas.
3. Las ramas restantes (rechazadas o no consideradas).

Los nodos se subdividen en dos conjuntos:

- A. los nodos conectados por las ramas del conjunto 1.
- B. los nodos restantes (una y sólo una rama del conjunto 2 conducirá a cada uno de estos nodos).

---

\*\*En ciencias de la computación, y análisis numérico, el pseudocódigo (o falso lenguaje) es una descripción de alto nivel compacta e informal del principio operativo de un programa informático u otro algoritmo.

Comenzamos la construcción eligiendo un nodo arbitrario como el único miembro del conjunto A, y colocando todas las ramas que terminan en este nodo en el conjunto 2. Para empezar, el conjunto 1 está vacío. A partir de entonces realizaremos los dos pasos siguientes repetidamente.

- [Paso 1.] La rama más corta del conjunto 2 se elimina de este conjunto y se añade al conjunto 1. Como resultado, se transfiere un nodo del conjunto B al conjunto 2.
- [Paso 2.] Considere las ramas que conducen desde el nodo que acaba de ser transferido al conjunto A, a los nodos que todavía están en el conjunto B. Si la rama considerada es más larga que la rama correspondiente en el conjunto 2, se rechaza; si este es más corto, sustituye el conjunto correspondiente 2, y éste es rechazado.

Luego regresamos al Paso 1 y repetimos el proceso hasta que los conjuntos 2 y B estén vacíos. Las ramas del conjunto 1 forman el árbol requerido.[4]

#### Algorithm 2.3.1

$g = \text{Dijkstras}(G, p)$	
Inputs:	a. Graph $G$ b. Start node $p \in \mathcal{V}(G)$
Outputs:	a. The shortest distance map $g : \mathcal{V}(G) \rightarrow \mathbb{R}^+$

```

1  Initiate  $g$ : Set  $g(v) := \infty$ , for all  $v \in \mathcal{V}(G)$  // Minimum distance
2  Set  $g(p) = 0$ 
3  Set  $Q := \mathcal{V}(G)$  // Set of un-expanded nodes
4  while ( $Q \neq \emptyset$ )
5       $q := \operatorname{argmin}_{q' \in Q} g(q')$  // Vertex to expand.  $Q$  is maintained by a heap data-structure.
6      if ( $g(q) == \infty$ )
7          break
8       $Q = Q - q$  // Remove  $q$  from  $Q$ 
9      for each ( $\{w \in \mathcal{N}_G(q)\}$ ) // For each neighbor of  $q$ 
10         Set  $g' := g(q) + C_G([q, w])$ 
11         if ( $g' < g(w)$ )
12             Set  $g(w) = g'$ 
13  return  $g$ 

```

where,  $\mathcal{N}_G(u) = \{w' \in \mathcal{V}(G) \mid [u, w'] \in \mathcal{E}(G)\}$ , the set of neighbors of  $u$ .

Figura 2.1: pseudocódigo del algoritmo de Dijkstra.  $V(G) = Q = \text{conjuntodenodos}$ ,  $\epsilon(G) = \text{alosbordesdelosfrentesdeonda}$  y  $C_G = \text{funcioncostoomenordistancia}$  tomado de [2]

Ahora veamos gráficamente como funciona el algoritmo de Dijkstra:

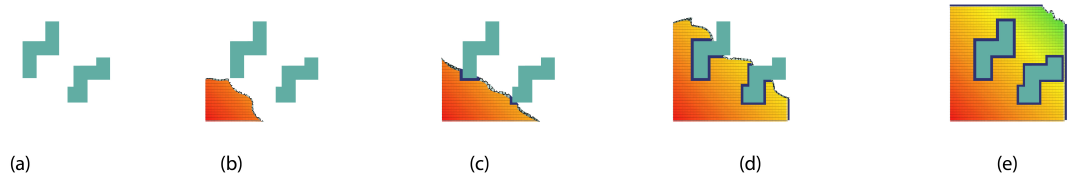


Figura 2.2: Ilustración del proceso del algoritmo de Dijkstra. Nodo de inicio en rojo. tomado de [2]

[(a)]  $iter = 0$ , [(b)]  $iter = 0.25$ , [(c)]  $iter = 0.5$ , [(d)]  $iter = 0.75$ , [(e)]  $iter = 1$ ,

Haciendo una analogía entre el algoritmo de búsqueda de ruta planteado y el de Dijkstra, se puede encontrar el parentesco con la ubicación de aquellos nodos o vértices o puntos cercanos al punto de inicio o de partida de la ruta, ya que es muy importante determinar aquel punto que acorta distancia para llegar al objetivo, y de esta manera mantener un avance o desplazamiento en pro de la eficacia del algoritmo.

#### 1.4. ALGORITMO $A^*$

Al igual que el algoritmo de Dijkstra[4], **el algoritmo  $A^*$** [5] es fundamental en los antecedentes de algoritmos de búsqueda de rutas, ya que es una versión con aplicación al desplazamiento de objetos (vehículos, robot, comunicaciones entre otros), adicional a que es aplicado en tareas de navegación de robot por su metodología de búsqueda orientada a enfocar esfuerzo a partir de la ubicación del objetivo o punto meta. Quizás una de sus características, usada en muchos algoritmos, es *la función heurística* que tiene el fin de calcular en todo momento la distancia mínima o costo de cada trayecto. Esta heurística depende de dos parámetros que son un par de puntos, vértices o nodos en los cuales la función determinara el costo total del recorrido. Estos nodos son el punto de partida y de llegada. A continuación el texto que sustenta esta explicación. Posterior a ello, la imagen del pseudocódigo del algoritmo y una imagen que ilustra el funcionamiento.

El algoritmo de Dijkstra[4] sigue siendo hasta el día de hoy uno de los mejores enfoques para solucionar de manera óptima el problema de trayecto más corto simple donde todos los arcos tienen longitudes no negativas.

En otra contribución temprana, Hart et al. [40](1968) desarrollaron una estrategia de búsqueda

da, llamada  $A^*$ , para resolver caminos de costo mínimo. El enfoque  $A^*$  difiere de otros métodos ya que incorpora una estimación del costo de la 'trayectoria completa'. Para ciertas clases de funciones de estimación,  $A^*$  encontrará el camino óptimo.

En los últimos 50 años ha habido un interés continuo y sostenido en el desarrollo de algoritmos más rápidos para resolver el problema de trayecto más corto, ya que este problema se aplica en una amplia variedad de áreas incluyendo el enrutamiento de llamadas telefónicas y redes de comunicación y enrutamiento de vehículos en las redes de carreteras. El objetivo principal de este trabajo es proporcionar una comparación directa de  $A^*$  con lo que se considera ser la mejor implementación de algoritmos de trayecto más cortos para identificar el enfoque más eficiente cuando se utilizan datos procedentes del *Sistema de Información Geográfica (GIS)*. Durante la última década, se han realizado varios intentos notables de comparar algoritmos de trayecto más cortos (Cherkassky et al., [34] 1996, Zhan y Noon [35] 1998). En particular, la falta de trabajo anterior es una comparación directa de  $A^*$  y eficaces implementaciones de Dijkstra[4]. Esto es algo comprensible, dado que  $A^*$  requiere una función para estimar el costo de terminación de un camino. Debido a esto,  $A^*$  no es adecuado para muchas aplicaciones de trayecto más cortas; Sin embargo, es potencialmente ideal para una aplicación que utiliza información procedente de GIS. Una de las primeras pruebas de  $A^*$  se debe a Golden y Ball [36] (1978) en redes euclidianas (es decir, una red definida en el espacio euclidiano  $r$ -dimensional con el coste de desplazamiento de cada arco proporcional a la distancia en línea recta entre los nodos que conecta) Donde se encontró que  $A^*$  no expandió más de aproximadamente el 10% de los nodos de lo que sería ampliado por el algoritmo de Dijkstra[4]. Esta posibilidad también fue reconocida por Shekhar et al. [37](1993, véase también Shekhar y Fetterer [38]1996), donde realizaron pruebas preliminares de  $A^*$  aplicadas a la red de calles de Minneapolis y la compararon con el algoritmo de Dijkstra[4], así como con un método de búsqueda de "anchura inicial".

Su conclusión general no estaba clara cuando sugirieron que cada algoritmo parece tener alguna ventaja sobre los demás, dependiendo del problema que se resuelve y la longitud de la trayectoria resultante. Ertl (1998) rechazó esencialmente  $A^*$  como una alternativa viable cuando afirmó que  $A^*$ , en el mejor de los casos, es modestamente más rápido que el algoritmo de Dijkstra[4]. Por lo tanto, prácticamente todas las investigaciones previas han ignorado la existencia de  $A^*$ , han probado  $A^*$  en un problema especializado o han llegado a la conclusión de que tal vez sea tan bueno o modestamente mejor que el algoritmo de Dijkstra[4]. En una revisión reciente, Fu et al. (2006) afirmó que  $A^*$  es competitivo con los enfoques basados en Dijkstra[4], pero luego enfatizó las posibles ventajas de usar  $A^*$  como una heurística en lugar de como un algoritmo.[5]

Es importante introducir primero alguna notación general sobre una red. Siguiendo a Ga-

llo y Pallottino[33] (1986), utilizamos el símbolo  $G(N, A; l)$  para representar una red dirigida con  $n = |N|$  Nodos,  $m = |A|$  arcos y una función de longitud  $l : A \rightarrow R$  donde  $R \geq 0$  (es decir,  $l$  es un conjunto de longitudes de arco de valores reales mayores o iguales a cero). Denotamos la longitud de un arco específico  $(i, j)$  por  $l(i, j)$ . Para el nodo  $i$ , definimos el conjunto de arco  $FS(i) = \{(i, j) | arco(i, j) \in A\}$  como *su estrella directa*, y  $SUC(i) = \{j | arco(i, j) \in A\}$  como el conjunto de los sucesores de  $i$ . La estrella directa es una estructura de datos de uso común que es una lista de los arcos que están generalizados en el nodo  $i$  y que están dirigidos a otros nodos. Nos referimos a la fuente de un camino más corto o la raíz de un árbol de ruta más corta (**STP (protocolo del árbol de expansión)**) como nodo  $s$ . En el contexto del problema de trayecto más corto uno a uno, nos referimos al destino como nodo  $t$ .

Gallo y Pallottino[33] (1986) afirmaron que casi todos los algoritmos SPT de interés práctico pueden derivarse de un solo prototipo de método. Este prototipo puede estructurarse de la siguiente manera:

- [Paso 1:] Comience con cualquier árbol dirigido  $T$  enraizado en  $s$  y para cada  $v \in N$ , sea  $d(v)$  la longitud de la trayectoria de  $s$  a  $v$  en  $T$ .
- [Paso 2:] Sea  $(i, j) \in A$  un arco para el que  $d(i) + l(i, j) < d(j)$ , entonces ajuste el vector  $d$  fijando  $d(j) = d(i) + l(i, j)$ , y actualizar el árbol  $T$  reemplazando el arco actual incidente en el nodo  $j$  por el nuevo arco  $(i, j)$ .
- [Paso 3:] Repita el paso 2 hasta  $d(i) + l(i, j) \geq d(j)$  para cada  $(i, j) \in A$ .

La idea básica detrás de este prototipo es que uno primero comienza con un árbol  $T$  arraigado en el origen  $s$  y luego iterativamente actualiza este árbol reemplazando los arcos hasta que todos los arcos del árbol cumplan las condiciones de optimismo de Bellman (Bellman [39]1958), es decir, Para cada arco  $(i, j)$ , la longitud de la trayectoria desde el origen  $s$  al nodo  $i$  más la longitud del arco  $(i, j)$  no es menor que la longitud de la trayectoria de  $s$  a  $j$ . [5]

1.4.0.1. La heurística  $A^*$  El algoritmo  $A^*$  fue presentado originalmente por Hart et al. [40](1968). Fue diseñado para resolver el problema de trayecto más corto entre un origen y un destino. Supongamos que además de la red de nodos y arcos, tenemos información en la que podemos estimar la distancia desde cualquier nodo hasta el destino. Formalmente,  $h(i) =$  a la estimación de completar la ruta desde el nodo  $i$  al nodo de destino  $t$ . Un candidato para  $h(*)$  es la medida de distancia euclidiana. La medida de distancia euclidiana es siempre un límite inferior de lo que tomaría en la distancia para completar un camino de  $i$  al nodo  $t$  en un plano cartesiano (para una región grande, sería la distancia del arco del gran círculo). [5]

El algoritmo  $A^*$  para resolver el problema de trayecto más corto uno a uno se puede describir como sigue:[5]

- [Paso 1:]Comience por establecer  $d(i) = +\infty$  para cada  $i \in N$ ; siguiente conjunto  $g(s) = 0$  y  $d(s) = g(s) + h(s)$ , Finalmente,  $S = \{s\}$ ;
- [Paso 2:]Selección de nodos: identificar el nodo  $v \in S$  donde  $d(v) \leq d(i)$  para todos  $i \in S$ ; conjunto  $S = S - \{v\}$ .
- [Paso 3:]Criterios de detención: si  $v = t$ , detener como el camino más corto al destino  $t$  se ha encontrado; De lo contrario, vaya al paso 4.
- [Paso 4:]Expansión: para cada nodo  $w$  donde  $arc(v, w) \in A$ , si  $g(w) > g(v) + l(v, w)$  entonces actualizar  $g(w) = g(v) + l(v, W)$ , fije  $d(w) = g(w) + h(w)$  y cuando  $w \notin S$  deje  $S = S + \{w\}$ ; Después de que se hayan realizado todas las actualizaciones, vaya al paso 2.

Al igual que el algoritmo de Dijkstra[4], el algoritmo  $A^*$  mantiene un conjunto  $S$  de Nodos candidato (nodos que aún no han sido seleccionados como el siguiente nodo más cercano al origen) y aplica un método best-first para seleccionar de esta lista el siguiente nodo para expandir / escanear.

Cuando se ve desde una perspectiva miope,  $A^*$  es exactamente la misma que la de Dijkstra[4]; Sin embargo,  $A^*$  también incluye un componente orientado hacia el futuro, que es una estimación de la longitud para completar la ruta hacia el destino desde un nodo específico. Cuando el nodo  $i$  es colocado en la lista de candidatos  $S$ , el algoritmo  $A^*$  establece una etiqueta de distancia temporal con una función que consta de dos partes:  $d(i) = g(i) + h(i)$  donde  $g(i)$  es la longitud estimada del camino más corto desde el origen  $s$  al nodo  $i$ , y  $h(i)$  es la longitud estimada de la trayectoria más corta desde  $i$  hasta el destino  $t$ . Si  $h(i) = 0$  para todos nodos  $i$ , entonces  $A^*$  es esencialmente el mismo que SPA de Dijkstra[4]. Uno puede pensar en los costes de terminación estimados,  $h(*)$ , como tipo de penalización, en el que los nodos destino se penalizan menos que los nodos que están más lejos del destino.

El componente  $h(*)$  de la etiqueta del nodo ayuda a dirigir el espacio de búsqueda hacia el destino, mientras que el algoritmo de Dijkstra[4] tiende a expandir el espacio de búsqueda uniformemente en todas las direcciones. Aunque ambos procedimientos identifican y etiquetan los nodos en distancia, Dijkstra[4] evalúa los nodos en orden de distancia creciente desde el origen y  $A^*$  en orden de la distancia creciente desde el origen más la estimación de la distancia de terminación al destino.

**Algorithm 2.3.3**

```

 $g = \mathbf{A\_star}(G, p, r, h)$ 
Inputs:
  a. Graph  $G$ 
  b. Start node  $p \in \mathcal{V}(G)$ 
  c. Goal node  $r \in \mathcal{V}(G)$ 
  d. An admissible heuristic function  $h : \mathcal{V}(G) \times \mathcal{V}(G) \rightarrow \mathbb{R}^+$ 
Outputs:
  a. A path connecting start vertex to goal vertex,  $P = [p = \rho_1, \rho_2, \rho_3, \dots, \rho_n = r]$ 
1  Initiate  $g$ : Set  $g(v) := \infty$ , for all  $v \in \mathcal{V}(G)$  // Minimum distance
2  Set  $g(p) = 0$ 
3  Initiate  $f$ : Set  $f(v) := \infty$ , for all  $v \in \mathcal{V}(G)$  //  $f$ -values
4  Set  $f(p) = h(p)$ 
5  Set  $\overline{Q} := \emptyset$  // Closed set (set of expanded nodes)
6  Set  $R := \{p\}$  // Open set (candidate nodes for expansion)
7  while ( $R \neq \emptyset$  &&  $r \notin R$ )
8      $q := \operatorname{argmin}_{q' \in R} f(q')$  // Vertex to expand.  $R$  is maintained by a heap data-structure.
9     if ( $q == r$ ) // Goal vertex reached.
10        return Reconstruct_Path ( $G, g, r$ )
11     $R = R - q$  // Remove  $q$  from open set.
12     $\overline{Q} = \overline{Q} \cup q$  // Add  $q$  to closed set.
13    for each ( $\{w \mid w \in \mathcal{N}_G(q) \text{ and } w \notin \overline{Q}\}$ ) // For each neighbor of  $q$  that's not in closed set
14         $R = R \cup w$  // Add  $w$  to open set.
15        Set  $g' := g(q) + \mathcal{C}_G([q, w])$ 
16        if ( $g' < g(w)$ )
17            Set  $g(w) = g'$ 
18            Set  $f(w) = g' + h(w, r)$ 
19 return [] // Goal vertex is not reachable.

```

Figura 3.1: Representación en pseudocódigo del algoritmo de  $A^*$ . Tomado de[2]

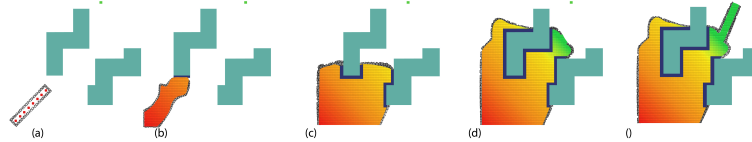
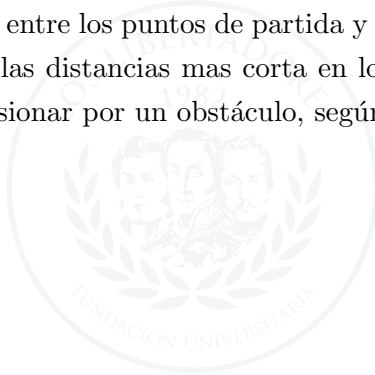


Figura 3.2: Ilustración del proceso del algoritmo  $A^*$ . El conjunto abierto esta marcado por los círculos azules vacíos. Tomado de [2]

[(a)]  $iter = 0$ , [(b)]  $iter = 0.25$ , [(c)]  $iter = 0.5$ , [(d)]  $iter = 0.75$ , [(e)]  $iter = 1$ .

Como vemos en los textos tomados de [5] tiene muchas aplicaciones y percepciones de su eficiencia. En el algoritmo de búsqueda planteado, muchos de sus procesos son muy parecidos a los del algoritmo  $A^*$ , ya que cuenta con una constante para reducir ciclos de procesamiento, llamada **Parágrafo: Heurística aplicada**. También cuentan con el direccionamiento de la ruta por medio de la recta entre los puntos de partida y de llegada; y por supuesto cuenta con la función que determina las distancias mas corta en los trayectos que lo acerquen al punto destino u objetivo sin colisionar por un obstáculo, según el valor de heurística.



LOS LIBERTADORES  
FUNDACIÓN UNIVERSITARIA

## 2. MARCO METODOLÓGICO

### 2.1. DESCRIPCIÓN DEL PROCEDIMIENTO

#### 2.1.1. *Requerimientos*

Para el correcto funcionamiento del algoritmo se requiere como “*ingrediente*” un entorno discreto, por lo cual se trabajará con imágenes binarizadas, en las cuales, ya a nivel de código el color negro se representará con el valor cero (0) y el color blanco con el el valor doscientos cincuenta y cinco (255). Dicho entorno es una *abstracción* de un entorno real, es decir, los obstáculos se modelan vía figuras geométricas como círculos y cuadrados y la unión de las mismas.

Adicionalmente, se seleccionó el formato PNG\* como el formato de las imágenes de entrada a procesar por el algoritmo.

#### 2.1.2. *Descripción de la forma del entorno*

Mediante los algoritmos de creación del entorno, referenciados en el proyecto de grado [1], se ubicaran de manera aleatoria, unas formas geométricas de tipo cuadrados, círculos y rectángulos, y las uniones entre ellas, que harán las veces de obstáculos. Los obstáculos se visualizaran en color blanco para poder identificar que es espacio de desplazamiento y espacio ocupado por obstáculo.

Ubicando de forma ordenada, en todo el espacio disponible de la imagen, unos puntos con coordenadas que ocuparán posiciones de manera equidistante entre los siguientes elementos: entre límites de obstáculos y los límites obstáculos con el contorno. Donde se discriminarán aquellos puntos que NO se ubican en obstáculos, los cuales serán los puntos efectivos para el siguiente proceso.

---

\*Formato basado en algoritmos de compresión cuyas siglas significan: gráfico de red portátil

Una vez desplegados estos puntos, se producirá una expansión en cada uno de ellos; esta expansión se conocerá como *una teselación en forma de rombo* hasta llegar o encontrarse con otras teselaciones, o con obstáculos, o con los límites de la imagen de entorno.

Luego de ello, se ubicará el centro de masa en las teselaciones expandidas mediante coordenadas, para así tener una opción de punto de paso de la ruta mas apropiada.

Paso seguido, se desplegarán dos puntos que representarán respectivamente el punto de origen y el punto de meta. Es a partir de aquí, que se despliega el algoritmo de búsqueda, que determinará la ruta de menor coste o más eficiente. Se desplegará una recta entre los puntos de partida y de llegada. A partir en esa recta se seleccionarán los puntos o centroides adyacentes(laterales) a esa recta en una distancia menor o igual que la heurística. Esos puntos serán por los cuales se trace la ruta dependiendo de las trayectorias entre esos puntos. A partir de esas trayectorias, se determinará un camino posibles y validando sobre espacio libre o de configuración que no cruce ningún obstáculo. Esto se llevara a cabo mediante la medición de distancias parciales (en cada punto próximo de menor distancia con trayectoria valida) que presente la menor distancia con respecto al punto de llegada o meta, para así desplazarse de punto en punto con las mismas característica, hasta llegar a la meta.

#### 2.1.2.1. Heurística aplicada

Dentro del algoritmo de búsqueda se ha introducido un valor constante con una utilidad muy importante. Esta utilidad es la de agilizar la etapa de procesamiento de búsqueda de ruta, ya que esta constante restringe el número de puntos disponibles para el desplazamiento. Dando así menor cantidad de puntos para la comparación.

Esta constante representa una distancia; una distancia euclidiana que referencia aquellos puntos que se encuentren por debajo de ese valor, en filas y columnas, harán parte de la colección de puntos por los cuales puede pasar la ruta seleccionada.

Esta característica adicional a la de puntos cercanos a una recta entre los puntos de partida y de llegada, orientan o enfocan la búsqueda de ruta, ademas que reducen los tiempo de procesamiento si la ruta es corta.

La descripción matemática de la acción podría declararse de la siguiente manera:

Sea  $l_n$  una colección de distancias euclidianas de todos los puntos disponibles en el entorno. Sea  $(x, y)$  las coordenadas de ese punto al cual hace referencia esa distancia parcial.

$$A = \{l_n(x, y) : \|l_n(x, y)\| < Heuristica\}$$

La imagen (Figura 4.1) representa esta característica.

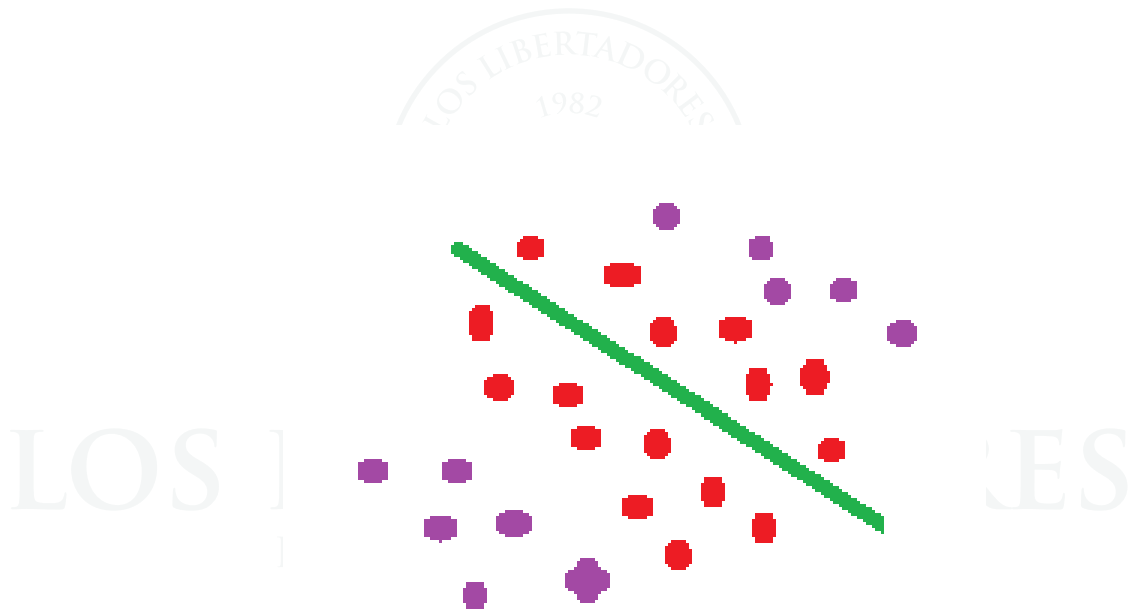
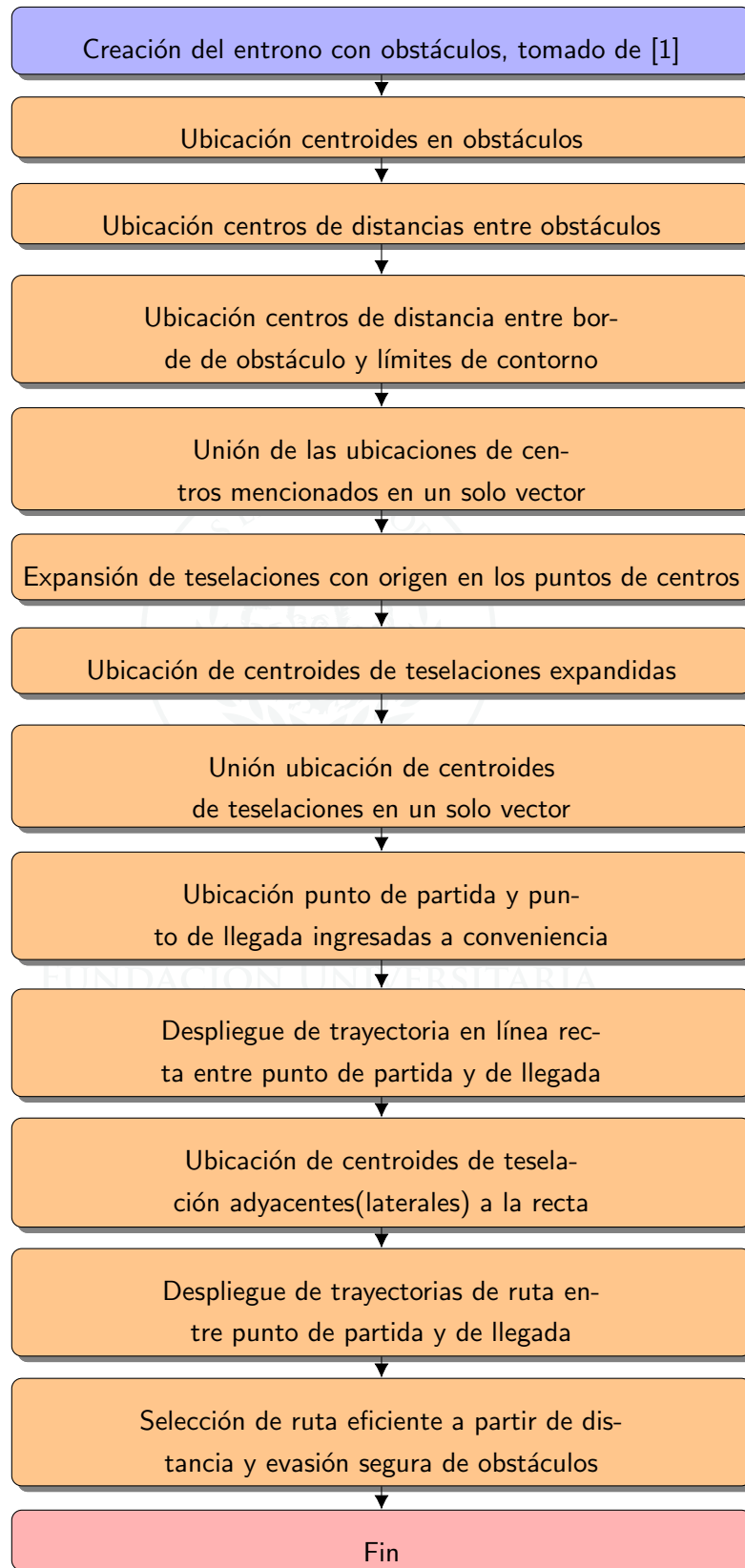
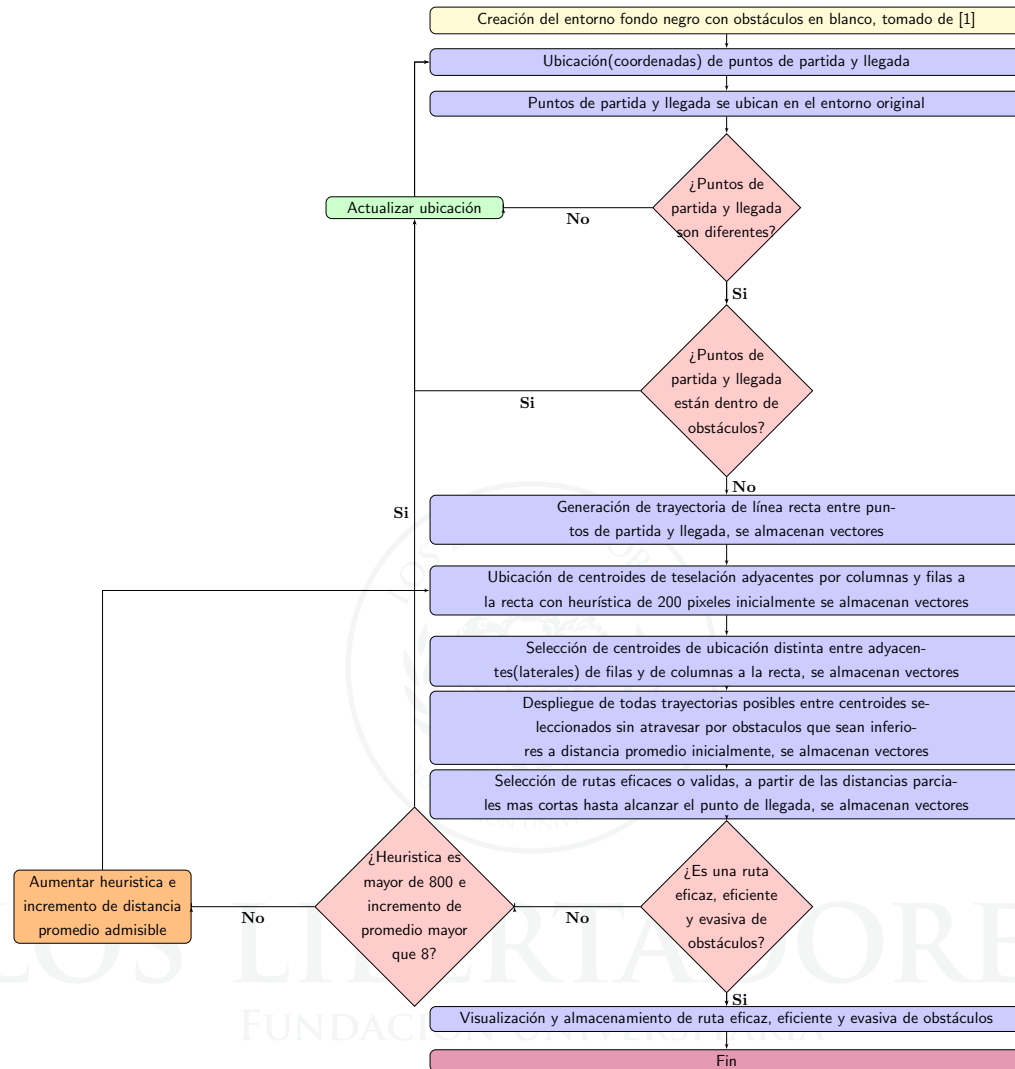


Figura 4.1: Demostración de Heurística en el algoritmo, puntos rojos:distancia menores que heurística. puntos morados:distancias mayores que heurística. Fuente autor

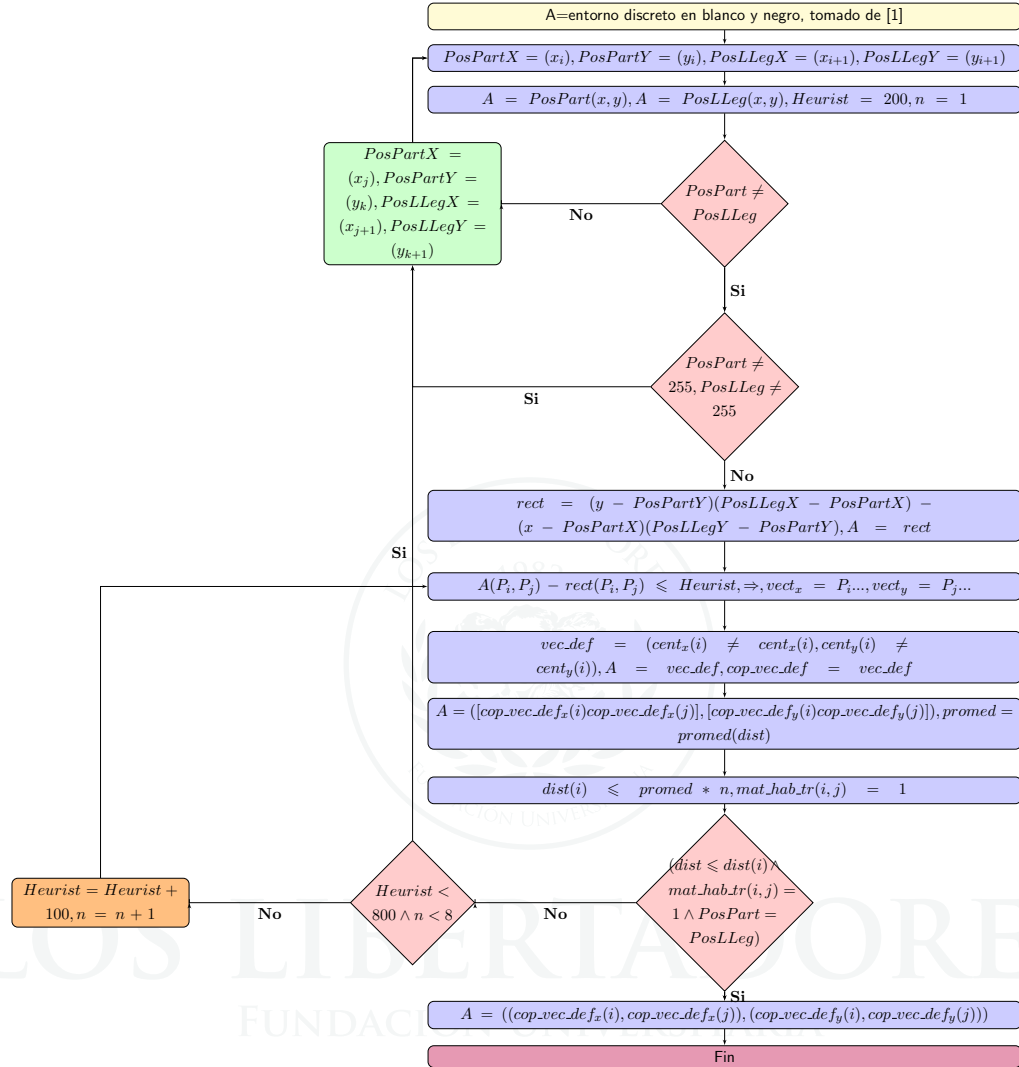
2.1.3. Diagrama de bloques de simulación de algoritmo de búsqueda



2.1.4. Diagrama de flujo de algoritmo de búsqueda



2.1.5. Diagrama de flujo de algoritmo de búsqueda



### 3. SIMULACIÓN DEL ALGORITMO

#### 3.0.1. Simulación

A continuación se demostrara el funcionamiento del algoritmo por secciones, cada una desarrollada en `Matlab 2013b`. Cada una de estas secciones esta acompañada de la descripción del proceso, el pseudocódigo del algoritmo implementado, y una imagen del proceso realizado sobre el entorno.

La simulación del algoritmo requiere de 15 secciones para obtener los resultados necesarios, a continuación el listado de secciones que orienta el proceso y su descripción:

1. Creación del entrono fondo negro con obstáculos en blanco.
2. Ubicación de puntos de partida y llegada.
3. Puntos de partida y llegada se ubican en el entorno original.
4. ¿Puntos de partida y llegada son diferentes?.
5. Actualizar ubicación.
6. ¿Puntos de partida y llegada están dentro de obstáculos?.
7. Actualizar ubicación.
8. Generación de trayectoria de línea recta entre puntos de partida y llegada, se almacenan vectores.
9. Ubicación de centroides de teselación adyacentes(laterales) por columnas y filas a la recta con heurística de 200 pixeles en distancia inicialmente y distancia promedio incrementada en 1 inicialmente, se almacenan vectores.
10. Selección de centroides de ubicación distinta entre adyacentes de filas y de columnas a la recta, se almacenan vectores.
11. Despliegue de todas trayectorias posibles entre centroides seleccionados sin atravesar por obstáculos, se almacenan vectores.
12. Selección de rutas eficaces o validas,a partir de distancias cortas parciales se almacenan vectores.
13. ¿ Es una ruta eficiente y evasiva de obstáculos?.
14. Actualizar ruta.

15. Visualización y almacenamiento de ruta eficiente y evasiva de obstáculos.

3.0.1.1. Sección 1. Creación del entorno fondo negro con obstáculos en blanco:

La primera sección consiste en la creación del entorno. A partir del modelo presentado en el proyectos de grado [1]. Se desarrollo el entorno como se describe, en la sección "RESULTADOS", primera parte: *Creación de un entorno aleatorio*.

En esta parte del algoritmo se definieron las dimensiones del entorno y a partir de geometría Euclidiana, se generó de manera aleatoria la cantidad de obstáculos, el tamaño de cada uno, la posición en el entorno y la forma. En la Figura 6.1 se puede observar un entorno generado por el algoritmo, donde las áreas blancas equivalen a los obstáculos y el área de color negro al espacio de configuración.

Cabe aclarar que este proceso contempla también, todo el desarrollo de ubicación de puntos de desplazamiento los cuales serán los orígenes de expansión de las teselaciones, del mismo modo la ubicación de los centroides de masa de las teselaciones expandidas, que de forma definitiva serán los puntos validos para la ruta; todo almacenado en vectores para el próximo algoritmo. En el Algoritmo 1 se explica una parte del proceso utilizado y los resultados en Figura 5.1.

---

**Algorithm 1** Creación del entorno

---

**Require:** ENTRADA  $Q$  = Número de obstáculos

**Require:** ENTRADA  $P(x,y)$  = Posición del obstáculo

**Require:** ENTRADA  $T(1,Q)$  = Tamaño del obstáculo

**Require:** ENTRADA  $O$  = Contador actual de obstáculos

**Require:** SALIDA  $I$  = Imagen de salida

```
1: while  $O \neq Q$  do
2: Posición =  $P$ 
3: Definir forma aleatoria =  $F$ 
4: for  $i \leftarrow 1$  to  $T(1, Q)$  do
5: Definir Contorno según  $F$ 
6: Contorno = 255
7: end for
8:  $O = O + 1$ ;
9: end while
10: return true
```

---

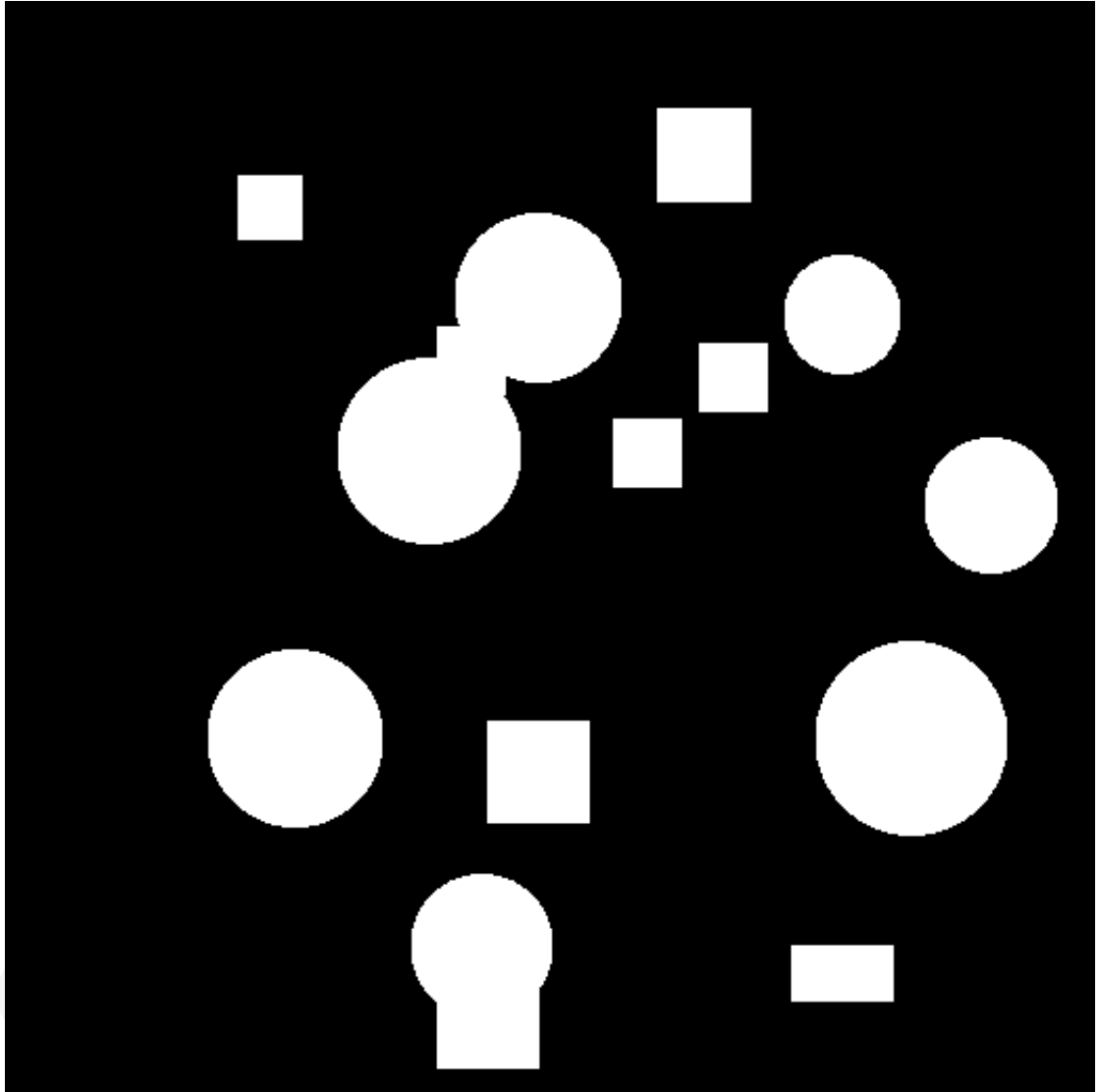


Figura 5.1: Entorno discreto aleatorio en tamaño, formas y ubicación, creado por la Sección 1.

3.0.1.2. Sección 2. Ubicación(coordenadas) de puntos de partida y llegada: Esta sección hace parte de primer algoritmo (*Director<sub>busqueda</sub>IG<sub>3</sub>*) donde se debe ingresar las coordenadas seleccionadas que determinen el punto de partida y el de llegada; para los cuales se necesita determinar una ruta. A continuación el algoritmo 2 demostrará el proceso y los resultados en Figura 5.2.

---

**Algorithm 2** Ubicación(coordenadas) de puntos de partida y llegada

---

**Require: ENTRADA** I = Imagen de entrada

**Require: ENTRADA** U<sub>x</sub> = Vector de centroides de teselaciones.

**Require: ENTRADA** U<sub>y</sub> = Vector de centroides de teselaciones.

**Require:** G<sub>x</sub> = Copia de vector U<sub>x</sub>.

**Require:** G<sub>y</sub> = Copia de vector U<sub>y</sub>.

**Require:** inicio<sub>x</sub> = variable para almacenar las coordenadas del punto de partida.

**Require:** inicio<sub>y</sub> = variable para almacenar las coordenadas del punto de partida.

**Require:** fin<sub>x</sub> = variable para almacenar las coordenadas del punto de llegada.

**Require:** fin<sub>y</sub> = variable para almacenar las coordenadas del punto de llegada.

{**comentario:**Se ingresan las coordenadas de los punto de partida y llegada  
(Director<sub>busqueda</sub><sub>I</sub>G<sub>3</sub>):}

1: PosPartX=...

2: PosPartY=...

3: PosLLegX=...

4: PosLLegY=...

5: **return true**

---



LOS LIBERTADORES  
FUNDACIÓN UNIVERSITARIA

### 3.0.1.3. Sección 3. Puntos de partida y llegada se ubican en el entorno original:

En esta sección se pretende visualizar la ubicación de los puntos de forma gráfica(dependiendo del entorno de programación que se utilice o el formato que se programe uint8 (tonos de 0-255) o double (decimales menores que 1). Se recomienda el uso de formato uint8 para esta aplicación)en el entorno original para saber que sección de centroides de teselaciones se necesitarán. A continuación el algoritmo que representa la sección y los resultados en Figura 5.2.

---

**Algorithm 3** Puntos de partida y llegada se ubican en el entorno original

---

**Require:** ENTRADA  $I$  = Imagen de entrada

**Require:** ENTRADA  $U_x$  = Vector de centroides de teselaciones.

**Require:** ENTRADA  $U_y$  = Vector de centroides de teselaciones.

**Require:** iniciox

**Require:** inicioy

**Require:** finx

**Require:** finy

1:  $I(\text{iniciox}, \text{inicioy}) = '*'$

2:  $I(\text{finx}, \text{finy}) = '+'$

3:  $\text{—printf—}(I)$

4: **return true**

---

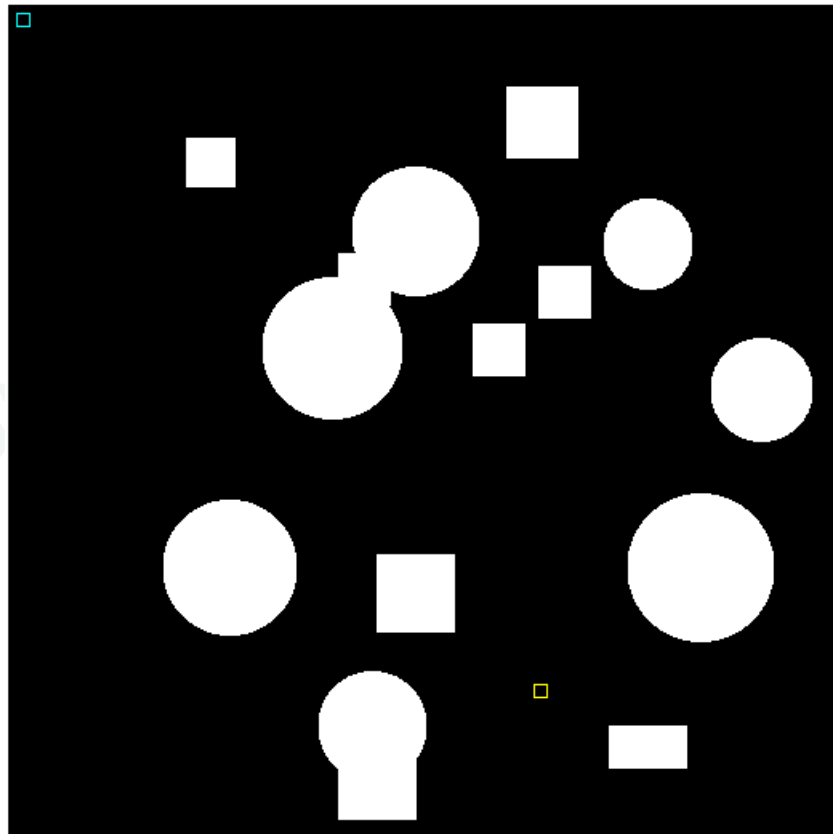


Figura 5.2: Entorno con puntos de partida y llegada. Sección 2 y 3.

3.0.1.4. Sección 4. y 5. ¿ Puntos de partida y llegada son diferentes? y Actualizar ubicación:

En esta sección de emplea una condicional para averiguar si las coordenadas de partida o

las de llegada, apuntan al mismo punto. En tal caso, no existe recorrido que realizar y no tienen sentido desarrollar el algoritmo. Si es así, se debe actualizar la ubicación de nuevas coordenadas en el entorno, de tal modo, que no direccionen las mismas coordenadas. Hasta tanto nos sean unas coordenadas validas no se sigue con el proceso. A continuación el algoritmo representativo de esta situación y los resultados en Figura 5.3.

---

**Algorithm 4** ¿ Puntos de partida y llegada son diferentes? y Actualizar ubicación

---

**Require: ENTRADA** I = Imagen de entrada

**Require: ENTRADA** U<sub>x</sub> = Vector de centroides de teselaciones.

**Require: ENTRADA** U<sub>y</sub> = Vector de centroides de teselaciones.

**Require: iniciox**

**Require: inicioy**

**Require: finx**

**Require: finy**

```

1: I(iniciox, inicioy) = '*'
2: I(finx, finy) = '+'
3: —printf—(I)
4: if inicioy ≠ finy ∧ iniciox ≠ finx then
5:   comentario: sección de programación orientada al trazado entre los puntos de partida y
   llegada
   { comentario:Lazo de retorno a la sección 2.}
6: else
7: Actualizar ubicación
8: goto: Ubicación de puntos de partida y llegada
9: end if
10: return true

```

---

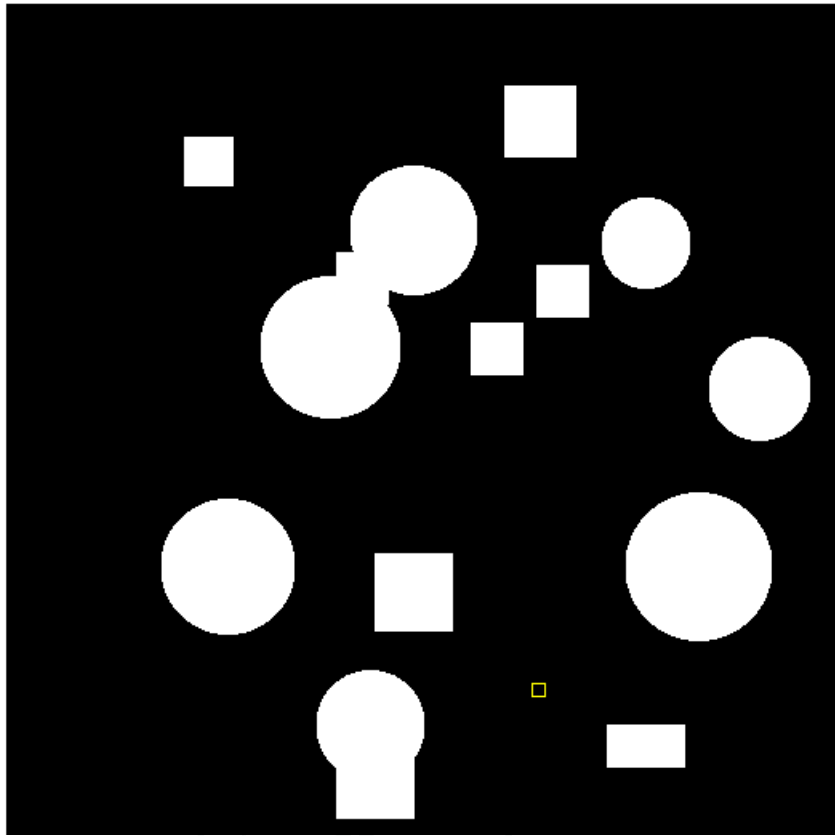


Figura 5.3: Entorno con puntos de partida y llegada en la misma coordenada (cuadro de color cian y amarillo en el mismo punto). Sección 4. y 5.

# LOS LIBERTADORES

## FUNDACIÓN UNIVERSITARIA

3.0.1.5. Sección 6. y 7. ¿ Puntos de partida y llegada están dentro de obstáculos? y Actualizar ubicación: En esta sección se emplea una condicional para averiguar si las coordenadas de partida o las de llegada, en este caso apuntan dentro del área de un obstáculo. Teniendo en cuenta las recomendaciones de la sección 3. (uso de formato `uint8` negro=0, blanco=255). Si es así, se debe actualizar la ubicación de nuevas coordenadas en el entorno, de tal modo, que no direccionen hacia un obstáculo. hasta tanto nos sean unas coordenadas validas no se sigue con el proceso. A continuación el algoritmo representativo de esta situación y los resultados en Figura 5.4.

---

**Algorithm 5** ¿ Puntos de partida y llegada están dentro de obstáculos? y Actualizar ubicación

---

**Require: ENTRADA** I = Imagen de entrada

**Require: ENTRADA** U<sub>x</sub> = Vector de centroides de teselaciones.

**Require: ENTRADA** U<sub>y</sub> = Vector de centroides de teselaciones.

**Require: iniciox**

**Require: inicioy**

**Require: finx**

**Require: finy**

1: I(iniciox, inicioy) = '\*'  
2: I(finx, finy) = '+'  
3: —printf—(I)  
4: **if**  $I(\text{iniciox}, \text{inicioy}) \neq 255 \wedge I(\text{finx}, \text{finy}) \neq 255$  **then**  
5: **comentario:** sección de programación orientada al trazado entre los puntos de partida y llegada  
  {**comentario:**Lazo de retorno a la sección 2.}  
6: **else**  
7: Actualizar ubicación  
8: **goto:** Ubicación de puntos de partida y llegada  
9: **end if**  
10: **return true**

---

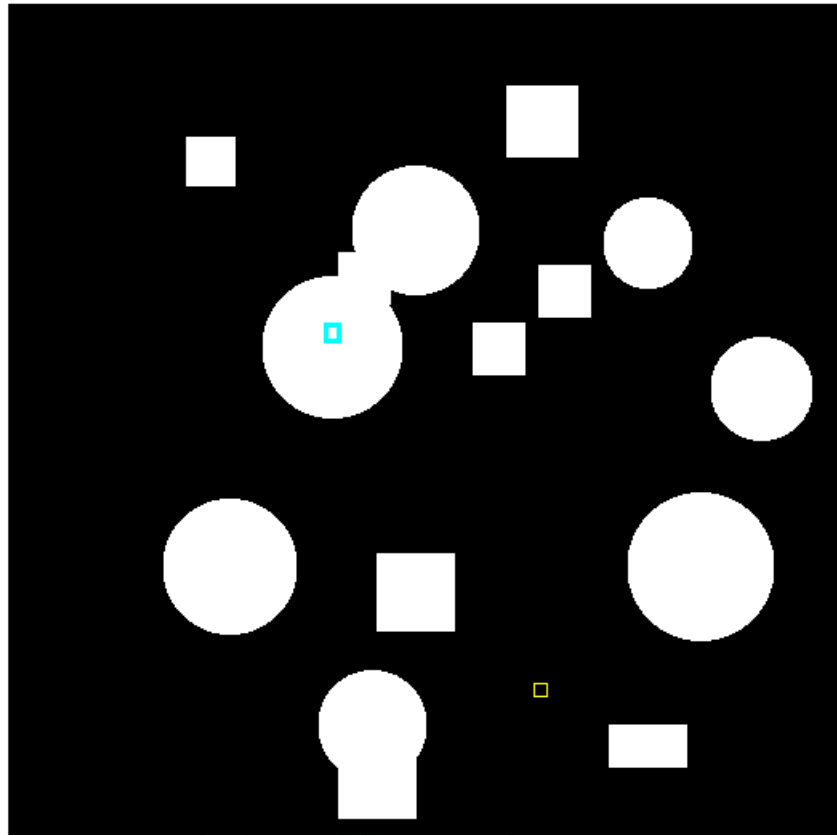


Figura 5.4: Entorno con puntos de partida o llegada dentro de obstaculo. Sección 6. y 7.

LOS LIBERTADORES  
FUNDACIÓN UNIVERSITARIA

3.0.1.6. Sección 8. Generación de trayectoria de línea recta entre puntos de partida y llegada, se almacenan vectores: En esta sección se desarrolla el trazado de recta entre punto de partida y punto de llegada. Marcando cada pixel o punto con un color definido en toda la trayectoria. Luego se evidencia el trazado en la imagen del entorno original. A continuación el algoritmo que expone la explicación y los resultados en Figura 5.5.

---

**Algorithm 6** Generación de trayectoria de línea recta entre puntos de partida y llegada, se almacenan vectores

---

**Require:** ENTRADA  $I =$  Imagen de entrada

**Require:** ENTRADA  $var =$  variable de almacenamiento.

**Require:** ENTRADA  $movx =$  variable de almacenamiento temporal de coordenadas.

**Require:** ENTRADA  $movy =$  variable de almacenamiento temporal de coordenadas.

**Require:** contador = variable de almacenamiento temporal.

**Require:** iniciox

**Require:** inicioy

**Require:** finx

**Require:** finy

**Require:** vtx Vector de almacenamiento.

**Require:** vty Vector de almacenamiento.

**Require:** SALIDA  $S =$  Imagen de salida

{comentario:CONTINUA EN EL SIGUIENTE ALGORITMO}

1: return true

---

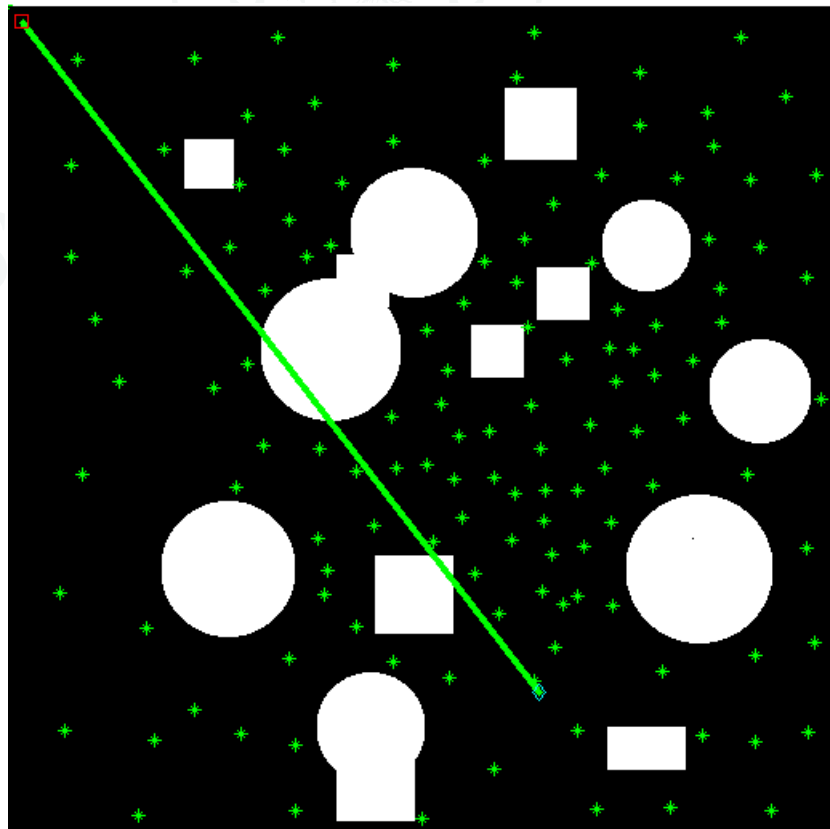


Figura 5.5: Entorno con puntos de partida y llegada y la trayectoria recta. Sección 8.

---

**Algorithm 7** Generación de trayectoria de línea recta entre puntos de partida y llegada, se almacenan vectores

---

```
1: if  $I(iniciox, inicioy) \neq 255 \wedge I(finx, finy) \neq 255$  then
2:  $Distancia = sqrt(|(iniciox - finx)|^2 + |(inicioy - finy)|^2)$ 
   {comentario:averiguar el tipo de pendiente de esa recta}
3: if Pendiente tiene orientación positiva then
4:  $var = 1$ 
5:  $pend = redondeo(finy - inicioy)/(finx - iniciox)$ 
6: else
7:  $var = 2$ 
8:  $pend = redondeo(finx - iniciox)/(finy - inicioy)$ 
9: end if
10:  $I(iniciox, inicioy) = '*'$ 
11:  $I(finx, finy) = '+'$ 
12:  $S=I$ 
13: —printf—(S)
14:  $contador=1$ 
15: while  $iniciox = finx \wedge inicioy = finy$  do
16: if  $var = 1$  then
17:  $movx = movx \pm 1$ 
18:  $movy = ((contador) * (pend)) \pm inicioy$ 
19: end if
20: if  $var = 2$  then
21:  $movx = ((contador) * (pend)) \pm iniciox.$ 
22:  $movy = movy \pm 1$ 
23: end if
24:  $I(movx, movy) = '.'$ 
25:  $S=I$ 
26: —printf—(S) {comentario:trazado de trayectoria almacenado en vectores}
27:  $vtx(contador)=movx$ 
28:  $vty(contador)=movy$ 
29:  $contador=contador+1$ 
30: end while
31: end if
32: return true
```

---

3.0.1.7. Sección 9. Ubicación de centroides de teselación adyacentes(laterales) por columnas y filas a la recta con heurística de 200 pixeles (inicialmente) en distancia, se almacenan vectores: La característica de esta sección consiste en realizar, un barrido por los puntos o centroides de teselación; y averiguar cuales se encuentran cercanos a la recta descrita en la sección anterior. Empezando por las columnas y luego por la filas, hasta encontrar todos los puntos o centroides con distancias inferiores a 200 pixeles a la recta en todo su recorrido, por cada punto. Cabe anotar, que la medida de 200 pixeles (inicialmente), se debe a la dispersión de estos puntos en una forma conveniente, para obtener rutas posibles para el desplazamiento. Esta medida puede cambiar según criterio del programador del algoritmo y de la necesidad de llegar al punto de destino. Este valor de heurística se incrementa cuando la ruta no logra llegar a su fin; debido a esto, debe aumentar el margen para agregar mas puntos que sirvan para el desplazamiento. A continuación el algoritmo que expone la explicación y los resultados en Figura 5.6.



LOS LIBERTADORES  
FUNDACIÓN UNIVERSITARIA

---

**Algorithm 8** Ubicación de centroides de teselación adyacentes(laterales) por columnas y filas a la recta con heurística de 200 pixeles máximo en distancia, se almacenan vectores

---

**Require:** ENTRADA I = Imagen de entrada

**Require:** Gx = Copia de vector Ux, vector de centroides de teselaciones.

**Require:** Gy = Copia de vector Uy, vector de centroides de teselaciones.

**Require:** iniciox

**Require:** inicioy

**Require:** finx

**Require:** finy

**Require:** v1 Vector de unos (1) al tamaño necesario.

**Require:** contador = variable de almacenamiento temporal.

**Require:** vtx Vector de almacenamiento de trayectoria de la recta.

**Require:** vty Vector de almacenamiento de trayectoria de la recta.

**Require:** SALIDA S = Imagen de salida

```
1: contador=1
2: condición= verdadera
3: while condicion = verdadera do
4: vectX = | ((Gx - vtx(contador) * v1(1,tamano(Gx)))) |
5: vectY = | ((Gy - vty(contador) * v1(1,tamano(Gy)))) |
6: vauxX= Ubicación de coordenadas de valor mínimo o igual a cero en Gx.
7: vauxY= Ubicación de coordenadas de valor mínimo o igual a cero en Gy.
8: vectx1= Ubicación con coordenadas de valor mínimo a la recta en vector Gx en columnas.
9: vecty1= Ubicación con coordenadas de valor mínimo a la recta en vector Gy en columnas.
10: vectx2= Ubicación con coordenadas de valor mínimo a la recta en vector Gx en filas.
11: vecty2= Ubicación con coordenadas de valor mínimo a la recta en vector Gy en filas.
12: contador=contador+1
13: if contador ≥ tamano(vtx) ∨ contador ≥ tamano(vty) then
14: condición=falsa
15: end if
16: end while
17: vectx1= vector con coordenadas de centroides cercanos a la recta en columnas.
18: vecty1= vector con coordenadas de centroides cercanos a la recta en columnas.
19: vectx2= vector con coordenadas de centroides cercanos a la recta en filas.
20: vecty2= vector con coordenadas de centroides cercanos a la recta en filas.
21: return true
```

---

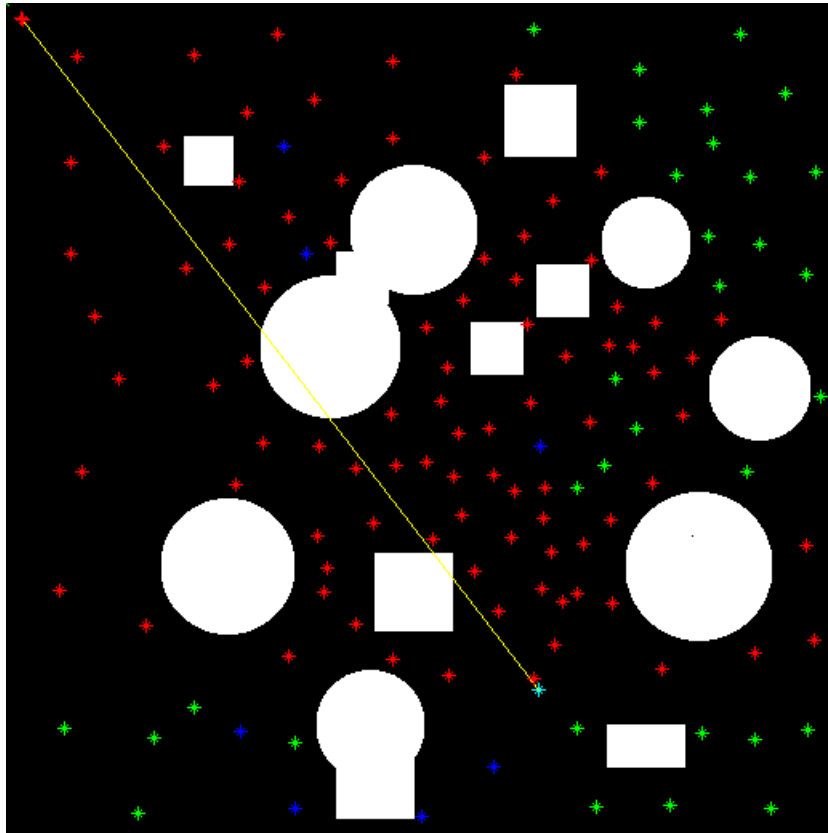


Figura 5.6: Ubicación de centroides de teselación adyacentes(laterales) por columnas y filas a la recta con heurística de 200 pixeles máximo en distancia, se almacenan vectores. Sección 9.

# LOS LIBERTADORES

## FUNDACIÓN UNIVERSITARIA

3.0.1.8. Sección 10. Selección de centroides de ubicación distinta entre adyacentes(laterales) de filas y de columnas a la recta, se almacenan vectores: En esta sección se filtran la recolección de los puntos o centroides de columnas y de filas que NO compartan coordenadas entre ellas(columnas y filas). De esta manera obtener los punto mas distantes entre si pero cercanos a la recta. A continuación el algoritmo que expone la explicación y los resultados en Figura 5.7.

---

**Algorithm 9** Selección de centroides de ubicación distinta entre adyacentes(laterales) de filas y de columnas a la recta, se almacenan vectores

---

**Require:** ENTRADA I = Imagen de entrada

**Require:** Gx = Copia de vector Ux, vector de centroides de teselaciones.

**Require:** Gy = Copia de vector Uy, vector de centroides de teselaciones.

**Require:** iniciox

**Require:** inicioy

**Require:** finx

**Require:** finy

**Require:** contador = variable de almacenamiento temporal.

**Require:** vtx Vector de almacenamiento de trayectoria de la recta.

**Require:** vty Vector de almacenamiento de trayectoria de la recta.

**Require:** vtxdef Vector de almacenamiento de centroides cercanos a la recta definitivos.

**Require:** vtydef Vector de almacenamiento de centroides cercanos a la recta definitivos.

**Require:** SALIDA S = Imagen de salida

```
1: contador=1
2: for i ← 1 to tamaño(vectx1) do
3: for j ← 1 to tamaño(vectx2) do
4: if vectx1(i) ≠ vectx2(j) ∧ vecty1(i) ≠ vecty2(j) then
5: vtxdef(contador)=vectx2(j)
6: vtydef(contador)=vecty2(j) {comentario: visualización y almacenamiento de puntos fil-
   trados cercanos a la recta}
7: I(vtxdef(contador), vtydef(contador)) = '*'
8: S=I
9: —printf—(S)
10: contador=contador+1
11: end if
12: end for
13: end for
14: return true
```

---

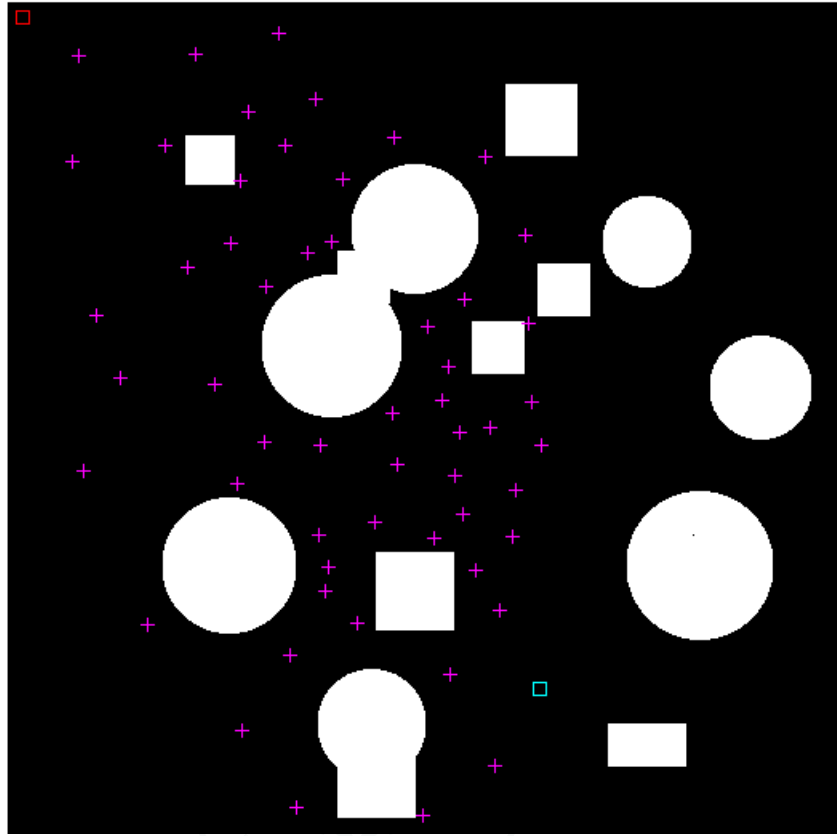


Figura 5.7: Selección de centroides de ubicación distinta entre adyacentes(laterales) de filas y de columnas a la recta, se almacenan vectores. Sección 10.

# LOS LIBERTADORES

## FUNDACIÓN UNIVERSITARIA

3.0.1.9. Sección 11. Despliegue de todas trayectorias posibles entre centroides seleccionados sin atravesar por obstáculos que sean inferiores a distancia promedio inicialmente, se almacenan vectores: En esta sección se procesa y se analiza las posibles rutas que se puedan emplear, para desplazarse desde el punto de partida y hacia el punto de llegada. La ruta puede resultar sencilla (a unos pocos centroides), como puede resultar bastante intrincada entre obstáculos. Para averiguarlo, se despliegan en línea recta desde el punto de partida, trayectorias que pasen por los centroides cercanos, hasta arribar al punto de llegada. Si se presenta el caso de que no llegue al punto de destino, se incrementa la cantidad de puntos disponibles. A continuación el algoritmo que expone la explicación y los resultados en Figura 5.8.

---

**Algorithm 10** Despliegue de todas trayectorias posibles entre centroides seleccionados sin atravesar por obstáculos que sean inferiores a distancia promedio inicialmente, se almacenan vectores

---

**Require:** ENTRADA I = Imagen de entrada

**Require:** Gx = Copia de vector Ux, vector de centroides de teselaciones.

**Require:** Gy = Copia de vector Uy, vector de centroides de teselaciones.

**Require:** iniciox

**Require:** inicioy

**Require:** finx

**Require:** finy

**Require:** vtx Vector de almacenamiento de trayectoria de la recta.

**Require:** vty Vector de almacenamiento de trayectoria de la recta.

**Require:** vtxdef Vector de almacenamiento de centroides cercanos a la recta definitivos.

**Require:** vtydef Vector de almacenamiento de centroides cercanos a la recta definitivos.

**Require:** movX variable de almacenamiento punto a punto.

**Require:** movY variable de almacenamiento punto a punto.

**Require:** promDist variable de promedio extendido para filtrado de distancias largas.

**Require:** matHabTr matriz de unos y ceros que valida el trayectos entre punto que no atraviesa obstáculos.

**Require:** SALIDA S = Imagen de salida

{comentario:CONTINUA EN EL SIGUIENTE ALGORITMO}

1: return true

---

---

**Algorithm 11** Despliegue de todas trayectorias posibles entre centroides seleccionados sin atravesar por obstáculos, se almacenan vectores

---

```

1: for  $i \leftarrow 1$  to  $\text{tamano}(\text{vtxdef})$  do
2:   for  $j \leftarrow 1$  to  $\text{tamano}(\text{vtxdef})$  do
3:     if  $i < j \wedge \text{distTrazad} < \text{promDist} \wedge \text{iniciox} \neq \text{finX} \wedge \text{inicioy} \neq \text{finY} \wedge$ 
        $I(\text{iniciox}, \text{inicioy}) \neq 255 \wedge I(\text{finX}, \text{finY}) \neq 255 \wedge I(\text{movX}, \text{movY}) = 255$  then
4:       {comentario: ( $\text{promDist}$ ) se almacena una distancia promedio entre trayectos con el fin
        de enfocar la búsqueda y reducir tiempos de procesamiento}
5:       {comentario: ( $\text{iniciox} \neq \text{finX} \wedge \text{inicioy} \neq \text{finY} \dots$ ) es el condicional principal para rea-
        lizar el trazado y con el cual se valida la búsqueda de los puntos para la ruta}
6:       {comentario: ( $I(\text{movX}, \text{movY}) = 255$ ) esta condicional clasifica si el trazado atraviesa
        un obstáculo, 1 atraviesa, 0 no atraviesa}
7:        $\text{distTtrazad} = \text{sqrt}(\text{abs}((\text{vtxdef}(i) - \text{vtxdef}(j)))^2 + \text{abs}((\text{vtydef}(i) - \text{vtydef}(j)))^2)$ 
        {comentario: distancia euclidiana}
8:        $\text{matHabTr}(i, j) = 0$ 
9:     else
10:       $\text{matHabTr}(i, j) = 1$ 
11:       $\text{Sx} = [\text{vtxdef}(i) \text{vtxdef}(j)]$ 
12:       $\text{Sy} = [\text{vtxdef}(i) \text{vtxdef}(j)]$ 
13:       $I(\text{vtxdef}, \text{vtydef}) = '*'$ 
14:       $\text{S} = \text{I}$ 
15:       $\text{S} = \text{Sx}, \text{Sy}$ 
16:      —printf—(S) {comentario: visualización y almacenamiento de trayectorias filtradas en-
        tre puntos de partida y de llegada}
17:    end if
18:  end for
19: end for
20: return true

```

---

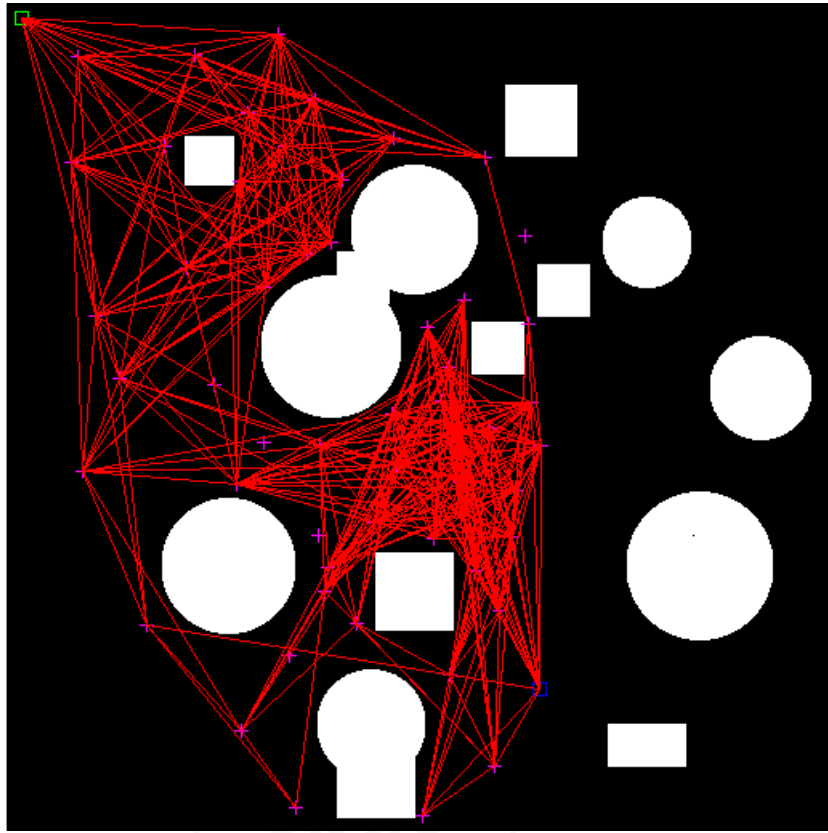


Figura 5.8: Despliegue de todas trayectorias posibles entre centroides seleccionados sin atravesar por obstáculos que sean inferiores a distancia promedio inicialmente, se almacenan vectores. ej: heurística=300,  $1 * \text{promedio}$ . Sección 11.

LOS LIBERTADORES  
FUNDACIÓN UNIVERSITARIA

3.0.1.10. Sección 12. Selección de rutas eficaces o validas, a partir de las distancias parciales mas cortas hasta alcanzar el punto de llegada, se almacenan vectores: En esta sección se procesa y se analiza las posibles rutas eficaces, es decir, las rutas que llegaron a su destino a través de los punto adyacentes(laterales) por medio de trayectos hacia puntos cercanos a al destino, esto quiere decir, que evalúa la distancia del punto cercano con trayectoria valida, que mas lo acerque al punto final, luego de ello, avanza hacia ese punto y vuelve a preguntar, cual punto cercano con trayectoria lo acerca al punto final. A continuación el algoritmo que expone la explicación y los resultados en Figura 5.9.

---

**Algorithm 12** Selección de rutas eficaces o validas, a partir de las distancias parciales mas cortas hasta alcanzar el punto de llegada, se almacenan vectores

---

**Require:** ENTRADA I = Imagen de entrada

**Require:** Gx = Copia de vector Ux, vector de centroides de teselaciones.

**Require:** Gy = Copia de vector Uy, vector de centroides de teselaciones.

**Require:** iniciox

**Require:** inicioy

**Require:** finx

**Require:** finy

**Require:** contador = variable de almacenamiento temporal.

**Require:** vtxdef Vector de almacenamiento de centroides cercanos a la recta definitivos.

**Require:** vtydef Vector de almacenamiento de centroides cercanos a la recta definitivos.

**Require:** SALIDA S = Imagen de salida.

**Require:**  $mem_i=1$  variable de almacenamiento de indices de la matriz de trayectoria validas.

**Require:**  $mem2_i=1$  variable de memoria almacenamiento de indices de la matriz de trayectoria validas.

**Require:**  $distanciast=1000$  distancia asignada para comparación.

**Require:**  $visu_{dist_x}=0$  variable de almacenamiento de ruta eficiente.

**Require:**  $visu_{dist_y}=0$  variable de almacenamiento de ruta eficiente.

**Require:**  $memoria_{dist}=1000$  memoria de distancia asignada para comparación.

**Require:**  $destino_x$  variables auxiliares

**Require:**  $destino_y$  variables auxiliares

**Require:**  $memoria_x$  variable auxiliar

**Require:**  $memoria_y$  variable auxiliar

**Require:**  $actualX$  variable auxiliar

**Require:**  $actualY$  variable auxiliar

{comentario:CONTINUA EN EL SIGUIENTE ALGORITMO}

1: return true

---

---

**Algorithm 13** Selección de rutas eficaces o validas, a partir de las distancias parciales mas cortas hasta alcanzar el punto de llegada, se almacenan vectores

---

```

1:  $mem_i=1$ 
2:  $mem2_i=1$ 
3:  $distanciast=1000$ 
4:  $visu_{dist_x}=0$ 
5:  $visu_{dist_y}=0$ 
6:  $memoria_{dist}=1000$ 
7: while  $actualX \neq finX \vee actualY \neq finY$  do
8:   for  $i \leftarrow 1$  to  $tamano(vtxdef)$  do
9:     if  $mat_{habTr}(mem_i, i) == 1$  then
10:       $destino_x = vtxdef(i)$ 
11:       $destino_y = vtydef(i)$ 
12:       $distanciast = \sqrt{(\text{destino}_x - fin_x)^2 + (\text{destino}_y - fin_y)^2}$ 
13:      if  $distanciast \leq memoria_{dist}$  then
14:         $memoria_{dist} = distanciast$ 
15:         $memoria_x = destino_x$ 
16:         $memoria_y = destino_y$ 
17:         $mem2_i=i$ 
18:      end if
19:    end if
20:  end for
21:  $matHabTr(mem_i, mem2_i) = 0$ 
22:  $mem_i=mem2_i$ ;
23:  $visu_{dist_x}=[visu_{dist_x} \text{ actualX } memoria_x]$ 
24:  $visu_{dist_y}=[visu_{dist_y} \text{ actualY } memoria_y]$ 
25:  $I(vtxdef, vtydef) = '*'$ 
26:  $S=I$ 
27:  $S=visu_{dist_x} visu_{dist_y}$ 
28: —printf—(S)
29:  $actualX = memoria_x$ ;
30:  $actualy = memoria_y$ ;
31: end while
32: return true

```

---

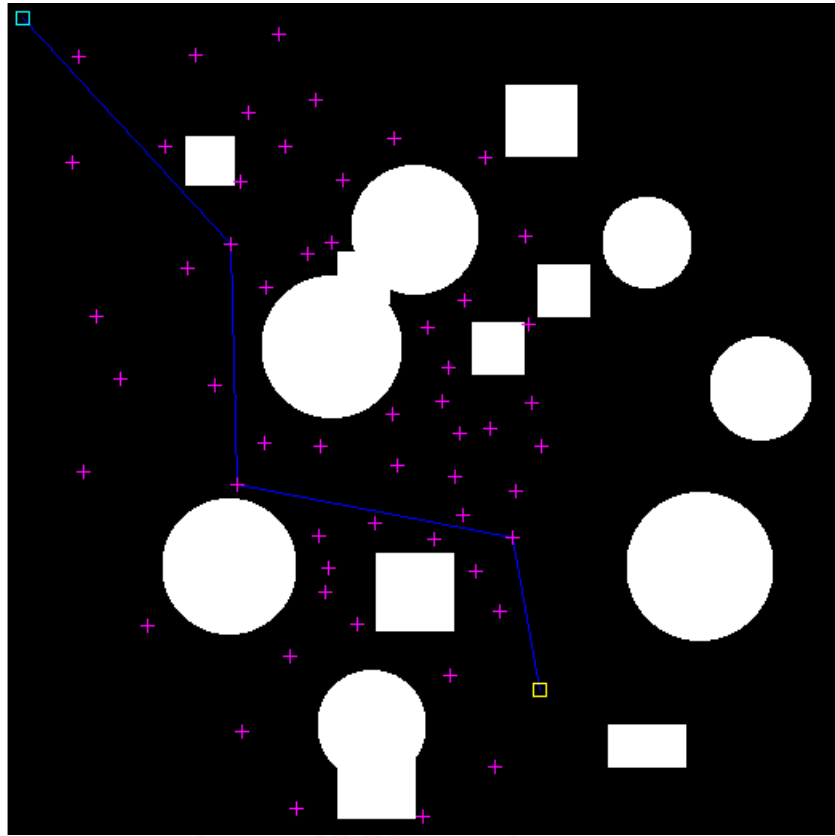


Figura 5.9: Selección de rutas eficaces o validas, a partir de las distancias parciales mas cortas hasta alcanzar el punto de llegada, se almacenan vectores. ej:heurística=300pixeles, 1\*promedio. Sección 12.

# LOS LIBERTADORES

## FUNDACIÓN UNIVERSITARIA

3.0.1.11. Sección 13. y 14. ¿ Es una ruta eficaz, eficiente y evasiva de obstáculos? o Actualizar ruta: En esta sección se evalúa la eficiencia y el desplazamiento seguro del robot(que no colisione con obstáculos), con las rutas escogidas anteriormente. Debido a que en algunas ocasiones los puntos de partida y llegada se encuentran en lugares de difícil accesos, se necesita cambiar el valor de la heurística y el porcentaje del promedio por unos mas alto en valor. Cuando no se obtiene respuesta en un tiempo por conteo, se actualiza el valor de la heurística y un incremento del promedio, al igual que se retorna al algoritmo de selección de puntos adyacentes(laterales) a la recta, para así, expandir las zonas de desplazamiento, y lograr que la ruta llegue a su destino, el punto de llegada. Cabe mencionar que esta parte de algoritmo se ubica dentro del while de algoritmo anterior bajo las mismas condiciones. A continuación el algoritmo que expone la explicación.

---

**Algorithm 14** ¿Es una ruta eficaz, eficiente y evasiva de obstáculos? o Actualizar ruta

---

**Require:** ENTRADA I = Imagen de entrada

**Require:** Gx = Copia de vector Ux, vector de centroides de teselaciones.

**Require:** Gy = Copia de vector Uy, vector de centroides de teselaciones.

**Require:** iniciox

**Require:** inicioy

**Require:** finx

**Require:** finy

**Require:** contador = variable de almacenamiento temporal.

**Require:** vtx Vector de almacenamiento de trayectoria de la recta.

**Require:** vty Vector de almacenamiento de trayectoria de la recta.

**Require:** vtxdef Vector de almacenamiento de centroides cercanos a la recta definitivos.

**Require:** vtydef Vector de almacenamiento de centroides cercanos a la recta definitivos.

**Require:** SALIDA S = Imagen de salida

**Require:**  $visu_{dist_x}=0$  variable de almacenamiento de ruta eficiente.

**Require:**  $visu_{dist_y}=0$  variable de almacenamiento de ruta eficiente.

**Require:**  $Heurist=0$  variable de almacenamiento de nueva Heurística .

**Require:**  $promDist=0$  variable de almacenamiento de incremento de promedio.

```
1: if contador > 1000  $\wedge$  actualX  $\neq$  finX  $\wedge$  actualY  $\neq$  finY then
2:   Heurist=Heurist+100
3:   promDist=promDist+1 {comentario: se retorna al algoritmo de selección de punto ad-
   yacentes a la recta con nuevo valor de heurística e incremento de promedio}
4:   ALGORITMO 10(PosPartX,PosPartY,PosLLegX,PosLLegY,Heurist,promDist)
5:   contador=0
6:   —printf—(CALCULANDO NUEVA TRAYECTORIA)
7:   —printf—(variando Heurística y promDist)
8: end if
9: {comentario: sección cuando no es posible con los cambio de heurística e incremento de
   promedio que la ruta llegue a su destino}
10:
11: if Heurist  $\geq$  800  $\vee$  promDist  $\geq$  8 then
12:   —printf—(error(PROGRAMA TERMINADO NO ENCOTRO RUTA))
13: end if
14:
15: return true
```

---

3.0.1.12. Sección 15. Visualización y almacenamiento de ruta eficaz, eficiente y evasiva de obstáculos: Como sección final se visualiza el plan de ruta eficaz, eficiente y evasiva de colisiones con obstáculos, que satisface los criterios del algoritmo de búsqueda planteado y los objetivos propuestos. A continuación el algoritmo que expone el resultado final y los resultados en Figura 5.10..

---

**Algorithm 15** Visualización y almacenamiento de ruta eficiente y segura

---

**Require:** ENTRADA I = Imagen de entrada

**Require:** Gx = Copia de vector Ux, vector de centroides de teselaciones.

**Require:** Gy = Copia de vector Uy, vector de centroides de teselaciones.

**Require:** iniciox

**Require:** inicioy

**Require:** finx

**Require:** finy

**Require:** contador = variable de almacenamiento temporal.

**Require:** vtx Vector de almacenamiento de trayectoria de la recta.

**Require:** vty Vector de almacenamiento de trayectoria de la recta.

**Require:** vtxdef Vector de almacenamiento de centroides cercanos a la recta definitivos.

**Require:** vtydef Vector de almacenamiento de centroides cercanos a la recta definitivos.

**Require:** SALIDA S = Imagen de salida

1: I(vtxdef, vtydef) = '\*'

2: S=I

3: —printf—(S)

4: S=[*visu<sub>dist</sub><sub>x</sub> visu<sub>dist</sub><sub>y</sub>*]

5: —printf—(S)

6: —printf—(FIN)

7: **return true**

---

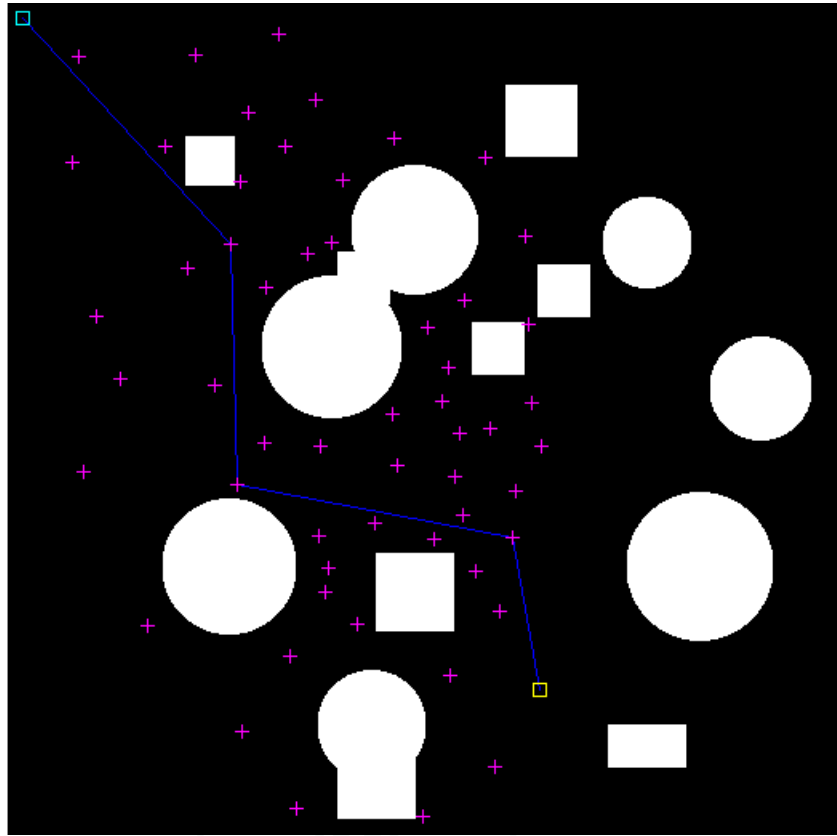


Figura 5.10: Visualización y almacenamiento de ruta eficaz, eficiente y evasiva de obstáculos.  
ej: heurística=300píxeles, 1\*promedio. Sección 15.

## 4. ANÁLISIS DE RESULTADOS

Con el objetivo de analizar los resultados obtenidos, es necesario comparar los resultados entre varios aspectos importantes; con ello delimitamos el alcance del algoritmo, sus posibles desarrollos, y sus posibles aplicaciones. Estos aspectos son:

- ❖ Cantidad de obstáculos.
- ❖ Distancia de recorrido.
- ❖ Utilización de un solo obstáculo en todo el entorno en varios tamaños.
- ❖ Tiempos de ejecución.
- ❖ Tiempos de ejecución parcial.
- ❖ Comparación de aspectos con otro algoritmo de búsqueda de ruta.
- ❖ Cantidad de distancia en pixeles de puntos adyacentes a la recta (Heurística).
- ❖ Incremento de promedio de distancia como filtro y reductor de tiempos de ejecución.
- ❖ Eficiencia en la elección de ruta por distancia.

A continuación las conclusiones y evaluaciones de estos aspectos que determinaran el potencial del algoritmo.

### 4.1. CANTIDAD DE OBSTÁCULOS

La cantidad de obstáculos extiende el tiempo de ejecución considerablemente y dificulta los trayectos dependiendo de la posición de los punto de partida y llegada, ya que requiere de un aumento en los puntos de desplazamiento (heurística) y en la restricción de distancia promedio. Pero el algoritmo presenta respuesta ante la dificultad y traza la ruta.

## **4.2. DISTANCIA DE RECORRIDO**

Se ubican puntos de partida y de llegada a distancias fijas de recorridos, para evaluar los tiempos de desempeño del algoritmo, en la selección de centroides de ubicación distinta entre adyacentes(laterales) de filas y de columnas a la recta. Estos valores de distancia pueden ser:180, 360, 540, 720 pixeles en diagonal. El algoritmo por medio del trazado obtiene la ruta sin atravesar obstáculos, lo cual lo hace eficaz; y también por evaluación de distancias, selecciona la línea recta hacia los puntos que más lo acercan al punto de llegada. Estas dos consideraciones las realiza de forma óptima, con la dificultad de lo engorroso del recorrido, requerirá más tiempo y ciclos en procesamiento.

## **4.3. UTILIZACIÓN DE UN SOLO OBSTÁCULO EN TODO EL ENTORNO EN VARIOS TAMAÑOS**

Debido a que el algoritmo está diseñado a partir de la ubicación de los obstáculos y su centro de masa, no tiene dificultad para desplegar los puntos medios hacia el contorno, siempre que sea suficiente espacio para el desplazamiento(debe ser mayor a un píxel en línea recta), lo cual es suficiente para el recorrido que se necesite en todo el entorno disponible, siempre habrán puntos adyacentes(laterales) a la recta y dos trayectorias, cuya distancia evaluará el algoritmo buscando cuál es la más corta entre los puntos de partida y de llegada.

## **4.4. TIEMPOS DE EJECUCIÓN**

Como se ha mencionado, los tiempos de procesamiento dependen de la máquina computacional. El algoritmo desarrollado se diseñó para acortar estos tiempos, por medio de la no repetición de coordenadas en la ubicación de puntos; en la selección de puntos necesarios; y en la aplicación de filtros de distancia de trayectorias. con el fin que ejecute lo esencial, pero todo esto sujeto a la ubicación de los puntos de partida y llegada en cada caso.

#### **4.5. TIEMPOS DE EJECUCIÓN PARCIAL**

la visualización de los procesos del algoritmo requiere bastante tiempo, lo cual es necesario para la ubicación de los puntos de partida y llegada, y evaluar la eficacia de la ruta, y la eficiencia del recorrido. El proceso de recorrido de las trayectorias punto a punto sin atravesar obstáculos, requiere una gran cantidad de ciclos, pero es absolutamente necesario para obtener una ruta segura.

Al igual de necesario, el proceso de teselación es indispensable y también requiere una gran cantidad de ciclos. Además de ser el proceso que más requiere tiempo de ejecución.

#### **4.6. COMPARACIÓN DE ASPECTOS CON OTRO ALGORITMO DE BÚSQUEDA DE RUTA**

Debido a que es un algoritmo que conoce la posición de los obstáculos, tiene un desarrollo parecido al algoritmo  $A^*$ [5] ya que enfoca su recorrido hacia un objetivo fijo, para el caso del algoritmo planteado, se rige por una recta entre puntos de partida y llegada. Con la cual establece un trayectoria idónea. Otros algoritmos estiman el costo de desplazamiento y con ello despliegan los puntos de recorrido más eficientes, pero para ello requieren de funciones heurísticas que establecen los menores costos, por ello requieren ciclos de procesamiento extensos y de información experimental o empírica respecto al entorno. Como resultado obtienen trayectorias más seguras y eficientes, pero con respecto al algoritmo propuesto, que requiere de procesos menos extensos, se obtuvieron resultados equiparables en cuanto a eficacia, además que no necesita extensos bancos de memoria para guardar datos de recorrido y rutas fallidas para descartar.

#### **4.7. CANTIDAD DE DISTANCIA EN PÍXELES DE PUNTOS ADYACENTES A LA RECTA (HEURÍSTICA)**

Quizá una de las limitaciones primarias durante el desarrollo del algoritmo, es el número de puntos disponibles para el desplazamiento. Los cuales son dependientes del valor de la

heurística, ya que decide que puntos NO coincidentes entre columnas y filas, a una distancia establecida por debajo de su valor, harán parte del trayecto eficaz y eficiente. La finalidad del procesos es obtener los puntos mas dispersos posibles, y lograr una reducción en los tiempos de ejecución en la búsqueda de ruta eficaz. Pero debido a la dificultad de los trayectos en cada caso, este debe aumentar, y por ende retomar otra vez el proceso, desde el despliegue de puntos adyacentes hasta lograr que la ruta llegue a su destino. Estas razones identifican a esta particularidad del algoritmo como la sección que realiza la optimización del recorrido, por que despliega los puntos estrictamente necesarios para establecer trayectorias rectas extensas hacia los puntos cercanos al punto de llegada o meta.

#### **4.8. INCREMENTO DE PROMEDIO DE DISTANCIA COMO FILTRO Y REDUCTOR DE TIEMPOS DE EJECUCIÓN**

Con el fin de obtener menores tiempos de procesamiento, en aquellos casos en que los recorridos son cortos, se implemento la utilización del promedio de distancias entre todos los puntos, como valor limite de trayectorias entre puntos, ya que puede ser útil para agilizar el procesamiento. Esta distancia, se establece con la utilización de espacios métricos aplicados a unidades de imagen, que son pixeles, con la utilización de la distancia euclidiana que es aplicable a este tipo de entornos discretos.

Este valor se incrementara por el producto del promedio, por un valor incremental en una unidad, en cada ciclo que no encuentre una ruta eficaz, hasta lograrlo.

#### **4.9. EFICIENCIA EN LA ELECCIÓN DE RUTA POR DISTANCIA**

Con la finalidad de determinar la elección de ruta eficiente, se expondrá un ejemplo de ruta para corroborar las distancias seleccionas y el resultado gráficamente. A continuación la tabla de datos obtenida:

#### 4.10. TABLA DE DISTANCIA ÓPTIMA DE EJEMPLO DE RUTA

Las columnas **vect\_res\_x\_def** y **vect\_res\_y\_def** representan los vectores donde se encuentran almacenados los puntos adyacentes a la recta seleccionados como opción de tránsito de ruta. La columna de **Distancias** representa la distancia entre las coordenadas respectivas y el punto final o de llegada.

Vemos que las coordenadas seleccionadas corresponden a las subrayadas en las tablas con el orden del ítem, de mayor a menor, de la siguiente manera: 1, 9, 19, 38, 44, 43 y 57. Esto lo podemos corroborar en la gráfica o figura 6.1 y 6.2, que se presenta después de las tablas; en ella aparecen también las coordenadas en cada caso, lo que concluye que toma el trayecto que más lo acerca al punto final.



LOS LIBERTADORES  
FUNDACIÓN UNIVERSITARIA

Tablas 1: Tabla de eficiencia de ejemplo de ruta

Item	vect_res_x_def	vect_res_y_def	Distancias (pixeles)
<b><u>1</u></b>	<b><u>10</u></b>	<b><u>10</u></b>	<b><u>529</u></b>
2	170	20	406
3	118	33	432
4	45	34	486
5	193	61	360
6	151	69	383
7	242	85	310
8	99	90	409
<b><u>9</u></b>	<b><u>174</u></b>	<b><u>90</u></b>	<b><u>352</u></b>
10	299	97	269
11	41	100	452
12	210	111	311
13	146	112	359
14	324	146	214
15	203	150	290
16	140	151	341
17	188	157	298
18	113	166	357
<b><u>19</u></b>	<b><u>162</u></b>	<b><u>178</u></b>	<b><u>308</u></b>
20	286	186	205
21	56	196	397
22	326	201	167
23	263	203	210
24	276	228	185
25	71	235	371
26	130	239	313
27	272	249	178
28	328	250	130

Tablas 2: Tabla de eficiencia de ejemplo de ruta

Item	vect_res_x_def	vect_res_y_def	Distancias (pixeles)
29	241	257	202
30	302	266	143
31	283	269	159
32	161	275	274
33	196	277	239
34	334	277	110
35	244	289	190
36	48	293	383
37	280	296	153
<b><u>38</u></b>	<b><u>144</u></b>	<b><u>301</u></b>	<b><u>286</u></b>
39	318	305	114
40	285	320	144
41	230	325	199
42	195	333	234
<b><u>43</u></b>	<b><u>316</u></b>	<b><u>334</u></b>	<b><u>113</u></b>
<b><u>44</u></b>	<b><u>267</u></b>	<b><u>335</u></b>	<b><u>162</u></b>
45	201	353	228
46	293	355	137
47	199	368	232
48	308	380	129
49	219	388	217
50	88	389	345
51	177	408	262
52	277	420	175
53	147	455	307
54	305	477	190
55	181	503	300
56	260	508	243
<b><u>57</u></b>	<b><u>429</u></b>	<b><u>333</u></b>	<b><u>0</u></b>

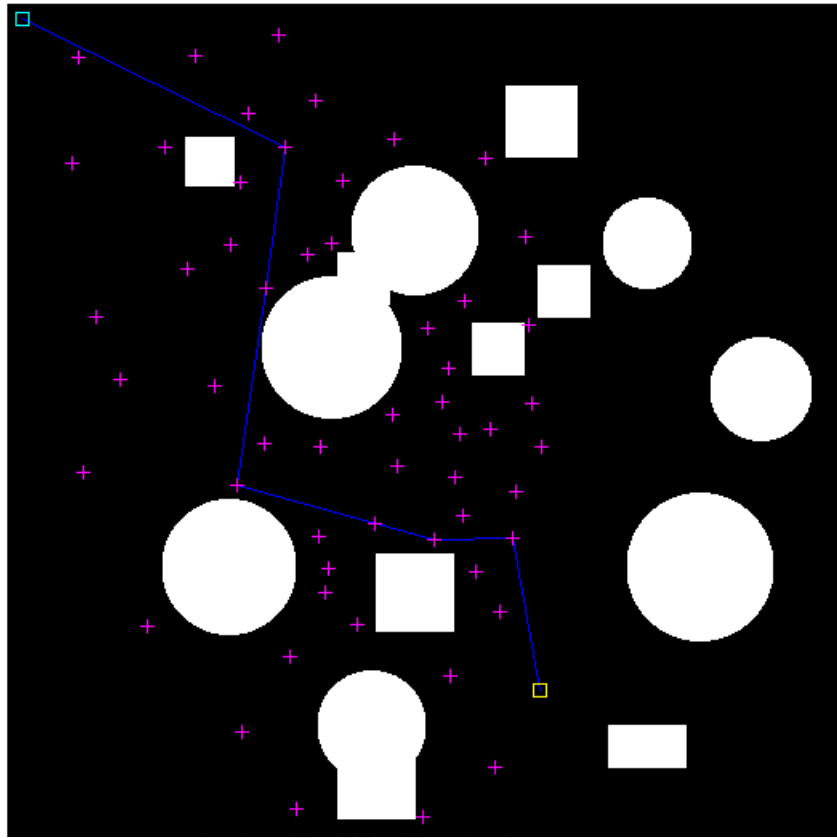


Figura 6.1: Gráfica que representa los puntos seleccionados para la ruta por distancia

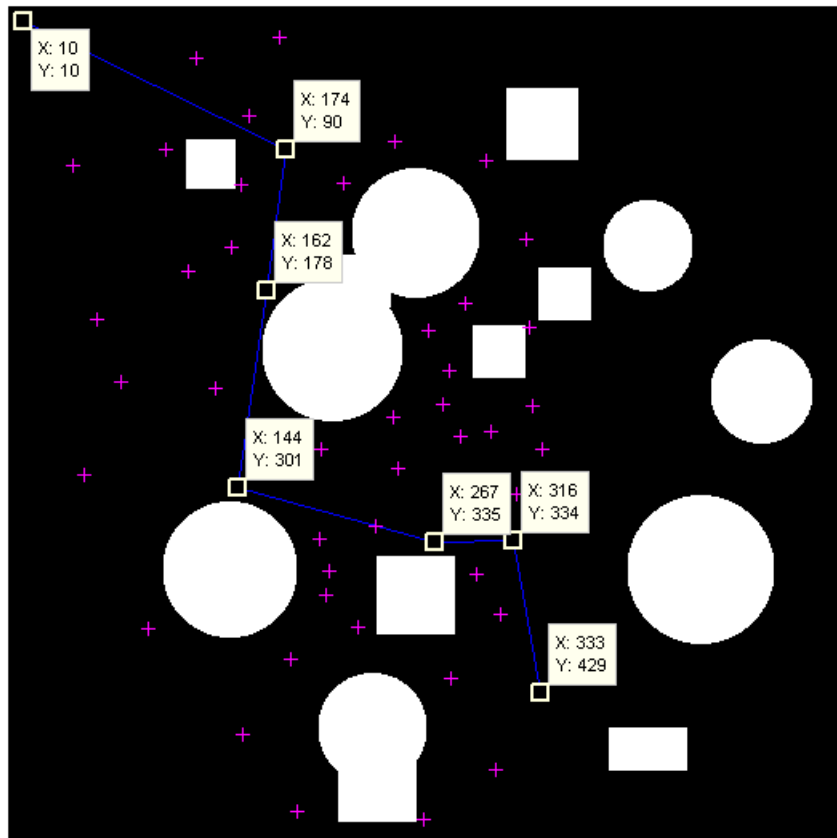


Figura 6.2: Gráfica que representa la elección de ruta por distancia

## 5. CONCLUSIONES Y TRABAJO FUTURO

Sin duda un factor determinante en la optimización de ruta, es la utilización de heurística. Pero al hacerlo, se interpone una restricción en el desarrollo del algoritmo de búsqueda, ya que la elección de los puntos adyacentes (laterales) a la recta puede descartar puntos que fuesen muy útiles para la ruta, pero que debido a la condicional de que sean distantes un determinado valor en ambos ejes a la recta; o sea cual sea, la condicional que se elija, se descartaran puntos de desplazamiento importantes que incrementarían la optimización de la ruta.

Para trabajos futuros, se podría plantear el reemplazo de esta heurística por una función matemática de optimización adaptativa<sup>\*</sup>; una vez ubicados los puntos de partida y de llegada se desarrolle la recolección de parámetro de esa función y así determinar con bastante certeza una ruta optima.

Como se menciona en los resultados, los tiempos de ejecución son una característica propia de cada algoritmo dada su extensión en procesamiento o en código. En el algoritmo desarrollado de búsqueda de ruta, los tiempos son bastante extensos, más puntualmente, en el reconocimiento del entorno con la ubicación de los puntos de origen de las teselaciones y las teselaciones propiamente dichas. No obstante, son procesos necesarios para asegurar un espacio suficiente para el desplazamiento, y este tiempo es también dependiente de las capacidades de la máquina subyacente.

Es importante, en trabajos futuros, encontrar otro tipo de instrumentos de medida de procesos de ejecución que no resulten influenciados por los factores antes mencionados. Una alternativa podría ser utilizando la información de entrada, de forma controlada, específica y cuantificada, analizando los resultados en cada caso y determinar la solución para agilizar el proceso global o los procesos parciales. Otra forma es reducir la extensión de ejecución de operaciones cuando el trazado de ruta lo permita.

Una aclaración importante, a partir del glosario utilizado en el ámbito de generación de algoritmos de búsqueda de rutas, es que la solución encontrada con este algoritmo de búsqueda de

---

<sup>\*</sup>Por decir un ejemplo

ruta, es una solución *sub-óptima*. Puesto que la ruta seleccionada, evaluada visualmente por el observador, lograría determinar una ruta ideal, y en cuyo caso el algoritmo no determino detalles importante, detalles que no fueron especificados ni condicionados por que prolongarían ejecuciones o descartarían información valiosa en casos específicos. De modo que esta clasificación esta supeditada a la percepción humana, por lo cual se eligió también un entorno discreto que valida la aceptación dentro de unos limites.



LOS LIBERTADORES  
FUNDACIÓN UNIVERSITARIA

## 6. REFERENCIAS Y BIBLIOGRAFÍA

- [1 ] OSCAR, Penagos. *Diseño y simulación de un algoritmo de reconocimiento de entorno robótico basado en descomposición del plano en teselaciones usando frentes de onda con rombos* . Proyecto de grado de Ingeniero Electrónico. Bogotá. Colombia: Fundación Universitaria los libertadores. 2016.
- [2 ] BHAPTACHARIA, Subhrajit. *Topological and geometric techniques in graph search-based robot planning* . Estado Unidos: Universidad de Pensilvania. 2012.
- [3 ] PREPARATA, Franco and SHAMOS, Michael . *Computacional Geometry: An introduction* . pag 204-220. 1985.
- [4 ] EDSGER, W. Dijkstra. *A note on two problems in connexion with graphs. Numerische Mathe- matik* . pag 1:269-271. 1959.
- [5 ] W. ZENG, R. L. CHURCH *Finding shortest paths on real road networks: the case for A\** . 08 Jun 2009.
- [6 ] HANSEN Eric A. and ZHOU Rong. *Anytime heuristic search. Journal of Artificial Intelligence Research (JAIR)* . pag 28:267-297. 2007.
- [7 ] STENTZ, A. *The focussed D\* algorithm for real-time replanning. In Proceedings of the Interna- tional Joint Conference on Artificial Intelligence (IJCAI)* . pag 1652-1659. 1995.
- [8 ] LIKHACHEV, Maxim and STENTZ, Anthony . *R\* search. In Proceedings of the Na- tional Conference on Artificial Intelligence (AAAI)* . 2008.
- [9 ] HART, P. E. NILSSON, N. J. and Raphael, B. *A formal basis for the heuristic determi- nation of minimum cost paths. IEEE Transactions on Systems. Science. and Cybernetics* . SSC-4(2):pag 100-107. 1968.
- [10 ] MONTEMERLO, Michael and THRUN, Sebastian . *FastSLAM A Scalable Method for the Simultaneous Localization and Mapping Problem in Robotics* . pag 1-2. 2007.
- [11 ] RIISGAARD, Søren and MORTEN, Rufus Blas *SLAM for Dummies* . pag 6,16,19-25.
- [12 ] DURRANT-WHYTE, John J Leonard *Mobile robot localization by tracking geometric beacons* .
- [13 ] CHEESMAN, Smith, Self, *Estimating uncertain spatial relationships in robotics* .
- [14 ] ZUNINO *SLAM in realistic environments* .
- [15 ] ROY *Foundations of state estimation* .
- [16 ] WELCH, Bishop *An introduction to the Kalman Filter* .
- [17 ] MUNKRE James. *Topology* . pag 264-269, 2000.

- [18] B. LIU, *Intelligent Route Finding: Combining Knowledge, Cases and An Efficient Search Algorithm*, in 12th European Conference on Artificial Intelligence, 1996, pp. 1–5.
- [19] X. CAO, L. Chen, G. Cong, and X. Xiao, *Keyword-aware Optimal Route Search*, VLDB, vol. 5, no. 11, pp. 1136–1147, 2012.
- [20] M. Latendresse, M. Krummenacker, and P. D. Karp, *Optimal metabolic route search based on atom mappings*, Bioinformatics, vol. 30, no. 14, pp. 2043–2050, 2014.
- [21] C. Y. Hsiao, Z. L. Li, and C. S. Chiu, *A diamond search algorithm of travel route planning*, in Proceedings - 2012 International Symposium on Computer, Consumer and Control, IS3C 2012, 2012, pp. 258–261.
- [22] N. D. Pham and H. Choo, *Energy efficient expanding ring search for route discovery in MANETs*, in IEEE International Conference on Communications, 2008, pp. 3002–3006.
- [23] H. Dubois-Ferriere, M. Grossglauser, and M. Vetterli, *Age matters: efficient route discovery in mobile ad hoc networks using encounter ages*, in Proceedings ACM MobiHoc'03 on Mobile ad hoc networking, 2003, pp. 257–266.
- [24] J.-F. Cordeau, G. Laporte, and a Mercier, *Improved tabu search algorithm for the handling of route duration constraints in vehicle routing problems with time windows*, J. Oper. Res. Soc., vol. 55, no. 5, pp. 542–546, 2004.
- [25] V. Schmid, *Hybrid large neighborhood search for the bus rapid transit route design problem*, Eur. J. Oper. Res., vol. 238, no. 2, pp. 427–437, 2014.
- [26] B. A. Tolson and C. A. Shoemaker, *Dynamically dimensioned search algorithm for computationally efficient watershed model calibration*, Water Resour. Res., vol. 43, no. 1, 2007.
- [27] Y. KANZA, E. Safra, Y. Doytsher, and Y. Sagiv, *Heuristic algorithms for route-search queries over geographical data*, in Proceedings of the 16th ACM SIGSPATIAL international conference on Advances in geographic information systems - GIS '08, 2008, p. 1.
- [28] X. JING and L. P. Chau, *An efficient three-step search algorithm for block motion estimation*, IEEE Trans. Multimed., vol. 6, no. 3, pp. 435–438, 2004.
- [29] Y. NAGATA and O. Bräysy, *A powerful route minimization heuristic for the vehicle routing problem with time windows*, Oper. Res. Lett., vol. 37, no. 5, pp. 333–338, 2009.
- [30] M. H. Baaj and H. S. Mahmassani, *Hybrid route generation heuristic algorithm for the design of transit networks*, Transp. Res. Part C, vol. 3, no. 1, pp. 31–50, 1995.
- [31] R. HUANG, *A schedule-based pathfinding algorithm for transit networks using pattern first search*, Geoinformatica, vol. 11, no. 2, pp. 269–285, 2007.
- [32] R. J. Szczerba, P. Galkowski, I. S. Glicktein, and N. Ternullo, *Robust algorithm for real-time route planning*, Aerosp. Electron. Syst. IEEE Trans., vol. 36, no. 3, pp. 869–878, 2000.
- [33] GALLO, G. and PALLOTTINO, S., *Shortest path methods: a unifying approach. Mat-*

- hematical Programming Study* ., 26, pp. 38–64, 1986.
- [34 ] CHERKASSKY, B.V., GOLDBERG, A.V. and RADZIK, T. *Shortest paths algorithms: theory and experimental evaluation. Mathematical Programming: Series A and B* ., 73, pp. 129–174, 1996,
- [35 ] ZHAN, F.B. and NOON, C.E., *Shortest path algorithms: an evaluation using real road networks. Transportation Science* ., 32, pp. 65–73, 1998.
- [36 ] GOLDEN, L.B. and BALL, M., *Shortest paths with Euclidean distance: an exploratory model. Networks* ., 8, pp. 297–314, 1978.
- [37 ] SHEKHAR, S., COYLE, M. and KOHLI, A., *Path computation algorithms for advanced traveler information system. In Proceeding of the International Conference on Date Engineering (IEEE Computer Society)* . Available online at: [http://www.spatial.cs.umn.edu/paper\\_list.html](http://www.spatial.cs.umn.edu/paper_list.html) (accessed 7 September 2006) , 1993,.
- [38 ] SHEKHAR, S. and FETTERER, A., *Path computation in advanced traveler information systems* . In Proceeding 9th International IEEE Conference on Intelligent Transportation Systems Available online at: [http://www.spatial.cs.umn.edu/paper\\_list.html](http://www.spatial.cs.umn.edu/paper_list.html) (accessed 7 September 2006) , 1996,.
- [39 ] BELLMAN, R., *On a routing problem. Quarterly of Applied Mathematics* ., 16, pp. 87–90, 1958,.
- [40 ] HART, E.P., NILSSON, N.J. and RAPHAEL, B., *A formal basis for the heuristic determination of minimum cost paths* . IEEE Transactions on System Science and Cybernetics, 4, pp. 100–107, 1968,.

## 7. ANEXOS

### 7.1. CÓDIGO DE ALGORITMO DE BÚSQUEDA PROPUESTO COMPILADO EN MATLAB 2013B

A continuación se mostrarán los algoritmos simulados en Matlab, que demostraran el funcionamiento del algoritmo. El orden de ejecución se describe a continuación:

1. Director\_búsqueda\_IG\_3
2. Tesela\_romb\_IG\_definitivo\_3
3. Búsqueda\_IG\_definitiva\_3

Únicamente ubicando todos lo archivos (.m) en la carpeta de programas del entorno **Matlab 2013b** y compilando el archivo [1.] con los datos que solicita el programa.

#### 7.1.1. *Director\_búsqueda\_IG\_3*

```

1 %%%%%%%%%%%%%%%%%%%%%%%%%%%%%%%%%%%%%%%%%%%%%%%%%%%%%%%%%%%%%%%%%%%%%%%%%
2 %IMPLEMENTACION Y COMPROBACION DE ALGORITMO DE BUSQUEDA DE RUTA EFICAZ
3 %Y EFICIENTE CON FRENTE DE ONDA TIPO ROMBO.
4 %FUNDACION UNIVERSITARIA LOS LIBERTADORES
5 %Facultad de ingenieria
6 %Ingenieria Electronica
7 %+++++
8 %CREADO POR: Ignacio Gutierrez Gomez 14/05/2017
9 %+++++
10 %*****
11 %FUNCION QUE DIRIGE LA UTILIZACION Y EJECUCION DE LAS OTRAS FUNCIONES
12 %PARA EL TRAZADO DE RUTA EFICAZ Y EFICIENTE.
13 %*****
14
15 clear all
16 close all, clc
17 tic
18 %formato de coordenadas:
19 %function Busqueda_IG_definitiva( PosPartX,PosPartY,PosLlegX,PosLlegY);
20 %PosPartX:coordenadas en x del punto de partida entre (20-500)
21 %PosPartY:coordenadas en Y del punto de partida entre (20-500)
22 %PosLlegX:coordenadas en x del punto de llegada entre (20-500)
23 %PosLlegY:coordenadas en y del punto de llegada entre (20-500)
24 %Valores menores o mayores que (20-500) se ubicaran en los limites
25 %del contorno, y no contara con espacio de giro el robot.
26 %(20 > x < 500)
27 %(20 > y < 500)
28 %por defecto X y Y aleatorio.
29 %-----
30 %Heurist:variable de distancia de la recta a los centroides cercanos en
31 %columnas o filas en pixeles.
32 %valor por defecto=200 pero se puede aumentar o disminuir entre
33 %(20< Heurist <500). entre mas centroides, mas demorado.
34 %-----
35 %los valores de PosPartX, PosPartY, PosLlegX, y PosLlegY "DEBEN SER
36 %ENTEROS ENTRE 1 Y 519" y no deben ser los mismo ya que no funcionara
37 %el algoritmo.
38
39 %%%%%%%%%%%%%%%%%%%%%%%%%%%%%%%%%%%%%%%%%%%%%%%%%%%%%%%%%%%%%%%%%%%%%%%%%
40 % conversion de marcadores de grafica
41 %%%%%%%%%%%%%%%%%%%%%%%%%%%%%%%%%%%%%%%%%%%%%%%%%%%%%%%%%%%%%%%%%%%%%%%%%
42 % Color: r (Red), g(Green), b(Blue), c(Cyan), m
43 % (Magenta), y (Yellow), k (black), w (White)
44
45 % Marcadores: +, o, *, ., x, s (square), d
46 % (diamante), ^ v > o < (triángulos en distinto
47 % sentido), p (estrella 5 puntas, pentagram), h
48 % (estrella 6 puntas, hexagram)
49 %%%%%%%%%%%%%%%%%%%%%%%%%%%%%%%%%%%%%%%%%%%%%%%%%%%%%%%%%%%%%%%%%%%%%%%%%
50
51
52 global PosPartX;
53 global PosPartY;
54 global PosLlegX;
55 global PosLlegY;
56 global const_prom
57
58 %+++++
59 %asignacion de coordenadas por parte del ejecutor del programa
60 %+++++
61 PosPartX=10
62 PosPartY=10
63 PosLlegX=333
64 PosLlegY=429

```



```

129         mem2_i=1;
130
131         %visualizacion de punto partida y llegada
132         plot(PosPartX,PosPartY,'sc')
133
134         plot(PosLLegX,PosLLegY,'sy')
135
136         %variable de distancia comparable en la primera seccion
137         distanciast=1000;
138         memoria_dist=1000; %variable de memoria de distancia comparable
139         %a gran distancia
140         visu_dist_x=0;
141         visu_dist_y=0;
142
143         %variable de conteo en tiempo en caso que no encuentre ruta hacia el
144         %punto de llegada
145         b=0;
146         %%%%%%%%%%%%%%%%%%%%%%%%%%%%%%%%%%%%%%%%%%%%%%%%%%%%%%%%%%%%%%%%%%%%%%%%%
147         %MOTOR DE BUSQUEDA%%%%%%%%%%%%%%%%%%%%%%%%%%%%%%%%%%%%%%%%%%%%%%%%%%%%%%%%%%%%%%%%%%%%%%%%
148         %%%%%%%%%%%%%%%%%%%%%%%%%%%%%%%%%%%%%%%%%%%%%%%%%%%%%%%%%%%%%%%%%%%%%%%%%
149         hold on
150         while(actual_y ~= fin_y || actual_x ~= fin_x)
151             %determina las distancias mas cortas al punto de llegada
152             % sin atravesar un obstaculo por medio de la matriz de unos y ceros
153             %%%"mat_hab_tr(i,j)"%%
154
155             for i = 1 : length(cop_vect_r_x_d)
156                 if(mat_hab_tr(mem_i,i) == 1)
157                     destino_x = cop_vect_r_x_d(i);
158                     destino_y = cop_vect_r_y_d(i);
159                     distanciast = sqrt((destino_x - fin_x)^2 + (destino_y -
fin_y)^2);
160
161                     if (distanciast < memoria_dist)
162                         %guarda la distancia menor en cada iteracion
163                         %hasta la ultima coordenda (X, Y)
164                         memoria_dist = distanciast;
165                         memoria_x = destino_x;
166                         memoria_y = destino_y;
167                         mem2_i=i;
168                     end
169                 end
170             end
171             %%%%%%%%%%%%%%%%%%%%%%%%%%%%%%%%%%%%%%%%%%%%%%%%%%%%%%%%%%%%%%%%%%%%%%%%%
172             %solucion en caso deque se encuentre en un ciclo
173             %en que la distancia mas corta se encuentre equidistante
174             %al punto de llegada y sea el punto vecino, y cuando
175             %se desplace alli y no pueda avanzar por obstaculo o
176             %no tener registrado trayectoria por ese punto
177             % se devuelva al anterior y que tiene la misma dificultad
178             mat_hab_tr(mem_i,mem2_i) = 0;
179             %%%%%%%%%%%%%%%%%%%%%%%%%%%%%%%%%%%%%%%%%%%%%%%%%%%%%%%%%%%%%%%%%%%%%%%%%
180             %guarda memoria del indice de fila en la matriz para puntos
181             %cercanos en esa fila
182             mem_i=mem2_i;
183             %%%%%%%%%%%%%%%%%%%%%%%%%%%%%%%%%%%%%%%%%%%%%%%%%%%%%%%%%%%%%%%%%%%%%%%%%
184             %VISUALIZACION DE RUTA EFICAZ Y EFICIENTE POR TRAZOS
185             %%%%%%%%%%%%%%%%%%%%%%%%%%%%%%%%%%%%%%%%%%%%%%%%%%%%%%%%%%%%%%%%%%%%%%%%%
186             plot([actual_x memoria_x],[actual_y memoria_y],'b')
187             %Almacenamiento de ruta eficaz y eficiente por trazos
188             %%%%%%%%%%%%%%%%%%%%%%%%%%%%%%%%%%%%%%%%%%%%%%%%%%%%%%%%%%%%%%%%%%%%%%%%%
189             visu_dist_x=[visu_dist_x [actual_x memoria_x]];
190             visu_dist_y=[visu_dist_y [actual_y memoria_y]];
191             %%%%%%%%%%%%%%%%%%%%%%%%%%%%%%%%%%%%%%%%%%%%%%%%%%%%%%%%%%%%%%%%%%%%%%%%%

```

```

192 %asignacion de nuevo trazado hasta llegar al punto de llegada
193 %#####
194 actual_x = memoria_x;
195 actual_y = memoria_y;
196 %:::::::::::::::::::::::::::::::::::::::::::::::::::::::::::::::::::
197 %Seccion en caso que no encuentre la ruta aumente la
198 %la heuristic y el nivel del promedio al
199 %multiplicarlo por la constante "const_prom" que
200 %incrementa en una unidad.
201 %;:::::::::::::::::::::::::::::::::::::::::::::::::::::::::::::::::::
202 if(b>1000 && actual_y ~= fin_y && actual_x ~= fin_x)
203 Heurist=Heurist+100
204 const_prom=const_prom+1
205 VEC_val=Busqueda_IG_definitiva_3
(PosPartX,PosPartY,PosLLegX,PosLLegY,Heurist);
206 b=0;
207 disp('%%%%%%%%%% CALCULANDO NUEVA TRAYECTORIA %%%%%%%%%%%'
%%%' )
208 disp('%%%%%%%%%% variando Heuristica y const_prom %%%%%%%%%%%'
%%%' )
209
210 end
211 %%%%%%%%%%%%%%%%%%%%%%%%%%%%%%%%%%%%%%%%%%%%%%%%%%%%%%%%%%%%%%%%%%%%%%%%%%
212 %seccion encaso de NO encontrar una ruta hacia el punto de
213 %de llegada con el maximo de heuristic e incremento de promedio
214 %de distancia,TERMINE TODOS LOS CICLOS Y EL PROGRAMA
215 %CON UN ERROR VOLUNTARIO.
216 %%%%%%%%%%%%%%%%%%%%%%%%%%
217 b=b+1
218 Heurist
219 const_prom
220 if (Heurist>= 800 || const_prom >= 8)
221
222     error('PROGRAMA TERMINADO% NO ENCOTRO RUTA %%)' )
223 end
224
225 end
226
227 %%%%%%%%%%%%%%%%%%%%%%%%%%%%%%%%%%%%%%%%%%%%%%%%%%%%%%%%%%%%%%%%%%%%%%%%%%
228 %almacenamiento de ruta eficiente como resultado del motor
229 %de busqueda
230 %%%%%%%%%%%%%%%%%%%%%%%%%%%%%%%%%%%%%%%%%%%%%%%%%%%%%%%%%%%%%%%%%%%%%%%%%%
231 visu_dist_x(visu_dist_x==0) = [];
232 visu_dist_y(visu_dist_y==0) = [];
233
234 %%%%%%%%%%%%%%%%%%%%%%%%%%%%%%%%%%%%%%%%%%%%%%%%%%%%%%%%%%%%%%%%%%%%%%%%%%
235 %Seccion para eliminar coordenadas repetidas
236
237 k=1;
238 n=length(visu_dist_x);
239 while k<=n
240     j=1;
241     while j<=n
242         if k~=j
243             if (visu_dist_x(k)==visu_dist_x(j) && visu_dist_y(k)==visu_dist_y
244 (j))
245                 visu_dist_x(j)=[];
246                 visu_dist_y(j)=[];
247                 n=length(visu_dist_x);
248                 end
249             end
250             j=j+1;
251         end
252     end
253     k=k+1;

```

```

252 end
253
254 %%%%%%%%%%%%%%%%%%%%%%%%%%%%%%%%%%%%%%%%%%%%%%%%%%%%%%%%%%%%%%%%%%%%%%%%%
255 %%%%%%%%%%%%%%%%%%%%%%%%%%%%%%%%%%%%%%%%%%%%%%%%%%%%%%%%%%%%%%%%%%%%%%%%%
256 %VISUALIZACION DE DE RUTA EFICAZ Y EFICEINTE
257 %*****
258
259 figure(14)
260 imshow(I)
261 hold on
262 plot(visu_dist_x,visu_dist_y,'b')
263 plot(vect_res_y_def,vect_res_x_def,'+m')
264 plot(PosPartX,PosPartY,'sc')
265
266 plot(PosLLegX,PosLLegY,'sy')
267
268 xlabel('%%TRAYECTORIA EFICIENTE %% FIN %%')
269
270 %end
271 %%%%%%%%%%%%%%%%%%%%%%%%%%%%%%%%%%%%%%%%%%%%%%%%%%%%%%%%%%%%%%%%%%%%%%%%%
272 disp('%%%%%%%% TRAYECTORIA EFICIENTE %%%%%%%%%')
273 disp('%%%%%%%% FIN %%%%%%%%%')
274 disp('%%%%%%%%')
275 %%%%%%%%%%%%%%%%%%%%%%%%%%%%%%%%%%%%%%%%%%%%%%%%%%%%%%%%%%%%%%%%%%%%%%%%%
276 %%%%%%%%%%%%%%%%%%%%%%%%%%%%%%%%%%%%%%%%%%%%%%%%%%%%%%%%%%%%%%%%%%%%%%%%%
277 %%%%%%%%%%%%%%%%%%%%%%%%%%%%%%%%%%%%%%%%%%%%%%%%%%%%%%%%%%%%%%%%%%%%%%%%%
278 %%%%%%%%%%%%%%%%%%%%%%%%%%%%%%%%%%%%%%%%%%%%%%%%%%%%%%%%%%%%%%%%%%%%%%%%%
279 %%%%%%%%%%%%%%%%%%%%%%%%%%%%%%%%%%%%%%%%%%%%%%%%%%%%%%%%%%%%%%%%%%%%%%%%% FIN DE ALGORITMO %%%%%%%%%
280 %:
281
282 toc

```



LOS LIBERTADORES  
FUNDACIÓN UNIVERSITARIA

7.1.2. *Tesela\_romb\_IG\_definitivo\_3*



LOS LIBERTADORES  
FUNDACIÓN UNIVERSITARIA

```

1  %-----
2  %Tomado del proyectos de grado:
3  %Diseño y simulación de un algoritmo de reconocimiento de entorno robótico
4  %basado en descomposición del plano en teselaciones usando frentes de onda con
   triángulos
5  %Por:OSCAR, Penagos
6  %-----
7  %Para implementación y comprobación de algoritmo de búsqueda de ruta eficaz
8  %y eficiente con frentes de onda tipo rombo.
9  %FUNDACION UNIVERSITARIA LOS LIBERTADORES
10 %Facultad de ingeniería
11 %Ingeniería Electronica
12 %+++++
13 %Modificado por: Ignacio Gutierrez Gomez 14/05/2017
14 %+++++
15 %*****
16 %FUNCION DE GENERACION DE PUNTOS DE REFERENCIA, TESELACION,
17 %LIMITE DE TESELACIONES Y UBICACION DE PUNTOS DEFINITIVOS PARA
18 %TRAZADO DE RUTA EFICAZ Y EFICIENTE.
19 %*****
20
21 function [centx,centy]=Tesela_romb_IG_definitivo_3()
22
23 %clear all, close all
24
25 global tesel
26 porcentaje = 100;
27 porcentaje = porcentaje / 100;
28 %%%%%%%%%% Inicialización de variables y lectura del entorno %%%%%%%%%%
29 I = imread('I.png'); % Entorno
30 [f, c] = size(I); % Lectura del tamaño del entorno
31 [L, num]= bwlabel(I);
32
33 %-----
34 I_pro=zeros(f, c);
35 areas_obs=zeros(1,num);
36 conti = 0;
37 centx_obs=zeros(1,num);
38 centy_obs=zeros(1,num);
39 cont_ast_c=0;
40 %-----
41
42 figure(2)
43 imshow(I) % Grafica el entorno
44 hold on
45
46 if (num>0)
47
48     %buscar las secciones en blanco(centroides) de la imagen y las
49     cuenta
50         for i = 1 : f
51             for j = 1 : c
52                 if L(i,j) == 255
53                     conti = conti + 1;
54                 end
55             end
56         end
57         tesy = zeros(1,conti);
58         tesx = zeros(1,conti);
59         contt = 1;
60
61         %ubica la coordenadas de los pixeles en blanco
62

```

```

63         for k=1:num
64             for i = 1 : f
65                 for j = 1 : c
66                     if L(i,j) == 255
67                         tesx(1,contt) = i;
68                         tesy(1,contt) = j;
69                         contt = contt + 1;
70                     end
71                 end
72             end
73         end
74     end
75
76     %=====
77     % seccion de ubicacion de centro de masa en los obstaculos
78     %=====
79     tq_1 = 0;
80     M_1 = 0;
81     tq_2 = 0;
82     M_2 = 0;
83     cl=0;
84     o = ones(f,1);
85     p = ones(1,c);
86
87     for k=1:num
88         for i = 1:f
89             for j = 1 : c
90                 if L(i,j)==k
91                     tq_1 = i*dot(p,L(i,:))+tq_1;%sumatoria de
columnasa
92                     M_1 = dot(p,L(i,:))+M_1;
93                 end
94             end
95         end
96
97         for i = 1:f
98             for j = 1 : c
99                 if L(i,j)==k
100                     tq_2 = j*dot(o,L(:,j))+tq_2;%sumatoria de filas
101                     M_2 = dot(o,L(:,j))+M_2;
102                 end
103             end
104         end;
105
106         Cmx_1 = round(tq_1 / M_1);
107         Cmx_2 = round(tq_2 / M_2);
108         centx_obs(1,k)=Cmx_2;
109         centy_obs(1,k)=Cmx_1;
110
111         plot(Cmx_2,Cmx_1,'*m')
112
113
114         tq_1 = 0;
115         M_1 = 0;
116         tq_2 = 0;
117         M_2 = 0;
118         cl=0;
119     end
120
121     %=====
122     %-----
123     %seccion ubica el centro de distancia entre los centros de masa
124     %de los obstaculos
125     %-----

```



```

190         end
191
192         if((L(centy_obs(k) , centx_obs(k)+i) == k))
193             l_2=L(centy_obs(k) , centx_obs(k)+i +1);
194             limitx_obs_ej(1,(k*h)+1)= centy_obs(k);
195             limity_obs_ej(1,(k*h)+1)= centx_obs(k) + i;
196             index_c7=index_c7+1;
197
198         end
199
200
201         if (L(centy_obs(k) - i,centx_obs(k))== k )
202             l_3=L(centy_obs(k) - i - 1,centx_obs(k)) ;
203             limitx_obs_ej(1,(k*h)+2)= centy_obs(k) - i;
204             limity_obs_ej(1,(k*h)+2)= centx_obs(k);
205             index_c7=index_c7+1;
206
207         end
208
209         if(L(centy_obs(k),centx_obs(k)-i)== k )
210             l_4=L(centy_obs(k),centx_obs(k)-i- 1);
211             limitx_obs_ej(1,(k*h)+3)= centy_obs(k);
212             limity_obs_ej(1,(k*h)+3)= centx_obs(k) - i;
213             index_c7=index_c7+1;
214
215         end
216
217         i=i+1;
218
219         if((l_1+ l_2+ l_3+ l_4)==0 || centy_obs(k)+ i==520 ||
220 centy_obs(k)- i ==1 ||centx_obs(k)+ i==520 ||centx_obs(k)- i ==1)
221             condicion=false;
222         end
223     end
224
225     end
226
227     i=1;
228
229     %%%%%%%%%%%%%%%para diagonales
230     condicion=true;
231     while (condicion)
232         if (L(centy_obs(k)+i,centx_obs(k)+i)==k )
233             l_5=L(centy_obs(k)+i + 1,centx_obs(k)+i + 1);
234             limitx_obs_dia(1,(k*h))= centy_obs(k) + i;
235             limity_obs_dia(1,(k*h)) = centx_obs(k) + i;
236             index_c7=index_c7+1;
237
238         end
239         if (L(centy_obs(k)+i,centx_obs(k)-i)==k )
240             l_6=L(centy_obs(k)+i +1,centx_obs(k)-i- 1);
241             limitx_obs_dia(1,(k*h)+1)= centy_obs(k) + i;
242             limity_obs_dia(1,(k*h)+1) = centx_obs(k) - i;
243             index_c7=index_c7+1;
244
245         end
246         if (L(centy_obs(k)-i,centx_obs(k)-i)==k )
247             l_7=L(centy_obs(k)-i - 1,centx_obs(k)-i - 1);
248             limitx_obs_dia(1,(k*h)+2)= centy_obs(k) - i;
249             limity_obs_dia(1,(k*h)+2) = centx_obs(k)- i;
250             index_c7=index_c7+1;
251
252         end

```





```

377
378
379         if L(C_cy5(index_c5),C_cx5(index_c5)) == 0
380             index_c6=index_c6+1;
381             C_cx6(index_c6)=C_cx5(index_c5);
382             C_cy6(index_c6)=C_cy5(index_c5);
383             plot(C_cx6(index_c6),C_cy6(index_c6),'*w')
384             cont_ast_e=cont_ast_e+1;
385         end
386
387
388         if(i==index_c8-1)
389             condicion=false;
390         end
391         i=i+1;
392     end
393     i=1;
394
395     condicion=true;
396     while (condicion)
397         %%%%%%%%%%%%%%%%%%%%%%%%%%%%%%%%%%%%%%%%%%%%%%%%%%%%%%%%%%%%%%%%%%%%%%%%%puntos diagonales a las esquinas del entorno
398         index_c5=index_c5+1;
399         C_cx5(index_c5) = limity_obs_dia(i) + c;
400         C_cy5(index_c5)= limitx_obs_dia(i) + f;
401         C_cx5(index_c5)=round(C_cx5(index_c5)/2);
402         C_cy5(index_c5)=round(C_cy5(index_c5)/2);
403
404         if L(C_cy5(index_c5),C_cx5(index_c5)) == 0
405             index_c6=index_c6+1;
406             C_cx6(index_c6)=C_cx5(index_c5);
407             C_cy6(index_c6)=C_cy5(index_c5);
408             plot(C_cx6(index_c6),C_cy6(index_c6),'*c')
409             cont_ast_e=cont_ast_e+1;
410         end
411         i=i+1;
412         index_c5=index_c5+1;
413         C_cx5(index_c5)=limity_obs_dia(i) + 1;
414         C_cy5(index_c5)=limitx_obs_dia(i) + f;
415         C_cx5(index_c5)=round(C_cx5(index_c5)/2);
416         C_cy5(index_c5)=round(C_cy5(index_c5)/2);
417
418         if L(C_cy5(index_c5),C_cx5(index_c5)) == 0
419             index_c6=index_c6+1;
420             C_cx6(index_c6)=C_cx5(index_c5);
421             C_cy6(index_c6)=C_cy5(index_c5);
422             plot(C_cx6(index_c6),C_cy6(index_c6),'*c')
423             cont_ast_e=cont_ast_e+1;
424         end
425         i=i+1;
426         index_c5=index_c5+1;
427         C_cx5(index_c5)=limity_obs_dia(i) + 1;
428         C_cy5(index_c5)=limitx_obs_dia(i) + f;
429         C_cx5(index_c5)=round(C_cx5(index_c5)/2);
430         C_cy5(index_c5)=round(C_cy5(index_c5)/2);
431
432         if L(C_cy5(index_c5),C_cx5(index_c5)) == 0
433             index_c6=index_c6+1;
434             C_cx6(index_c6)=C_cx5(index_c5);
435             C_cy6(index_c6)=C_cy5(index_c5);
436             plot(C_cx6(index_c6),C_cy6(index_c6),'*c')
437             cont_ast_e=cont_ast_e+1;
438         end
439         i=i+1;
440     end

```





```

539 %+++++
540
541         count1 = round(count*porcentaje);
542
543
544         %%%% Ciclo para la expansión en frente de onda de cada
teselación %%%%%%
545         while m < count1 % Ciclo para confirmar la teselación del
espacio de configuración
546             for k = 1 : x-1 % Ciclo por columnas de las teselaciones
547                 for l = 1 : x-1 % Ciclo por filas de las teselaciones
548                     for j = 0 : cont % Contador j para definir el
tamaño de las teselaciones
549                         if tesv(C_cx7(l),C_cy7(k)) == 1 %
Condicional si es una teselación válida
550                             % Primer cuadrante
551                             yc = (C_cx7(l)) + j; % Incremento en Y
igual la posición en Y mas el conteo de j
552                             xc = (C_cy7(l)) + cont - j; % Incremento
en X igual a la posición en X mas el decremento de cont
553
554                             if yc >= c % Limitación en Y si
sobrepasa el entorno
555                                 yc = c; % Valor máximo de Y igual a
la última columna
556                             end
557                             if xc >= f % Limitación en X si
sobrepasa el entorno
558                                 xc = f; % Valor máximo de X igual a
la última fila
559                             end
560                             % Condicional para poder expandir el
frente de onda
561                             % Si la imagen original el píxel se
encuentra sobre el espacio de
562                             % configuración y en la imagen de salida
el píxel aum no
563                             % ha sido expandido por alguna teselación
564                             % if I(xc,yc) == 0 && tes(xc,yc) == 255
565                             %     tes(xc,yc) = coltes(l,k); % Define
la tonalidad del píxel dependiendo de la teselación correspondiente
566                             %     m = m + 1; % Aumenta el contador
de píxeles expandidos
567                             % if I(xc,yc) == 0 && tes(xc,yc) == 255
568                             %     tes(xc,yc) = coltes(l,k); % Define
la tonalidad del píxel dependiendo de la teselación correspondiente
569                             %     m = m + 1; % Aumenta el contador de
píxeles expandidos
570
571                             end
572                             % Segundo cuadrante
573                             yc = (C_cx7(l)) + j; % Incremento en Y
igual la posición en Y mas el conteo de j
574                             xc = (C_cy7(l)) - (cont - j); %
Incremento en X igual a la posición en X mas el incremento de cont
575
576                             if yc >= c % Limitación en Y si
sobrepasa la altura del entorno
577                                 yc = c; % Valor máximo de Y igual a
la última columna
578                             end
579                             if xc <= 1 % Limitación en X si
sobrepasa el entorno
580                                 xc = 1; % Valir mínimo de X igual a

```

```

la primera fila
581                                     end
582                                     % Condicional para poder expandir el
frente de onda
583                                     % Si la imagen original el picxel se
encuentra sobre el espacio de
584                                     % configuración y en la imagen de salida
el picxel aum no
585                                     % ha sido expandido por alguna teselación
586                                     if I(xc,yc) == 0 && tes(xc,yc) == 255
587                                     tes(xc,yc) = coltes(l,k); % Define
la tonalidad del picxel dependiendo de la teselación correspondiente
588                                     m = m + 1; % Aumenta el contador de
picseles expandidos
589                                     end
590                                     % Tercer cuadrante
591                                     yc = (C_cx7(l)) - j; % Incremento en Y
igual la posición en Y menos el conteo de j
592                                     xc = (C_cy7(l)) + cont - j; % Incremento
en X igual a la posición en X mas el decremento de cont
593
594                                     if yc <= 1 % Limitación en Y si
sobrepassa el entorno
595                                     yc = 1; % Valor mínimo de Y igual a
la primera columna
596                                     end
597                                     if xc >= f % Limitación en X si
sobrepassa el entorno
598                                     xc = f; % Valor máximo de X igual a
la última fila
599                                     end
600                                     % Condicional para poder expandir el
frente de onda
601                                     % Si la imagen original el picxel se
encuentra sobre el espacio de
602                                     % configuración y en la imagen de salida
el picxel aum no
603                                     % ha sido expandido por alguna teselación
604                                     if I(xc,yc) == 0 && tes(xc,yc) == 255
605                                     tes(xc,yc) = coltes(l,k); % Define
la tonalidad del picxel dependiendo de la teselación correspondiente
606                                     m = m + 1; % Aumenta el contador de
picseles expandidos
607                                     end
608                                     % Cuarto cuadrante
609                                     yc = (C_cx7(l)) - j; % Incremento en Y
igual la posición en Y menos el conteo de j
610                                     xc = (C_cy7(l)) - (cont - j); %
Incremento en X igual a la posición en X mas el incremento de cont
611
612                                     if yc <= 1 % Limitación en Y si
sobrepassa el entorno
613                                     yc = 1; % Valor mínimo de Y igual a
la primera columna
614                                     end
615                                     if xc <= 1 % Limitación en X si
sobrepassa el entorno
616                                     xc = 1; % Valir mínimo de X igual a
la primera fila
617                                     end
618                                     % Condicional para poder expandir el
frente de onda
619                                     % Si la imagen original el picxel se
encuentra sobre el espacio de

```





```

dividiendo 255 en la posición de cada teselación
719     while coltes(i,j) > 255 % Condicional paratonalidades superiores a 255
720         coltes(i,j) = coltes(i,j) - 255; % Se resta 255 hasta que sea menor
a 255
721     end
722     if coltes(i,j) == 255 % Si alguna teselación es igual a 255
723         coltes(i,j) = 1; % Se le impartirá una tonalidad de uno a esa
teselación
724     end
725     plot(px,py,'*r') % Graficará un asterisco rojo sobre el centro de
una teselación válida
726     tesv(px,py) = 1; % El punto sobre la matriz de teselaciones será
uno, indicando que es válida
727
728     end
729 end
730
731 count1 = round(count*porcentaje);
732 %%%%% Ciclo para la expansión en frente de onda de cada teselación %%%%%%
733 while m < count1 % Ciclo para confirmar la teselación del espacio de
configuración
734     for k = 1 : x-1 % Ciclo por columnas de las teselaciones
735         for l = 1 : x-1 % Ciclo por filas de las teselaciones
736             for j = 0 : cont % Contador j para definir el tamaño de las
teselaciones
737                 if tesv(C_cx_obs(l),C_cy_obs(l)) == 1 % Condicional si es
una teselación válida
738                     % Primer cuadrante
739                     yc = (C_cx_obs(l)) + j; % Incremento en Y igual la
posición en Y mas el conteo de j
740                     xc = (C_cy_obs(l)) + cont - j; % Incremento en X igual a
la posición en X mas el decremento de cont
741
742                     if yc >= c % Limitación en Y si sobrepasa el entorno
743                         yc = c; % Valor máximo de Y igual a la última columna
744                     end
745                     if xc >= f % Limitación en X si sobrepasa el entorno
746                         xc = f; % Valor máximo de X igual a la última fila
747                     end
748                     % Condicional para poder expandir el frente de onda
749                     % Si la imagen original el pixel se encuentra sobre el
espacio de
750                     % configuración y en la imagen de salida el pixel aun no
751                     % ha sido expandido por alguna teselación
752                     if I(xc,yc) == 0 && tes(xc,yc) == 255
753                         tes(xc,yc) = coltes(l,k); % Define la tonalidad del
pixel dependiendo de la teselación correspondiente
754                         m = m + 1; % Aumenta el contador de pixeles
expandidos
755                     end
756                     % Segundo cuadrante
757                     yc = (C_cx_obs(l)) + j; % Incremento en Y igual la
posición en Y mas el conteo de j
758                     xc = (C_cy_obs(l)) - (cont - j); % Incremento en X igual
a la posición en X mas el incremento de cont
759
760                     if yc >= c % Limitación en Y si sobrepasa la altura del
entorno
761                         yc = c; % Valor máximo de Y igual a la última columna
762                     end
763                     if xc <= 1 % Limitación en X si sobrepasa el entorno
764                         xc = 1; % Valir mínimo de X igual a la primera fila
765                     end
766

```

```

767             % Condicional para poder expandir el frente de onda
768             % Si la imagen original el píxel se encuentra sobre el
espacio de
769             % configuración y en la imagen de salida el píxel aun no
770             % ha sido expandido por alguna teselación
771             if I(xc,yc) == 0 && tes(xc,yc) == 255
772                 tes(xc,yc) = coltes(l,k); % Define la tonalidad del
píxel dependiendo de la teselación correspondiente
773                 m = m + 1; % Aumenta el contador de píxeles
expandidos
774             end
775             % Tercer cuadrante
776             yc = (C_cx_obs(l)) - j; % Incremento en Y igual la
posición en Y menos el conteo de j
777             xc = (C_cy_obs(l)) + cont - j; % Incremento en X igual a
la posición en X mas el decremento de cont
778
779             if yc <= 1 % Limitación en Y si sobrepasa el entorno
780                 yc = 1; % Valor mínimo de Y igual a la primera
columna
781             end
782             if xc >= f % Limitación en X si sobrepasa el entorno
783                 xc = f; % Valor máximo de X igual a la última fila
784             end
785             % Condicional para poder expandir el frente de onda
786             % Si la imagen original el píxel se encuentra sobre el
espacio de
787             % configuración y en la imagen de salida el píxel aun no
788             % ha sido expandido por alguna teselación
789             if I(xc,yc) == 0 && tes(xc,yc) == 255
790                 tes(xc,yc) = coltes(l,k); % Define la tonalidad del
píxel dependiendo de la teselación correspondiente
791                 m = m + 1; % Aumenta el contador de píxeles
expandidos
792             end
793             % Cuarto cuadrante
794             yc = (C_cx_obs(l)) - j; % Incremento en Y igual la
posición en Y menos el conteo de j
795             xc = (C_cy_obs(l)) - (cont - j); % Incremento en X igual
a la posición en X mas el incremento de cont
796
797             if yc <= 1 % Limitación en Y si sobrepasa el entorno
798                 yc = 1; % Valor mínimo de Y igual a la primera
columna
799             end
800             if xc <= 1 % Limitación en X si sobrepasa el entorno
801                 xc = 1; % Valir mínimo de X igual a la primera fila
802             end
803             % Condicional para poder expandir el frente de onda
804             % Si la imagen original el píxel se encuentra sobre el
espacio de
805             % configuración y en la imagen de salida el píxel aun no
806             % ha sido expandido por alguna teselación
807             if I(xc,yc) == 0 && tes(xc,yc) == 255
808                 tes(xc,yc) = coltes(l,k); % Define la tonalidad del
píxel dependiendo de la teselación correspondiente
809                 m = m + 1; % Aumenta el contador de píxeles
expandidos
810             end
811         end
812     end
813 end
814 end
815     cont = cont + 1; % Aumento del tamaño del frente de onda para las

```

```

teselaciones
end
816 end
817
818
819     disp('Entorno sin obstaculos, se generan 3 teselaciones aleatoria')
820     figure(3)
821     tes = uint8(tes); % Igualar la imagen de salida al formato uint8
822     imshow(tes) % Graficar la imagen de salida
823     imwrite(tes,'J.png') % Guardar la imagen
824 end
825
826 %%%%%%%%%%%%%%%%%%%%%%%%%%%%%%%%%%%%%%%%%%%%%%%%%%%%%%%%%%%%%%%%%%%%%%%%%
827 %%%%%%%%%%%%%%%%%%%%%%%%%%%%%%%%%%%%%%%%%%%%%%%%%%%%%%%%%%%%%%%%%%%%%%%%%
828 %%%%%%%%%%%%%%%%%%%%%%%%%%%%%%%%%%%%%%%%%%%%%%%%%%%%%%%%%%%%%%%%%%%%%%%%% CODIGO DE LIMITE DE TESELACIONES %%%%%%%%%%%%%%%%%%%%%%%%%%%%%%%%%%%%%%%%%%%%%%%%%%%%%%%%%%%%%%%%%%%%%%%%%
829 %%%%%%%%%%%%%%%%%%%%%%%%%%%%%%%%%%%%%%%%%%%%%%%%%%%%%%%%%%%%%%%%%%%%%%%%%
830
831 I = imread('J.png');
832 H = imread('I.png');
833 [L_obs, num] = bwlabel(H);
834 [f, c] = size(I);
835 tesx = ones(f,c);
836 tesx = 255.*tesx;
837 hold on
838 %%%%%%%%%%%%%%%%%%%%%%%%%%%%%%%%%%%%%%%%%%%%%%%%%%%%%%%%%%%%%%%%%%%%%%%%%Dibuja contorno negros de dos pixeles en los limites de la
839 %%%%%%%%%%%%%%%%%%%%%%%%%%%%%%%%%%%%%%%%%%%%%%%%%%%%%%%%%%%%%%%%%%%%%%%%%teselaciones
840 for i = 1 : f - 1
841     for j = 1 : c - 1
842         if (I(i,j) ~= I(i+1,j)) || (I(i,j) ~= I(i,j+1)) || (I(i,j) ~= I(i+1,j
+1)) || (I(i,j) == 255)
843             tesx(i,j) = 0;
844             tesx(i+1,j) = 0;
845             tesx(i,j+1) = 0;
846             tesx(i+1,j+1) = 0;
847         end
848     end
849 end
850
851 max = 0;
852 figure(5)
853 imshow(tesx)
854 hold on
855 L = bwlabel(tesx);
856
857 for k = 1 : f
858     for l = 1 : c
859         if L(k,l) >= max
860             max = L(k,l);
861         end
862     end
863 end
864 counter = 0;
865 z = zeros(f,c);
866 centx = zeros(1,max);
867 centy = zeros(1,max);
868 tesy = zeros(f,c);
869 for m = 1 : max
870     for g = 1 : c
871         for h = 1 : f
872             for b=1:num
873                 if L(g,h) == m && L_obs(g,h) ~= b
874                     z(g,h) = 255;
875                     counter = counter + 1;
876                 end
877             end

```

```

878     end
879 end
880 if counter >= 50
881
882 %*****
883 %Dibuja los centros de masa de la espaciones con teselaciones
884 % con color verde
885 %*****
886     tq_1 = 0;
887     M_1 = 0;
888     tq_2 = 0;
889     M_2 = 0;
890     cl=0;
891     o = ones(f,1);
892     p = ones(1,c);
893     for i = 1:f
894         tq_1 = i*dot(o,z(i,:))+tq_1;
895         M_1 = dot(o,z(i,:))+M_1;
896     end
897     Cmx_1 = round(tq_1 / M_1);
898
899
900     for j = 1:c
901         tq_2 = j*dot(p,z(:,j))+tq_2;
902         M_2 = dot(p,z(:,j))+M_2;
903     end
904     Cmx_2 =round(tq_2 / M_2);
905
906     z = zeros(f,c);
907     global centx;
908     global centy;
909     centx(1,m) = Cmx_2;
910     centy(1,m) = Cmx_1;
911     counter = 1;
912     end
913
914     tesy(Cmx_1,Cmx_2) = 255;
915
916 end
917 plot(centx,centy,'*g')
918 %*****
919 tesy = uint8(tesy);
920 %figure
921 %imshow(tesy)
922 %imshow(tesx)
923
924 imwrite(tesx,'K.png')%registra delimitación de teselaciones
925 imwrite(tesy,'M.png')%registra los centroides de las teselaciones
926
927 %%%%%%%%%%%%%%%%%%%%%%%%%%%%%%%%%%%%%%%%%%%%%%%%%%%%%%%%%%%%%%%%%%%%%%%%%
928 %%%%%%%%%%%%%%%%%%%%%%%%%%%%%%%%%%%%%%%%%%%%%%%%%%%%%%%%%%%%%%%%%%%%%%%%% FIN %%%%%%%%%%%%%%%%%%%%%%%%%%%%%%%%%%%%%%%%%%%%%%%%%%%%%%%%%%%%%%%%%%%%%%%%%
929 %%%%%%%%%%%%%%%%%%%%%%%%%%%%%%%%%%%%%%%%%%%%%%%%%%%%%%%%%%%%%%%%%%%%%%%%%
930
931
932 end

```

7.1.3. *Busqueda\_IG\_definitiva\_3*



LOS LIBERTADORES  
FUNDACIÓN UNIVERSITARIA

```

1 %%%%%%%%%%%%%%%%%%%%%%%%%%%%%%%%%%%%%%%%%%%%%%%%%%%%%%%%%%%%%%%%%%%%%%%%%
2 %IMPLEMENTACION Y COMPROBACION DE ALGORITMO DE BUSQUEDA DE RUTA EFICAZ
3 %Y EFICIENTE CON FRENTE DE ONDA TIPO ROMBO.
4 %FUNDACION UNIVERSITARIA LOS LIBERTADORES
5 %Facultad de ingenieria
6 %Ingenieria Electronica
7 %+++++
8 %CREADO POR: Ignacio Gutierrez Gomez 14/05/2017
9 %+++++
10 %*****
11 %FUNCION DE GENERACION DE PUNTOS DE REFERENCIA, TESELACION,
12 %LIMITE DE TESELACIONES Y UBICACION DE PUNTOS DEFINITIVOS PARA
13 %TRAZADO DE RUTA EFICAZ Y EFICIENTE.
14 %*****
15
16 function [vect_res_x_def, vect_res_y_def, visu_dist_x,
    visu_dist_y]=Busqueda_IG_definitiva_3
    ( PosPartX,PosPartY,PosLLegX,PosLLegY,Heurist)
17 %clear all,
18 %close all, clc
19 %decraracion de variables
20 global PosPartX;
21 global PosPartY;
22 global PosLLegX;
23 global PosLLegY;
24 global actual_x actual_y fin_x fin_y;
25 global cop_vect_r_x_d cop_vect_r_y_d;
26 global tesel;
27 global C_cx7
28 global C_cy7
29 global centx
30 global centy
31 global vect_res_x_def
32 global vect_res_y_def
33 global mat_hab_tr
34 global const_prom
35
36 I = imread('I.png');
37
38 porcentaje = 100;
39 porcentaje = porcentaje / 100;
40 count = 0;% Contador de pixeles del espacio de configuración
41 m = 1; % Condicional para conocer si el entorno se encuentra teselado en su
    totalidad
42 %tamaño de la imagen
43 [f, c] = size(I);
44 contador = 0;
45 [L, num]= bwlabel(I);
46 cantidad = 0;
47 grises = 0;
48
49 vect_tras_x=zeros(1, length(centx));
50 vect_tras_y=zeros(1, length(centy));
51 tesy = zeros(1,length(centy));
52 tesx = zeros(1,length(centx));
53
54 tesx =[centx];
55 tesy=[centy];
56 %%%%%%%%%%%%%%%%%%%%%%%%%%%%%%%%%%%%%%%%%%%%%%%%%%%%%%%%%%%%%%%%%%%%%%%%%
57 %Define los puntos inicio y fin para la busqueda de la
58 %trayectoria o ruta
59 %%%%%%%%%%%%%%%%%%%%%%%%%%%%%%%%%%%%%%%%%%%%%%%%%%%%%%%%%%%%%%%%%%%%%%%%%
60
61 if(PosPartX==0 && PosPartY==0 && PosLLegX==0 && PosLLegY==0 && Heurist==0)

```

```

62
63     actual_y = round(rand*(length(centy)-1))+1;
64     fin_y = round(rand*(length(centy)-1))+1;
65
66     actual_x = tesx(1,actual_y);
67     actual_y = tesy(1,actual_y);
68     fin_x = tesx(1,fin_y);
69     fin_y = tesy(1,fin_y);
70     Heurist=200;
71
72
73     else
74         actual_x = PosPartX;
75         actual_y = PosPartY;
76         fin_x = PosLLegX;
77         fin_y = PosLLegY;
78     end
79
80     figure(6)
81     imshow(I)
82     hold on
83     %%%%%%%%%%%%%%%%%%%%%%%%%%%%%%%%%%%%%%%%%%%%%%%%%%%%%%%%%%%%%%%%%%%%%%%%%%%
84     %Seccion de validacion de cordenas y actualizacion en caso
85     %de que no cumpla las condiciones
86     %%%%%%%%%%%%%%%%%%%%%%%%%%%%%%%%%%%%%%%%%%%%%%%%%%%%%%%%%%%%%%%%%%%%%%%%%%%
87     while( PosPartX==0 || PosPartY==0 || PosLLegX==0 || PosLLegY==0 ||
PosPartX>=520 ...
88         || PosPartY>=520 || PosLLegX>=520 || PosLLegY>=520 ...
89         || PosPartX<1 || PosPartY<1 || PosLLegX<1 || PosLLegY<1 || I
(PosPartY,PosPartX) ==255 ...
90         || I(PosLLegY,PosLLegX) ==255 || PosPartX==PosLLegX ||
PosPartY==PosLLegY)
91
92         plot(actual_x,actual_y,'sr')
93
94         plot(fin_x,fin_y,'dg')
95
96         disp('%%%%%%%%%%%%%%%%%%%%%%%%%%%%%%%%%%%%%%%%%%%%%%%%%%%%%%%%%%%%%%%%%%%%%%%%')
97         disp('PTOS DE PARTIDA O LLEGADA SE UBICAN EN OBSTACULO, CAMBIAR
COORDENADAS')
98         disp('%%%%%%%%%%%%%%%%%%%%%%%%%%%%%%%%%%%%%%%%%%%%%%%%%%%%%%%%%%%%%%%%%%%%%%%%')
99         xlabel('PTOS DE PARTIDA O LLEGADA SE UBICAN EN OBSTACULO, CAMBIAR
COORDENADAS')
100
101         disp('%%%%%%%%%%%%%%%%%%%%%%%%%%%%%%%%%%%%%%%%%%%%%%%%%%%%%%%%%%%%%%%%%%%%%%%%')
102         disp('%% DIGITE NUEVAS COORDENADAS PTOS DE PARTIDA Y LLEGADA %%%%%%%%%')
103         disp('%% LOS VALORES DEBEN SER ENTEROS ENTRE 1 Y 519%%%%%%%%')
104         disp('%% LOS VALORES NO DEBEN SER LOS MISMO PARA %%%%%%%%%')
105         disp('%% PosPartX=PosLLegX Y PosLLegY=PosPartX %%%%%%%%%')
106         disp('%%%%%%%%%%%%%%%%%%%%%%%%%%%%%%%%%%%%%%%%%%%%%%%%%%%%%%%%%%%%%%%%%%%%%%%%')
107
108
109         PosPartX=input('Ingrese el valor de PosPartX=: ')
110         PosPartY=input('Ingrese el valor de PosPartY=: ')
111         PosLLegX=input('Ingrese el valor de PosLLegX=: ')
112         PosLLegY=input('Ingrese el valor de PosLLegY=: ')
113         actual_x = PosPartX;
114         actual_y = PosPartY;
115         fin_x = PosLLegX;
116         fin_y = PosLLegY;
117
118     end
119     %%%%%%%%%%%%%%%%%%%%%%%%%%%%%%%%%%%%%%%%%%%%%%%%%%%%%%%%%%%%%%%%%%%%%%%%%%%
120     %importante asignacion

```

```

121 I(actual_x ,actual_y )=0;
122 I(fin_x ,fin_y )=0;
123 %%%%%%%%%%%%%%%%%%%%%%%%%%%%%%%%%%%%%%%%%%%%%%%%%%%%%%%%%%%%%%%%%%%%%%%%%
124
125 %%%%%%%%%%%%%%%%%%%%%%%%%%%%%%%%%%%%%%%%%%%%%%%%%%%%%%%%%%%%%%%%%%%%%%%%%
126 %visualizacion de puntos validos para trazado de ruta
127 %%%%%%%%%%%%%%%%%%%%%%%%%%%%%%%%%%%%%%%%%%%%%%%%%%%%%%%%%%%%%%%%%%%%%%%%%
128 contcond = 0;
129 plot(centx,centy, '*g')
130
131 figure(7)
132 imshow(I)
133 hold on
134
135 %%%%%%%%%%%%%%%%%%%%%%%%%%%%%%%%%%%%%%%%%%%%%%%%%%%%%%%%%%%%%%%%%%%%%%%%%
136 %visualizacion de trazado de recta entre puntos de partida
137 %y llegada con la cual se determinaran los puntos mas
138 % cercanos a la recta segun la heuristica
139 %%%%%%%%%%%%%%%%%%%%%%%%%%%%%%%%%%%%%%%%%%%%%%%%%%%%%%%%%%%%%%%%%%%%%%%%%
140
141 if actual_y ~= fin_y && actual_x~=fin_x && I(actual_y,actual_x) ~=255 && I
(fin_y,fin_x) ~=255
142
143
144     distanciast = sqrt((actual_x - fin_x)^2 + abs(actual_y - fin_y)^2);
145     distanciast=distanciast - 1;
146
147     xx = abs(fin_x - actual_x);
148     yy = abs(fin_y - actual_y);
149
150     mem_x = actual_x;
151     mem_y = actual_y;
152
153     if xx >= yy
154         pend = (fin_y - actual_y) / (fin_x - actual_x);
155         cond = 1;
156     else
157         pend = (fin_x - actual_x) / (fin_y - actual_y);
158         cond = 2;
159     end
160
161     mov_x = actual_x;
162     mov_y = actual_y;
163
164
165     l=0;
166     cont = 1;
167
168     while l == 0
169         if cond == 1
170             if fin_x > actual_x && fin_y > actual_y
171                 mov_x = mov_x + 1;
172                 x = 1;
173                 mov_y = actual_y + round(cont*pend);
174             elseif fin_x > actual_x && fin_y < actual_y
175                 mov_x = mov_x + 1;
176                 mov_y = actual_y + round(cont*pend);
177                 x = 2;
178             elseif fin_x < actual_x && fin_y < actual_y
179                 mov_x = mov_x - 1;
180                 mov_y = actual_y - round(cont*pend);
181                 x = 3;
182             elseif fin_x < actual_x && fin_y > actual_y
183                 mov_x = mov_x - 1;

```

```

184         mov_y = actual_y - round(cont*pend);
185         x = 4;
186     elseif fin_y == actual_y && fin_x > actual_x
187         mov_x = mov_x + 1;
188         mov_y = actual_y;
189         x = 5;
190     elseif fin_y == actual_y && fin_x < actual_x
191         mov_x = mov_x - 1;
192         mov_y = actual_y;
193         x = 6;
194     end
195 elseif cond == 2
196     if fin_x > actual_x && fin_y > actual_y
197         mov_y = mov_y + 1;
198         x = 7;
199         mov_x = actual_x + round(cont*pend);
200     elseif fin_x > actual_x && fin_y < actual_y
201         mov_y = mov_y - 1;
202         mov_x = actual_x - round(cont*pend);
203         x = 8;
204     elseif fin_x < actual_x && fin_y < actual_y
205         mov_y = mov_y - 1;
206         mov_x = actual_x - round(cont*pend);
207         x = 9;
208     elseif fin_x < actual_x && fin_y > actual_y
209         mov_y = mov_y + 1;
210         mov_x = actual_x + round(cont*pend);
211         x = 10;
212     elseif fin_x == actual_x && fin_y > actual_y
213         mov_y = mov_y + 1;
214         mov_x = actual_x;
215         x = 11;
216     elseif fin_x == actual_x && fin_y < actual_y
217         mov_y = mov_y - 1;
218         mov_x = actual_x;
219         x = 12;
220     end
221 end
222
223 if I(mov_x,mov_y) == 0
224     grises = grises + 1;
225 end
226
227 if mov_x == fin_x && mov_y == fin_y
228     l=1;
229     grises
230     if grises > 30
231
232         actual_x = mem_x;
233         actual_y = mem_y;
234         grises = 0;
235     else
236         actual_x = fin_x;
237         actual_y = fin_y;
238         grises = 0;
239     end
240 end
241 plot(mov_x,mov_y,'.g')
242 vect_tras_x(cont)=mov_x;
243 vect_tras_y(cont)=mov_y;
244
245     cont = cont + 1;
246 end
247

```

```

248
249
250 end
251
252 %%%%%%%%%%%%%%%%%%%%%%%%%%%%%%%%%%%%%%%%%%%%%%%%%%%%%%%%%%%%%%%%%%%%%%%%%
253
254     plot(actual_x,actual_y,'sr')
255
256     plot(fin_x,fin_y,'dc')
257
258     plot(centx,centy,'*g')
259 %%%%%%%%%%%%%%%%%%%%%%%%%%%%%%%%%%%%%%%%%%%%%%%%%%%%%%%%%%%%%%%%%%%%%%%%%
%
260 %*****
261 %%%%%%%%%%%%%%%%%%%%%%%%%%%%%%%%%%%%%%%%%%%%%%%%%%%%%%%%%%%%%%%%%%%%%%%%%CODIGO DE RUTA EFICIENTE%%%%%%%%%%%%%%%%%%%%%%%%%%%%%%%%%%%%%%%%%%%%%%%%%%%%%%%%%%%%%%%%%%%%%%%%
262 %
263 %%%%%%%%%%%%%%%%%%%%%%%%%%%%%%%%%%%%%%%%%%%%%%%%%%%%%%%%%%%%%%%%%%%%%%%%%
264 %declaracion de variables y vectores necesarios
265     vect_res_x=zeros(1,length(centx));
266     vect_res_y=zeros(1,length(centy));
267     vect_res_x_2=zeros(1,length(centx));
268     vect_res_y_2=zeros(1,length(centy));
269     vect_res_x_def=zeros(1,length(vect_tras_y));
270     vect_res_y_def=zeros(1,length(vect_tras_x));
271     vect_res_x_def_2=zeros(1,length(vect_tras_x));
272     vect_res_y_def_2=zeros(1,length(vect_tras_y));
273     indic_1=0;
274     indic_2=0;
275
276 %#####
277 %SECCION IMPORTANTE PARA DETERMINAR LOS PUNTOS CERCANOS A LA
278 %RECTA TRAZADA EN LA SECCION ANTERIOR
279 %#####
280     i=1;
281     i2=1;
282     i3=1;
283     condicion=true;
284     while (condicion)
285         %resta cada punto de la recta con las coordenadas de
286         %los puntos disponibles y encuentra los valores cercanos
287         %a cero o minimos.
288         vect_x=abs((centx - vect_tras_x(i)*ones(1,length(centx))));
289         vect_y=abs((centy - vect_tras_y(i)*ones(1,length(centy))));
290
291         [val_min_x,indic_1]=min(vect_x);
292         [val_min_y,indic_2]=min(vect_y);
293
294
295         val_x=indic_1;
296         val_y=indic_2;
297
298         if(i2==1 || i2==length(vect_tras_x))
299             vect_res_x(i2)=vect_tras_x(i2);
300             vect_res_y(i2)=vect_tras_y(i2);
301         end
302         %seccion donde opera la heuristica y selecciona
303         % los puntos para filas y luego para columnas
304         aux_min_y=abs(centy(val_x) - vect_tras_y(i));
305         if (aux_min_y < Heurist)
306
307             i2=i2+1;
308             vect_res_x(i2)=centx(val_x);
309             vect_res_y(i2)=centy(val_x);
310

```

```

311         end
312
313         if(i3==1 || i3==length(vect_tras_y))
314             vect_res_y_2(i3)=vect_tras_y(i3);
315             vect_res_x_2(i3)=vect_tras_x(i3);
316         end
317
318         aux_min_x=abs(centx(val_y)- vect_tras_x(i));
319         if (aux_min_x < Heurist)
320
321
322             i3=i3+1;
323             vect_res_y_2(i3)=centy(val_y);
324             vect_res_x_2(i3)=centx(val_y);
325
326         end
327
328
329
330
331         i=i+1;
332         if((i>length(vect_tras_x)|| i>length(vect_tras_y)))
333
334             condicion=false;
335         end
336
337     end
338     #####
339
340     %elimina valores cero en los vectores ya que son coordenadas
341     vect_res_x_2(vect_res_x_2==0) = [];
342     vect_res_y_2(vect_res_y_2==0) = [];
343     vect_res_x(vect_res_x==0) = [];
344     vect_res_y(vect_res_y==0) = [];
345     vect_tras_x(vect_tras_x==0) = [];
346     vect_tras_y(vect_tras_y==0) = [];
347     %%%%visualiza nuevamente los puntos posibles y la recta%%%
348     figure(8)
349     imshow(I)
350     hold on
351     plot(actual_x,actual_y,'+r')
352     %hold on
353     plot(fin_x,fin_y,'*c')
354     plot(vect_tras_x,vect_tras_y,'-y')
355
356     %%%%%%%%%%%%%%%%%%%%%%%%%%%%%%%%%%%%%%%%%%%%%%%%%%%%%%%%%%%
357     %%%%visualiza nuevamente los puntos posiblesn %%%%
358     %%%%y los seleccionados por la heuristica%%%
359     %%%%en color rojo y azul%%%%%%%%%%%%%%%%%%%%%%%%%%%%%%%%%%
360     %%%%%%%%%%%%%%%%%%%%%%%%%%%%%%%%%%%%%%%%%%%%%%%%%%%%%%%%%%%
361
362     plot(centx,centy,'*g')
363
364     plot(vect_res_x,vect_res_y,'*b')
365
366     plot(vect_res_x_2,vect_res_y_2,'*r')
367     %%%%%%%%%%%%%%%%%%%%%%%%%%%%%%%%%%%%%%%%%%%%%%%%%%%%%%%%%%%
368
369     figure(9)
370     imshow(I)
371     hold on
372     plot(actual_x,actual_y,'sr')
373
374     plot(fin_x,fin_y,'dc')

```



```

438
439 %composicion de vector copia del vector principal con las coordenadas
440 %de partida y llegada
441 cop_vect_r_x_d=[PosPartX, vect_res_y_def, PosLLegX ];%almacenamiento de vectores
seleccionados
442 cop_vect_r_y_d=[PosPartY, vect_res_x_def, PosLLegY ];%copia para modificacion
durante la funcion
443 %%%%%%%%%%%%%%%%%%%%%%%%%%%%%%%%%%%%%%%%%%%%%%%%%%%%%%%%%%%%%%%%%%%%%%%%%
444
445 %*****
446 %visulaizacion de puntos seleccionados bajo la
447 %heuristica y demas restricciones anteriores en
448 %otra ventana
449 %*****
450 figure(10)
451 imshow(I)
452 hold on
453 plot(actual_x,actual_y,'sr')
454
455 plot(fin_x,fin_y,'sc')
456 plot(vect_res_y_def,vect_res_x_def,'+m')
457
458 aux_x=PosPartX;%almacenamiento de punto de partida elegida
459 aux_y=PosPartY;
460 fin_x=PosLLegX;%almacenamiento de punto de llegada elegida
461 fin_y=PosLLegY;
462
463 aux_x_2=0;
464 aux_y_2=0;
465
466 %#####
467 %Seccion importante de trazado de trayectorias entre los
468 %puntos seleccionados que comuniquen los punto de partida
469 % y de llegada
470 %#####
471 %declaracion de vectores necesarios
472 vect_dis=zeros(1, length(cop_vect_r_x_d));
473 vect_dis_prom=zeros(1, length(cop_vect_r_x_d));
474 visu_dist_x=zeros(1, length(cop_vect_r_x_d));
475 visu_dist_y=zeros(1, length(cop_vect_r_x_d));
476
477 %*****
478 %Declaracion de matriz de validacion de trazos que no atravizan
479 % obstaculos
480 %*+++++
481 mat_hab_tr=zeros(length(cop_vect_r_x_d), length(cop_vect_r_y_d));
482
483 %+++++
484
485 b=1;
486 cont=0;
487 grises = 0;
488
489 j=1;
490
491 %%%%%%%%%%%%%%%%%%%%%%%%%%%%%%%%%%%%%%%%%%%%%%%%%%%%%%%%%%%%%%%%%%%%%%%%%
492 %seccion para evaluar el promedio de distancia
493 %{}
494 disp('%%%%%%%% evaluar distancia para promedio%%%%%%%%')
495 b=1;
496 for i=1: length(cop_vect_r_x_d)
497     for j=1:length(cop_vect_r_x_d)
498
499         if(i<j)

```

```

500
501         dist_trazad = sqrt(abs((cop_vect_r_x_d(i) - cop_vect_r_x_d(j)))^2 +
abs((cop_vect_r_y_d(i) - cop_vect_r_y_d(j)))^2);
502
503         vect_dis_prom(b) = dist_trazad;
504
505         b=b+1;
506
507         end
508     end
509 end
510 %%%%%%%%%%%%%%%%%%%%%%%%%%%%%%%%%%%%%%%%%%%%%%%%%%%%%%%%%%%%%%%%%%%%%%%%%%%
511 %%%%%%%%%%%%%%%%%%%%%%%%%%%%%%%%%%%%%%%%%%%%%%%%%%%%%%%%%%%%%%%%%%%%%%%%%%%valor promedio%%%%%%%%%%%%%%%%%%%%%%%%%%%%%%%%%%%%%%%%%%%%%%%%%%%%%%%%%%%%%%%%%%%%%%%%%%
512
513 prom_dist=(const_prom*mean(vect_dis_prom))
514
515 %%%%%%%%%%%%%%%%%%%%%%%%%%%%%%%%%%%%%%%%%%%%%%%%%%%%%%%%%%%%%%%%%%%%%%%%%%%
516
517 %*****
518 %visulaizacion de puntos seleccionados bajo la
519 %heuritica y demas restricciones anteriores en
520 %otra ventana
521 %*****
522
523 figure(11)
524 imshow(I)
525 hold on
526 plot(vect_res_y_def,vect_res_x_def,'+m')
527 plot(actual_x,actual_y,'sg')
528 %hold on
529 plot(fin_x,fin_y,'sb')
530
531 %#####
532 %Inicio de seccion importante de trazado de trayectorias entre los
533 %puntos seleccionados que comuniquen los punto de partida
534 % y de llegada
535 %#####
536
537 disp('%%%%%%%%%%%%%%%%%%%%%%%%%%%%%%%%%%%%%%%%%%%%%%%%%%%%%%%%%%%%%%%%%%%%%%%%%% funcion para trazado de ruta %%%%%%%%%%%%%%%%%%%%%%%%%%%%%%%%%%%%%%%%%%%%%%%%%%%%%%%%%%%%%%%%%%%%%%%%%%%')
538 b=1;
539
540 for i=1: length(cop_vect_r_x_d)
541     for j=1: length(cop_vect_r_x_d)
542
543         if (i<j)
544             %%%%%%%%%%%%%%%%%%%%%%%%%%%%%%%%%%%%%%%%%%%%%%%%%%%%%%%%%%%%%%%%%%%%%%%%%%%
545             %Calcula distancia parcial entre las coordenadas seleccionadas
546             %por i y j
547
548             dist_trazad = sqrt(abs((cop_vect_r_x_d(i) - cop_vect_r_x_d(j)))^2 +
abs((cop_vect_r_y_d(i) - cop_vect_r_y_d(j)))^2);
549
550             vect_dis(b) = dist_trazad;
551
552             %%%%%%%%%%%%%%%%%%%%%%%%%%%%%%%%%%%%%%%%%%%%%%%%%%%%%%%%%%%%%%%%%%%%%%%%%%%
553             %condicional para distancias de trayectoria dibujadas menores al
554             %promedio
555
556             if(dist_trazad < prom_dist)
557
558                 actual2_x=cop_vect_r_x_d(i);
559                 actual2_y=cop_vect_r_y_d(i);
560
561                 fin2_x= cop_vect_r_x_d(j);

```

```

562         fin2_y= cop_vect_r_y_d(j);
563
564         %%%%%%%%%condicional para permitir el trazado siempre que
565         %%%%%%%%%%las coordenadas nos sean iguales o se halla terminado
566         %%%%%%%%%%el recorrido
567
568         if(actual2_y ~= fin2_y && actual2_x~=fin2_x && I(actual2_x,actual2_y) ~=255
&& I(fin2_x,fin2_y) ~=255)
569
570
571         xx = abs(fin2_x - actual2_x);
572         yy = abs(fin2_y - actual2_y);
573
574         mem_x = actual2_x;
575         mem_y = actual2_y;
576
577         if xx >= yy
578             pend = (fin2_y - actual2_y) / (fin2_x - actual2_x);
579             cond = 1;
580         else
581             pend = (fin2_x - actual2_x) / (fin2_y - actual2_y);
582             cond = 2;
583         end
584
585         mov_x = actual2_x;
586         mov_y = actual2_y;
587
588         l=0;
589         cont = 1;
590
591         while l == 0
592             if cond == 1
593                 if fin2_x > actual2_x && fin2_y > actual2_y
594                     mov_x = mov_x + 1;
595                     x = 1;
596                     mov_y = actual2_y + round(cont*pend);
597                 elseif fin2_x > actual2_x && fin2_y < actual2_y
598                     mov_x = mov_x + 1;
599                     mov_y = actual2_y + round(cont*pend);
600                     x = 2;
601                 elseif fin2_x < actual2_x && fin2_y < actual2_y
602                     mov_x = mov_x - 1;
603                     mov_y = actual2_y - round(cont*pend);
604                     x = 3;
605                 elseif fin2_x < actual2_x && fin2_y > actual2_y
606                     mov_x = mov_x - 1;
607                     mov_y = actual2_y - round(cont*pend);
608                     x = 4;
609                 elseif fin2_y == actual2_y && fin2_x > actual2_x
610                     mov_x = mov_x + 1;
611                     mov_y = actual2_y;
612                     x = 5;
613                 elseif fin2_y == actual2_y && fin2_x < actual2_x
614                     mov_x = mov_x - 1;
615                     mov_y = actual2_y;
616                     x = 6;
617                 end
618             elseif cond == 2
619                 if fin2_x > actual2_x && fin2_y > actual2_y
620                     mov_y = mov_y + 1;
621                     x = 7;
622                     mov_x = actual2_x + round(cont*pend);
623                 elseif fin2_x > actual2_x && fin2_y < actual2_y
624                     mov_y = mov_y - 1;

```

```

625         mov_x = actual2_x - round(cont*pend);
626         x = 8;
627     elseif fin2_x < actual2_x && fin2_y < actual2_y
628         mov_y = mov_y - 1;
629         mov_x = actual2_x - round(cont*pend);
630         x = 9;
631     elseif fin2_x < actual2_x && fin2_y > actual2_y
632         mov_y = mov_y + 1;
633         mov_x = actual2_x + round(cont*pend);
634         x = 10;
635     elseif fin2_x == actual2_x && fin2_y > actual2_y
636         mov_y = mov_y + 1;
637         mov_x = actual2_x;
638         x = 11;
639     elseif fin2_x == actual2_x && fin2_y < actual2_y
640         mov_y = mov_y - 1;
641         mov_x = actual2_x;
642         x = 12;
643     end
644 end
645
646 if I(mov_y,mov_x) == 255
647     grises = grises + 1;
648 end
649
650 %*****
651 %condicional para asignar un cero a esa trayectoria
652 %si atraviesa un obstaculo quiere decir
653 %grises mayor que cero
654 %+++++
655     if mov_x == fin2_x && mov_y == fin2_y
656         l=1;
657         grises;
658         if grises > 0
659
660             actual2_x = mem_x;
661             actual2_y = mem_y;
662             grises = 0;
663             %%%%%%%%%matriz (guardar 0)
664             mat_hab_tr(i,j)=0;
665
666         else
667             %*****
668             %condicional para asignar un uno a esa trayectoria
669             %si N000 atraviesa un obstaculo
670             %+++++
671             plot([cop_vect_r_x_d(i) cop_vect_r_x_d(j)],
672 [cop_vect_r_y_d(i) cop_vect_r_y_d(j)], 'r')
673             %%%%%%%%%matriz(guardar 1)
674             actual2_x = fin2_x;
675             actual2_y = fin2_y;
676             grises = 0;
677             mat_hab_tr(i,j)=1;
678
679         end
680     end
681     cont = cont + 1;
682 end
683
684 b=b+1;
685
686 end
687 end

```

```

688
689         end
690     end
691 end
692
693 disp('%%%%%%%%%%%%%%%%%%%%%%%%%%%%%%%%%%%%%%%%%%%%%%%%%%%%%%%%%%%%%%%%%%%%%%%%')
694 disp('%%%%%%%%%%%%%%%%%%%%%%%%%%%%%%%%%%%%%%%%%%%%%%%%%%%%%%%%%%%%%%%%%%%%%%%%Fin de trazado de rutas%%%%%%%%%%%%%%%%%%%%%%%%%%%%%%%%%%%%%%%%%%%%%%%%%%%%%%%%%%%%%%%%%%%%%%%%')
695 disp('%%%%%%%%%%%%%%%%%%%%%%%%%%%%%%%%%%%%%%%%%%%%%%%%%%%%%%%%%%%%%%%%%%%%%%%%')
696
697
698 %%%%%%%%%%%%%%%%%%%%%%%%%%%%%%%%%%%%%%%%%%%%%%%%%%%%%%%%%%%%%%%%%%%%%%%%%
699 % conversion de marcadores de grafica
700 %%%%%%%%%%%%%%%%%%%%%%%%%%%%%%%%%%%%%%%%%%%%%%%%%%%%%%%%%%%%%%%%%%%%%%%%%
701 % Color: r (Red), g(Green), b(Blue), c(Cyan), m
702 % (Magenta), y (Yellow), k (black), w (White)
703
704
705 % Marcadores: +, o, *, ., x, s (square), d
706 % (diamante), ^ v > o < (triángulos en distinto
707 % sentido), p (estrella 5 puntas, pentagram), h
708 % (estrella 6 puntas, hexagram)
709 %%%%%%%%%%%%%%%%%%%%%%%%%%%%%%%%%%%%%%%%%%%%%%%%%%%%%%%%%%%%%%%%%%%%%%%%%
710
711
712 end
713
714 %%%%%%%%%%%%%%%%%%%%%%%%%%%%%%%%%%%%%%%%%%%%%%%%%%%%%%%%%%%%%%%%%%%%%%%%%
715 %%%%%%%%%%%%%%%%%%%%%%%%%%%%%%%%%%%%%%%%%%%%%%%%%%%%%%%%%%%%%%%%%%%%%%%%% FIN DE FUNCION %%%%%%%%%%%%%%%%%%%%%%%%%%%%%%%%%%%%%%%%%%%%%%%%%%%%%%%%%%%%%%%%%%%%%%%%%
716 %::::::::::::::::::::::::::::::::::::::::::::::::::::::::::::::::::::

```



LOS LIBERTADORES  
FUNDACIÓN UNIVERSITARIA